
ANTENSKI NIZOVI U TELEKOMUNIKACIONIM SISTEMIMA

(13M031ANT)

Uvod u teoriju antenskih nizova – Osnovne karakteristike antenskih nizova

**Elektrotehnički fakultet – Univerzitet u Beogradu
Odsek za telekomunikacije i informacione tehnologije
Katedra za telekomunikacije**

prof. Goran Marković (korišćeni su materijali prof. Miljka Erića)

2024/2025



Osnove AN – Pregled predavanja

- ❖ Osnovne karakteristike antenskih nizova koje su predmet predavanja:
 - Prostorno-vremenski propagacioni modeli radio signala (EM emisije) na antenskom nizu
 - Vektor odziva antenskog niza (*steering vektor*)
 - Transfer karakteristika antenskog niza (*manifold*)
 - Dijagram usmerenosti antenskog niza po polju (*array patern*)
 - Faktor antenskog niza
 - Dijagram usmerenosti antenskog niza po snazi (*power patern*) i pojačanje (usmerenost) antenskog niza (*array directivity*)
 - Karakteristike antenskih nizova za različite tipične geometrije
 - Karakteristike neodređenosti antenskih nizova
 - Otvor antenskog niza (*array aperture*)

Osnove AN – Propagacioni model signala

- ❖ Posmatramo propagacioni model radio signala (EM emisije/talasa) u slobodnom prostoru.
- ❖ Od interesa ja *Maxwell*-ov izraz za intenzitet električnog polja pri propagaciji u slobodnom prostoru (posmatramo vektorski model)

Vektor električnog polja

$$\nabla^2 \mathbf{E} = \frac{1}{c^2} \frac{\partial^2 \mathbf{E}}{\partial t^2}$$

— Ovaj model je kontinualan u prostornom i vremenskom domenu

Laplacian (Laplasov) operator

$$\nabla^2 = \frac{\partial^2}{\partial x^2} + \frac{\partial^2}{\partial y^2} + \frac{\partial^2}{\partial z^2}$$

- ❖ Nas interesuje intenzitet električnog polja u nekoj tački prostora.

$$\mathbf{p} = [x \quad y \quad z]^T$$

Posmatramo vektor pozicije tačke u 3D prostoru u kojoj se modelira (određuje) nivo električnog polja

Osnove AN – Propagacioni model signala

- ❖ Sada želimo da korišćenjem *Maxwell*-ovog izraz za intenzitet električnog polja pri propagaciji u slobodnom prostoru – dobijemo skalarni model sa vektorom pozicije kao argumentom (tj. interesuje nas vrednost intenziteta el. polja u definisanoj tački u 3D prostoru u funkciji vremena)

$$f(t, \mathbf{p}) = f(t, x, y, z) \quad \text{—}$$

Ovaj model je kontinualan u vremenskom domenu – posmatramo tačku u prostoru

$$\frac{\partial^2 f(t, x, y, z)}{\partial x^2} + \frac{\partial^2 f(t, x, y, z)}{\partial y^2} + \frac{\partial^2 f(t, x, y, z)}{\partial z^2} = \frac{1}{c^2} \frac{\partial^2 f(t, x, y, z)}{\partial t^2}$$

$$\mathbf{p} = [x \quad y \quad z]^T \quad \text{—}$$

Posmatramo vektor pozicije tačke u 3D prostoru u kojoj se modelira (određuje) nivo električnog polja

Osnove AN – Propagacioni model signala

- ❖ Dobijamo rešenje Maxwell-ove jednačine za intenzitet električnog polja pri propagaciji u slobodnom prostoru.

$$f(t, x, y, z) = A_p \exp[j(\omega t - k_x x - k_y y - k_z z)]$$

Dobijamo monohromatski ravni talas
(*Manohromatic plane wave*)

$$k_x^2 + k_y^2 + k_z^2 = \frac{\omega^2}{c^2}$$

Uslov kojim su povezane vrednosti vektora \mathbf{k} [rad/m] (k_x , k_y i k_z) talasnog broja koji zavisi od učestanosti signala i brzine prostiranja signala (c - brzina svetlosti)

$$\mathbf{k} = [k_x \quad k_y \quad k_z]^T$$

Talasni broj [rad/m] (*wavenumber*)

$$\mathbf{p} = [x \quad y \quad z]^T$$

Vektor pozicije tačke u 3D prostoru u kojoj se modelira (određuje) nivo električnog polja

$$A_p$$

Amplituda ravnog talasa u tački određenoj vektorom \mathbf{p}

Osnove AN – TDoA propagacioni model

- ❖ Sada posmatramo monohormatski ravni talas pri propagaciji u slobodnom prostoru u funkciji relativnog kašnjenja (TDoA – *Time Difference of Arrival*)

$$f(t, \mathbf{p}) = A_p \exp[j(\omega t - \mathbf{k}^T \mathbf{p})] = A_p \exp[j(\omega t - \omega \tau_p)] = A_p \exp(j\omega t) \exp(-j\omega \tau_p)$$

Monohromatski ravni talas kao funkcija relativnog vremenskog kašnjenja
(ako imamo elemente antenskog niza imamo razliku kašnjenja – princip rada)

$$\tau_p = \frac{\mathbf{a}^T \mathbf{p}}{c}$$

Relativno propagaciono kašnjenje signala (EM emisije/talasa) usled između usvojenog koordinatnog početka i tačke u 3D prostoru koja je određena vektorom p.

Vektor a – jedinični vektor smera dolaska signala u odnosu na referentni koordinatni sistem tj. vektor od usvojenog koordinatnog početka (0,0,0) i vektora p

Posmatramo *base-band* model ravnog talasa – kompleksna anvelopa signala koja bi se dobila kvadraturnom (IQ) demodulacijom

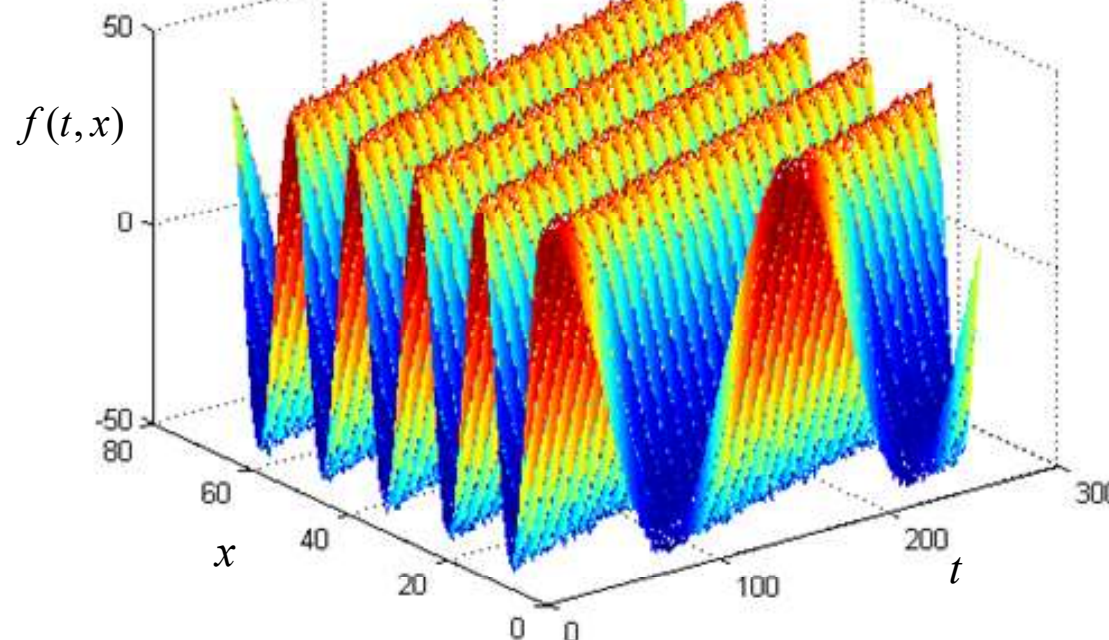
$$\tilde{f}(t, \mathbf{p}) = \{A_p \exp(j\omega t) \exp(-j\omega \tau_p)\} \exp(-j\omega t) = A_p \exp(-j\omega \tau_p)$$

Osnove AN – TDoA propagacioni model

$$f(t, x) = \operatorname{Re}\{A_x \exp(j\omega t + k_x x)\} = \operatorname{Re}\{A_x \exp(j\omega t + \omega \tau_x)\}$$

$$\tau_x = \frac{\mathbf{a}^T \mathbf{x}}{c}$$

\mathbf{a} - Jedinični vektor smera dolaska signala



Talas dolazi u smeru
x-ose

$$\mathbf{p} = [x \ 0 \ 0]^T; \mathbf{k} = k_x$$

Osnove AN – Spektralni domen

- ❖ Posmatramo monohromatski ravni talas pri propagaciji u slobodnom prostoru u domenu učestanost $\omega - \mathbf{k}$, gde je ω kružna učestanost u [rad/s] a \mathbf{k} talasni broj [rad/m].
- ❖ Posmatramo Fourier-ovu transformaciju:

$$f(t, \mathbf{p}) \leftrightarrow F(\omega, \mathbf{k})$$

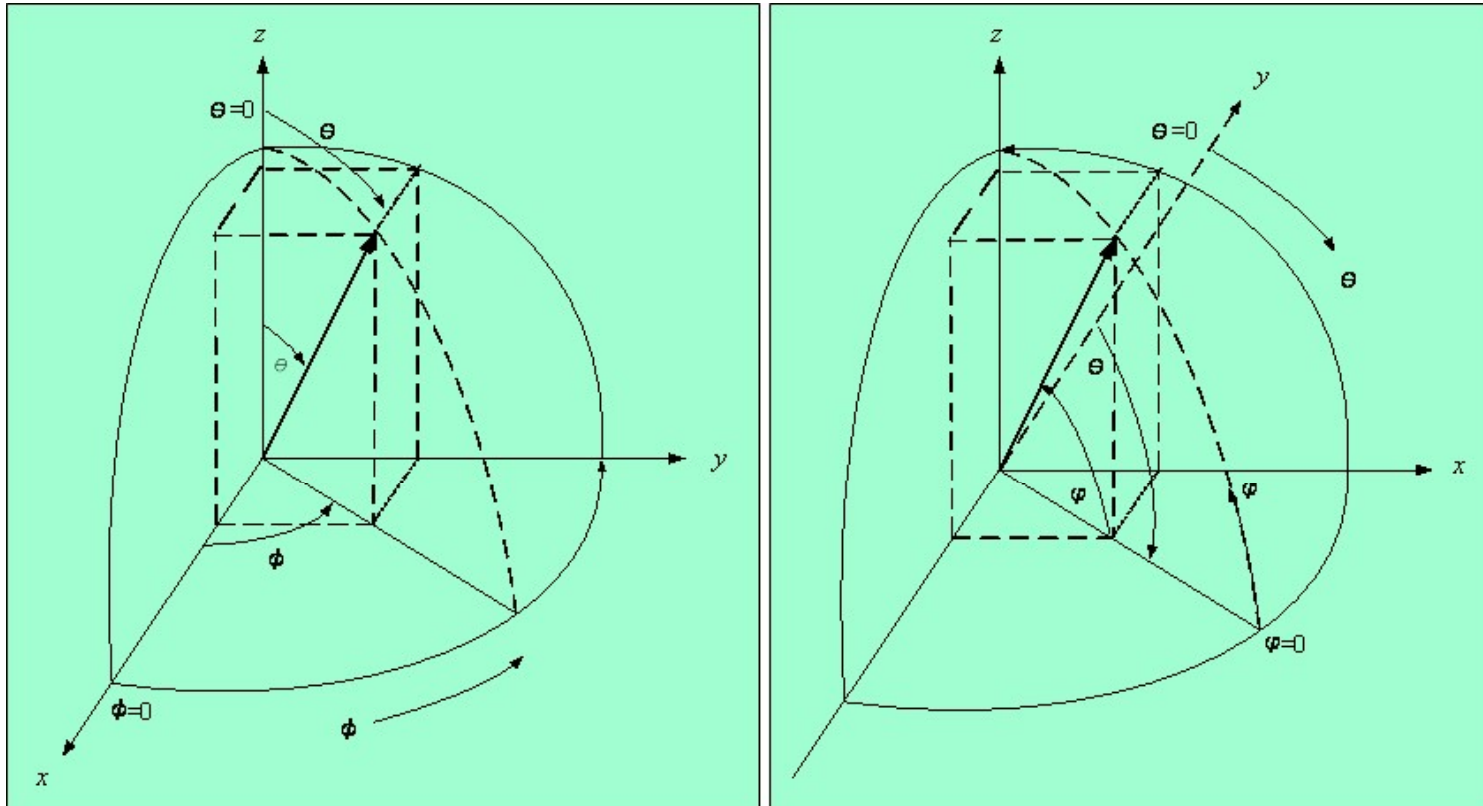
$$F(\omega, \mathbf{k}) = \iint f(t, \mathbf{p}) e^{-j\omega t} e^{-j\mathbf{k}^T \mathbf{p}} dt d\mathbf{p}$$

$$\mathbf{p} = [x \quad 0 \quad 0]^T; \mathbf{k} = k_x$$

Prepostavka je da talas dolazi u smeru x-ose

$$F(\omega, k_x) = \iint f(t, x) e^{-j\omega t} e^{-jk_x^T x} dt dx$$

Osnove AN – Sferni koordinatni sistem

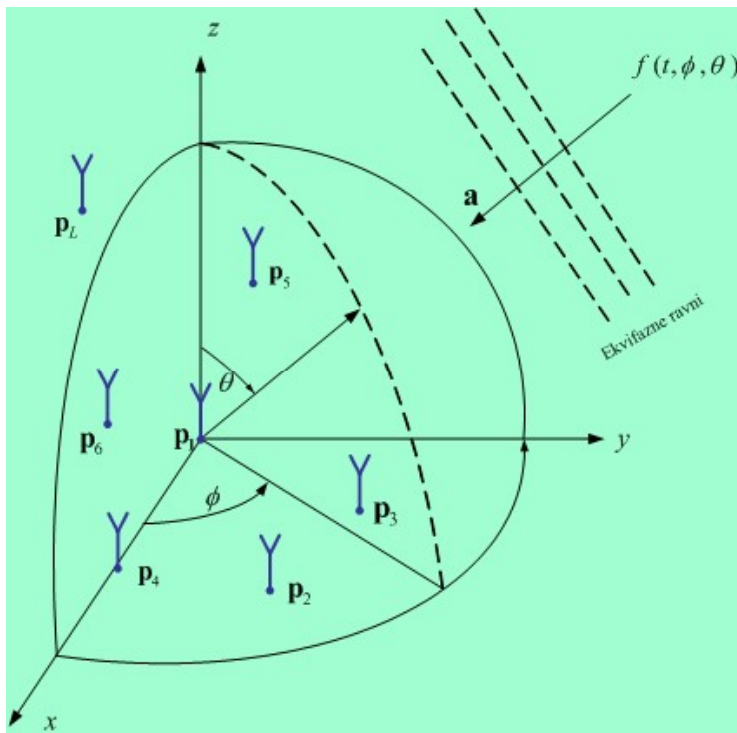


Sferni koordinantni sistem u
oblasti elektromagnetike i u
oblasti teorije antenskih nizova

Sferni koordinantni sistem u
oblasti radio-goniometrije -

Osnove AN – Ravni talas na anten. nizu

- ❖ Posmatramo monohromatski ravni talas pri propagaciji u slobodnom prostoru ali na antenskom nizu.



$$\mathbf{p}_n = [p_{nx} \quad p_{ny} \quad p_{nz}]^T; n = 1, \dots, N$$

Vektori položaja antena u antenskom nizu

Vektor \mathbf{a} – jedinični vektor smera dolaska signala u odnosu na referentni koordinatni sistem tj. vektor od usvojenog koordinatnog početka $(0,0,0)$ i vektora \mathbf{p}

$$\mathbf{a} = [-\cos(\phi) \sin(\theta) \quad -\sin(\phi) \sin(\theta) \quad -\cos(\theta)]^T$$

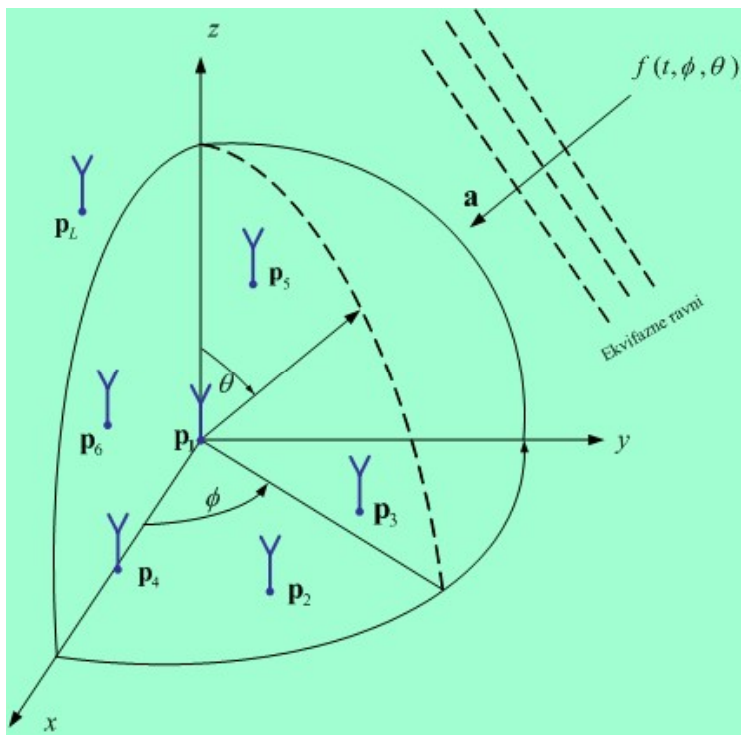
$$\mathbf{a} = [-\sin(\theta) \cos(\phi) \quad -\cos(\theta) \cos(\phi) \quad -\sin(\phi)]^T$$

Vektor \mathbf{a} u radio-goniometriji

Napomena: Izbor koordinantnog početka je proizvoljan. Nijedna od antena ne mora da bude u koordinantnom početku, ali je iz pragmatičnih razloga obično jedna (bilo koja) od antena u koordinantnom početku i ta antena se smatra za referentnu.

Osnove AN – Ravni talas na anten. nizu

- ❖ Posmatramo monohromatski ravni talas pri propagaciji u slobodnom prostoru ali na antenskom nizu.



Pretpostavka 1 - Antenski (prijemni) sistem ima svoju jedinstvenu vremensku referencu, izvor posmatranog signala nije sinnhronizovan sa antenskim sistemom (nema istu vremensku referencu).

Posmatramo TDoA propagacioni model:

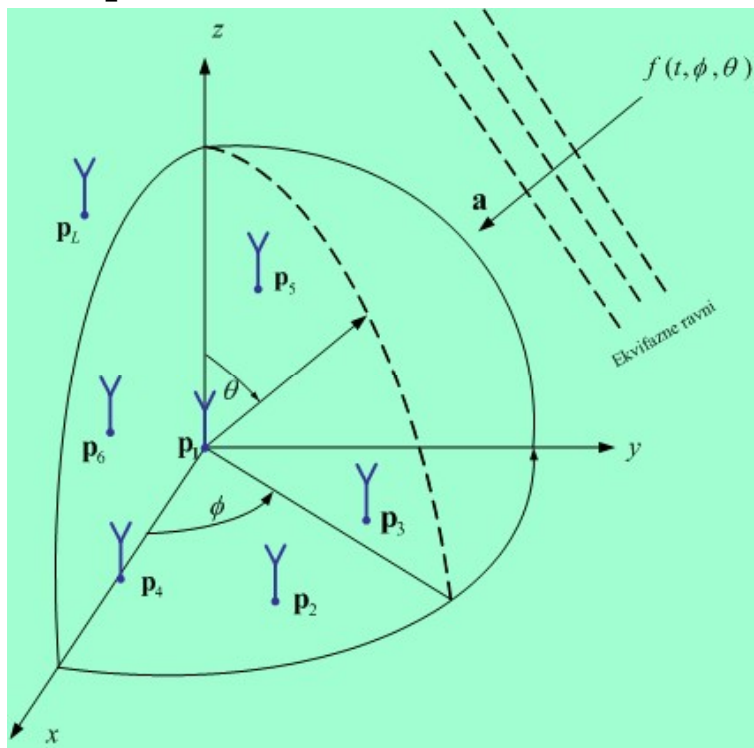
$$\tau_n = \frac{\mathbf{a}^T \mathbf{p}_n}{c}$$

Relativno propagaciono kašnjenje signala između referentne antene u koordinantnom početku i n -te antene u antenskom nizu.

Moguće je određivanje smera dolaska signala AoA (Angle of Arrival) – ako imamo više AN (lokacija na kojima se putem antenskog niza ostvaruje prijem i procena AoA signala) putem trijangularacije smerova se može odrediti i lokacija predajnika

Osnove AN – Ravni talas na anten. nizu

- ❖ Posmatramo monohromatski i talas pri propagaciji u slobodnom prostoru ali na antenskom nizu.



Moguće je određivanje smera dolaska signala AoA i vremenskog kašnjena ToA – na osnovu kojih se određuje lokacija predajnika p_s (*ranging sistemi*)

Prepostavka 2 - Antenski (prijemni) sistem i izvor posmatranog signala imaju istu vremensku referencu (predajnik je sinnhronizovan sa antenskim sistemom).

Posmatramo TDoA propagacioni model:

$$\tau_n = \frac{\mathbf{a}^T \mathbf{p}_n}{c}$$

Relativno propagaciono kašnjenje signala između referentne antene u koordinantnom početku i n -te antene u antenskom nizu.

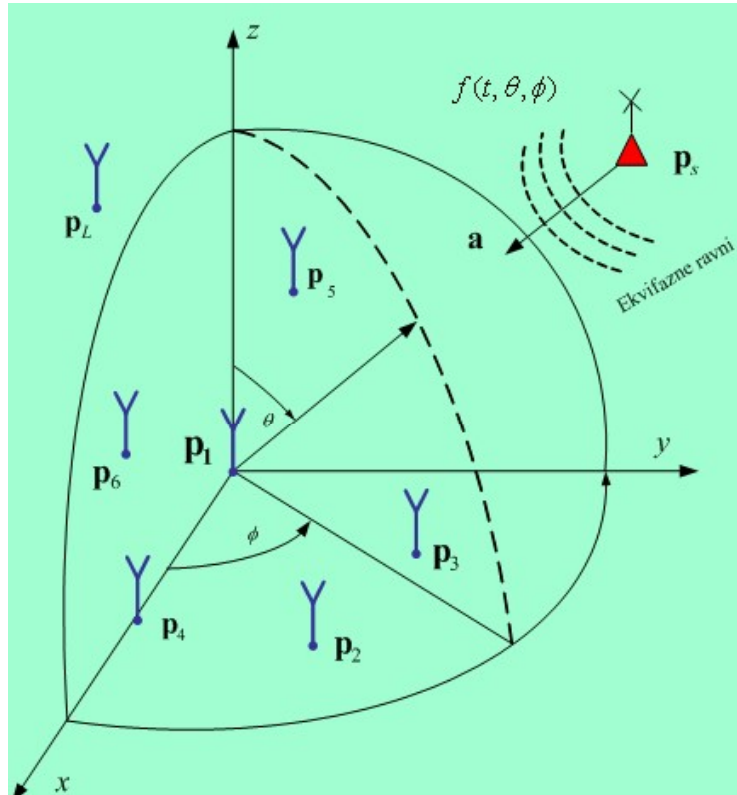
Posmatramo ToA (*Time of Arrival*) model:

$$\tau_{ns} = \frac{\mathbf{a}^T (\mathbf{p}_n - \mathbf{p}_s)^T}{c}$$

Kašnjenje signala usled propagacije između predajnika na poziciji p_s i n -te antene u antenskom nizu.

Osnove AN – Sferni talas na anten. nizu

- ❖ Imamo monohromatski sferni talas i propagaciju u slobodnom prostoru.



Pretpostavka 1 - Antenski (prijemni) sistem ima svoju jedinstvenu vremensku referencu, izvor posmatranog signala nije sinnhronizovan sa antenskim sistemom (nema istu vremensku referencu).

Posmatramo TDoA propagacioni model:

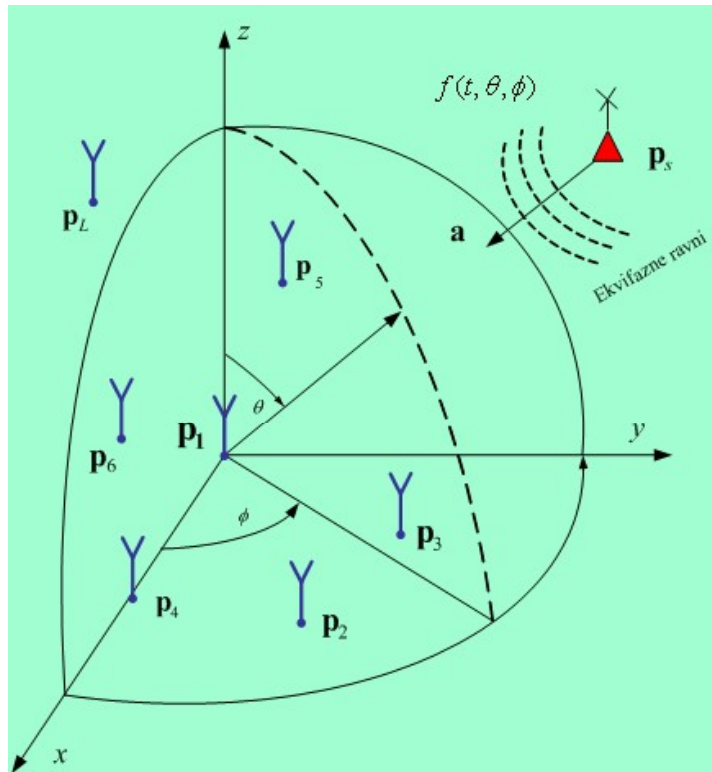
$$\tau_n = \frac{|\mathbf{p}_n - \mathbf{p}_s| - |\mathbf{p}_1 - \mathbf{p}_s|}{c}$$

Relativno propagaciono kašnjenje signala između referentne antene u koordinantnom početku i n-te antene u antenskom nizu.

Moguće je određivanje lokacije predajnika (p_s) - na osnovu procenjenih vremenskih kašnjenja τ_n , $n = 1, \dots, N$ za različite antene u antenskom nizu i poznatih vektora lokacija antenskih elemenata u antenskom nizu \mathbf{p}_n , $n = 1, \dots, N$.

Osnove AN – TDoA propagacioni model

❖ Imamo monohromatski sferni talas i propagaciju u slobodnom prostoru.



Prepostavka 2 - Antenski (prijemni) sistem i izvor posmatranog signala imaju istu vremensku referencu (predajnik je sinnhronizovan sa antenskim sistemom).

Posmatramo ToA (*Time of Arrival*) model:

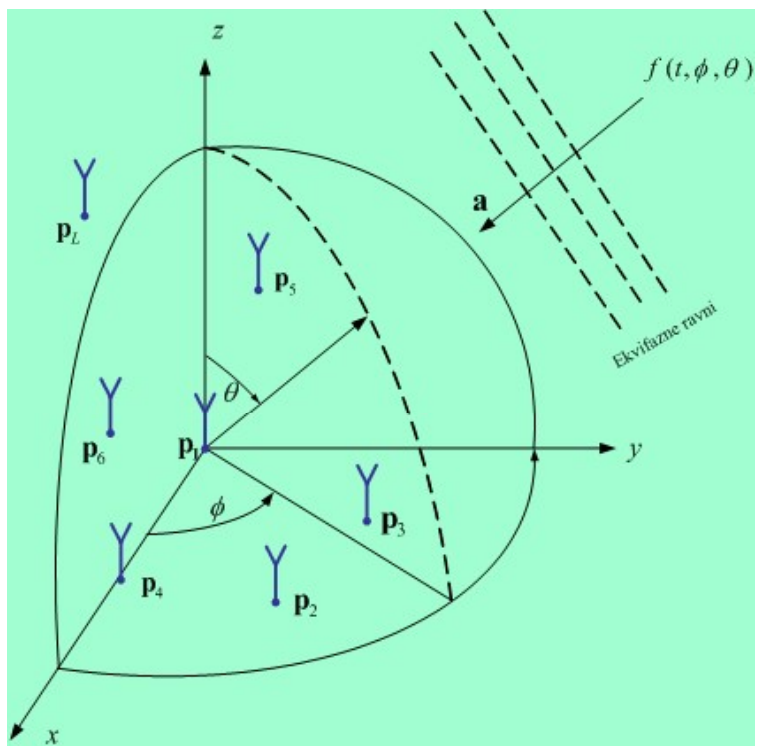
$$\tau_{ns} = \frac{|\mathbf{p}_n - \mathbf{p}_s|}{c}$$

Kašnjenje signala usled propagacije između predajnika na poziciji \mathbf{p}_s i n -te antene u antenskom nizu.

Moguće je određivanje lokacije predajnika (\mathbf{p}_s) - na osnovu procenjenih vremenskih kašnjenja τ_{ns} , $n = 1, \dots, N$ za različite antene u antenskom nizu i poznatih vektora lokacija antenskih elemenata u antenskom nizu \mathbf{p}_n , $n = 1, \dots, N$.

Osnove AN – Ravni talas na anten. nizu

❖ Imamo monohromatski ravni talas i propagaciju u slobodnom prostoru.



$$\mathbf{f}(t, \phi, \theta) = \begin{bmatrix} g_1(\phi, \theta) f(t - \tau_0) \\ g_2(\phi, \theta) f(t - \tau_1) \\ \vdots \\ g_L(\phi, \theta) f(t - \tau_{N-1}) \end{bmatrix}$$

Posmatramo vektor signala (el. polja) na antenskom nizu

$f(t)$ — Ovo je signal u koordinatnom početku (tj. za $\mathbf{p} = [0 \ 0 \ 0]$)

$g_n(\phi, \theta)$ — Pojačanje n -te antene u smeru predajnika signala

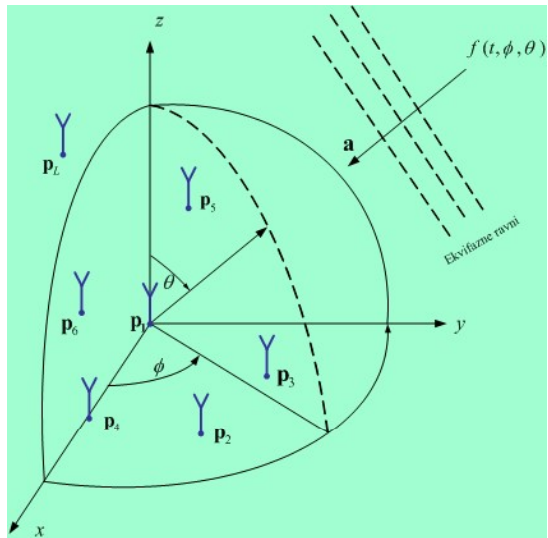
τ_n — Relativno propagaciono kašnjenje signala između referentne antene u koordinantnom početku i n -te antene u antenskom nizu.

$$g_0(\phi, \theta) = g_1(\theta, \phi) = \dots = g_{N-1}(\theta, \phi) = 1$$

Uvodimo prepostavku jediničnog pojačanja svih antena – imamo antenske elemente u antenskom nizu koji predstavljaju izotropne antene

Osnove AN – Ravni talas na anten. nizu

❖ Imamo monohromatski ravni talas i propagaciju u slobodnom prostoru.



$$\tau_n = \frac{\mathbf{a}^T \mathbf{p}_n}{c}$$

Relativno propagaciono kašnjenje
signala između referentne antene u
koordinantnom početku i n-te antene u
antenskom nizu.

Vektor a – jedinični vektor smera dolaska signala u
odnosu na referentni koordinatni sistem tj. u odnosu na
usvojeni koordinatni početak (0,0,0)

$$\mathbf{a} = [-\cos(\phi)\sin(\theta) \quad -\sin(\phi)\sin(\theta) \quad -\cos(\theta)]^T$$

$$\Rightarrow \tau_n = \frac{\mathbf{a}^T \mathbf{p}_n}{c} = -\frac{1}{c} [\sin(\theta)\cos(\phi)p_{x_n} + \sin(\theta)\sin(\phi)p_{y_n} + \cos(\theta)p_{z_n}]$$

$$\Rightarrow \omega\tau_n = \mathbf{k}^T \mathbf{p}_n = \omega \frac{\mathbf{a}^T \mathbf{p}_n}{c}$$

[rad/m] u smeru
prostiranja signala

$$\Rightarrow c = \lambda f = \frac{\lambda\omega}{2\pi} \Rightarrow \omega\tau_n = \frac{2\pi}{\lambda} \mathbf{a}^T \mathbf{p}_n \Rightarrow \mathbf{k} = \frac{\omega}{c} \mathbf{a} = \frac{2\pi}{\lambda} \mathbf{a} \Rightarrow |\mathbf{k}| = \frac{2\pi}{\lambda}$$

Osnove AN – Ravni talas na anten. nizu

❖ Ako je po definiciji:

$$u_x = \sin(\theta) \cos(\phi)$$

$$u_y = \sin(\theta) \sin(\phi)$$

$$u_z = \cos(\phi)$$

Posmatramo tzv. u-domen

$$\Rightarrow \tau_n = -\frac{1}{c} [u_x p_{xn} + u_y p_{yn} + u_z p_{zn}] = -\frac{\mathbf{u}^T \mathbf{p}_n}{c} \Rightarrow \mathbf{u} = -\mathbf{a}$$

$$\Rightarrow \omega \tau_n = \omega \frac{\mathbf{a}^T \mathbf{p}_n}{c} = -\omega \frac{\mathbf{u}^T \mathbf{p}_n}{c} = -\frac{2\pi}{\lambda} \mathbf{u}^T \mathbf{p}_n \Rightarrow \mathbf{k} = -\frac{\omega}{c} \mathbf{u} = -\frac{2\pi}{\lambda} \mathbf{u}$$

$$\Rightarrow \mathbf{k} = -\frac{2\pi}{\lambda} \begin{bmatrix} \sin(\theta) \cos(\phi) \\ \sin(\theta) \sin(\phi) \\ \cos(\theta) \end{bmatrix} = -\frac{2\pi}{\lambda} \mathbf{u} \quad |\mathbf{k}| = \frac{\omega}{c} = \frac{2\pi}{\lambda}$$

Pitanje: U kom smeru pri prostiranju ravnog monohromatskog talasa ima $\frac{2\pi}{\lambda} [rad / m]$

Osnove AN – TDoA model za ravni talas

- ❖ Posmatramo TDoA propagacioni model u slučaju propagacije ravnog monohromatskog talasa (propagacija u slobodnom prostoru).

$$\mathbf{f}(t, \mathbf{k}) = \begin{bmatrix} f(t - \tau_0) \\ f(t - \tau_1) \\ \vdots \\ f(t - \tau_{N-1}) \end{bmatrix} = e^{j\omega t} \begin{bmatrix} \exp(-j\mathbf{k}^T \mathbf{p}_0) \\ \exp(-j\mathbf{k}^T \mathbf{p}_1) \\ \vdots \\ \exp(-j\mathbf{k}^T \mathbf{p}_{N-1}) \end{bmatrix} = e^{j\omega t} \begin{bmatrix} \exp(-j\frac{2\pi}{\lambda} \mathbf{a}^T \mathbf{p}_0) \\ \exp(-j\frac{2\pi}{\lambda} \mathbf{a}^T \mathbf{p}_1) \\ \vdots \\ \exp(-j\frac{2\pi}{\lambda} \mathbf{a}^T \mathbf{p}_{N-1}) \end{bmatrix} = e^{j\omega t} \mathbf{v}_k(\mathbf{k})$$

Prostorno-vremenski model monohromatskog ravnog talasa
jedinične amplitude na antenskom nizu

**Model je kontinualan u vremenskom domenu i
diskretan u prostornom domenu !!!**

Osnove AN – Vektor prostiranja

- ❖ Želimo da definišemo vektor prostiranja (*steering vector* ili *array manifold vector*) – definiše odziv antenskog niza na ravni monohormatski signal iz zadatog smera, i time omogućava transformaciju signala iz frekvencijskog domena (vremenske frekvencije) u domen ω -k, tj. domen frekvencija – talasni broj (to je vremensko-prostorna frekvencija)

$$\mathbf{v}_k(\mathbf{k}) = \begin{bmatrix} \exp(-j\omega\tau_0) \\ \exp(-j\omega\tau_1) \\ \vdots \\ \exp(-j\omega\tau_{N-1}) \end{bmatrix} = \begin{bmatrix} \exp(-j\mathbf{k}^T \mathbf{p}_0) \\ \exp(-j\mathbf{k}^T \mathbf{p}_1) \\ \vdots \\ \exp(-j\mathbf{k}^T \mathbf{p}_{N-1}) \end{bmatrix} = \begin{bmatrix} \exp(-j\frac{2\pi}{\lambda} \mathbf{a}^T \mathbf{p}_0) \\ \exp(-j\frac{2\pi}{\lambda} \mathbf{a}^T \mathbf{p}_1) \\ \vdots \\ \exp(-j\frac{2\pi}{\lambda} \mathbf{a}^T \mathbf{p}_{N-1}) \end{bmatrix}$$

Vektor prostiranja (*steering vector*)

Vektor prostiranja se koristi (tj. koristi se za definiciju) za formulaciju gotovo svih algoritama pri obradi signala na antenskom nizu (*array processing*) – **samim tim vektor prostiranja predstavlja pojam od fundamentoalnog značaja za ovaj vid obrade signala.**

Osnove AN – Funkcija prenosa AN

- ❖ Želimo da definišemo funkciju prenosa (transfer funkciju) antenskog niza (*array manifold*).
- ❖ Posmatramo kontinuum (beskonačan skup) svih vektora prostiranja za sve moguće pravce dolaska signala

$$\mathbf{v}_k(\mathbf{k}) = \mathbf{v}_k(\omega : \theta, \phi);$$

$$\theta \in (0, \pi); \phi \in (0, 2\pi)$$

Transfer funkcija antenskog niza (*array manifold*) – vremensko-prostorna funkcija prenosa ili vremensko-prostorni odziv

Osnove AN – TDoA model i spektar

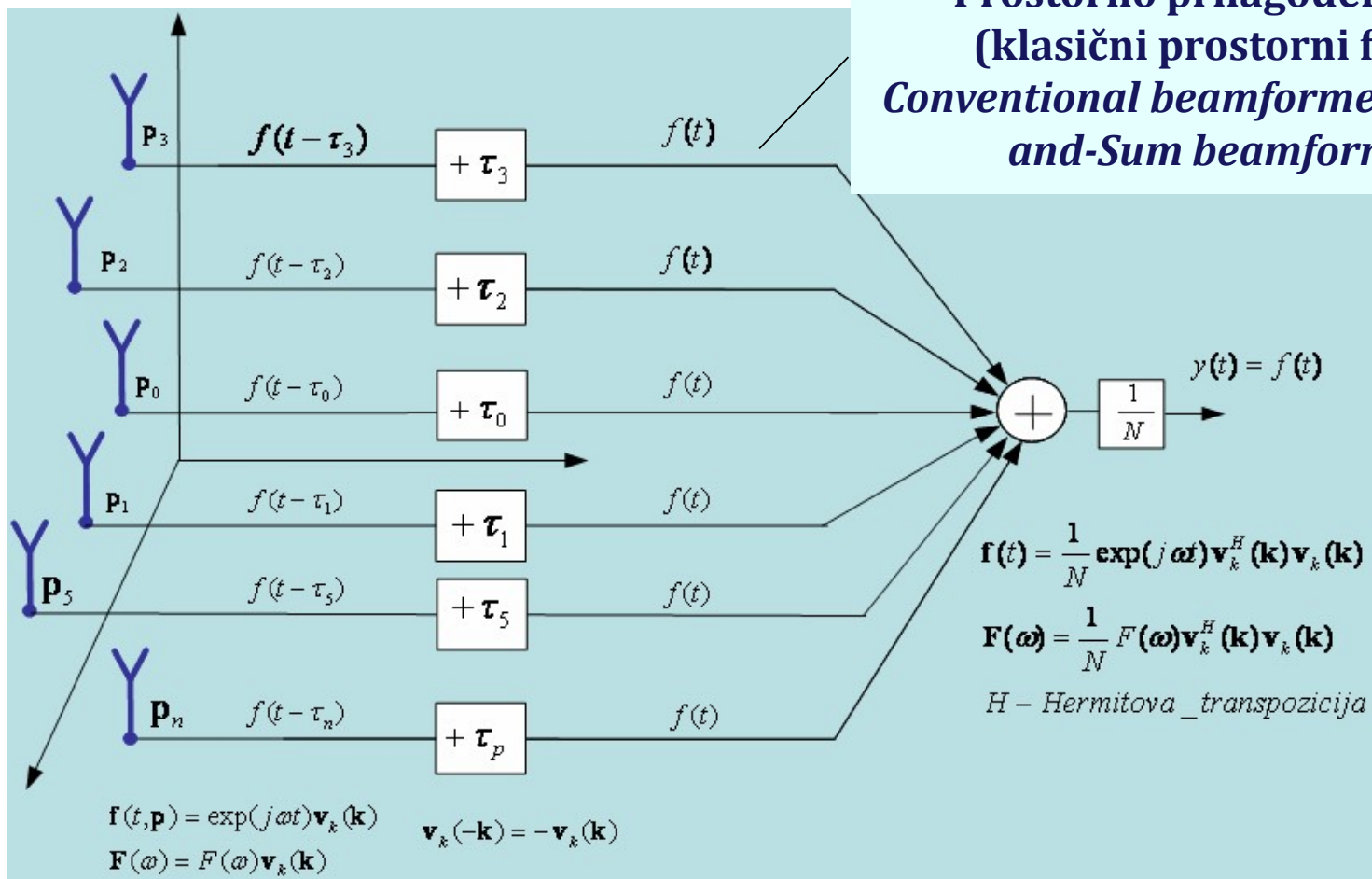
- ❖ Prepostavimo da na antenski niz dolazi polihromatski signal čiji je *base-band* spektar (spektar u osnovnom opsegu učestanosti nakon IQ demodulacije) u koordinantnom početku definisan i označen sa:

$$\tilde{F}(\omega)$$

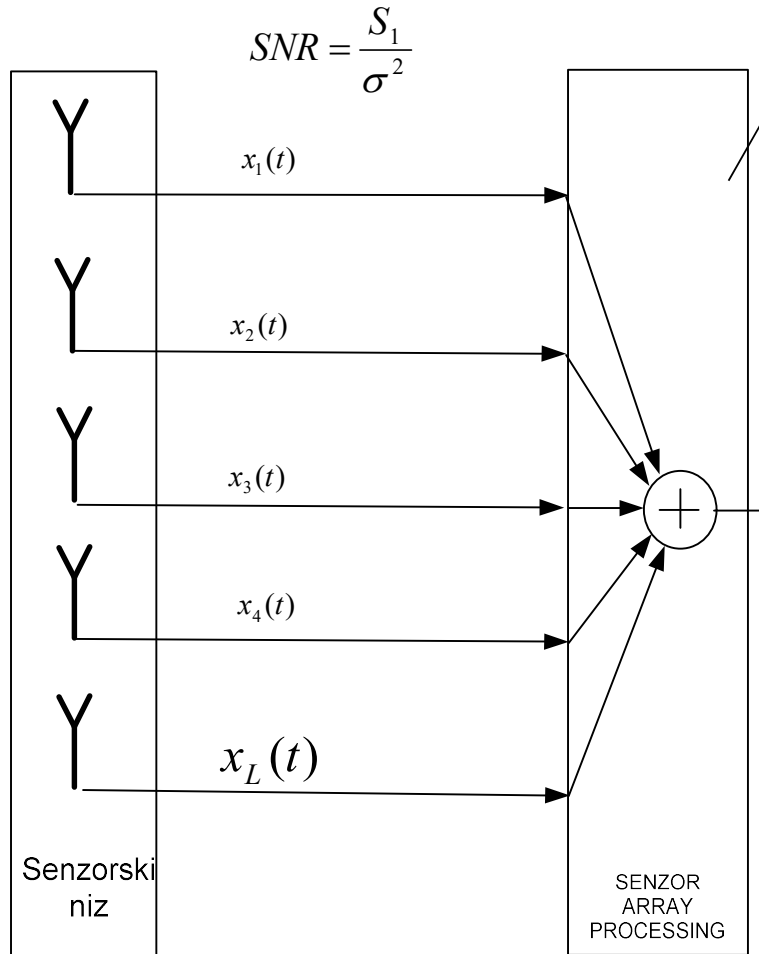
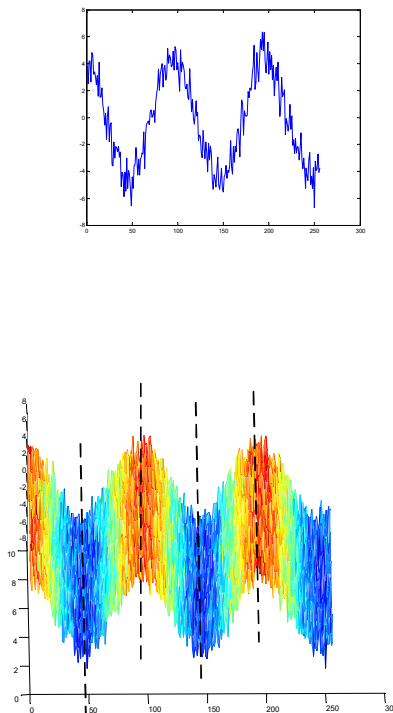
- ❖ Prostorno-vremenski spektar *base-band* signala na antenskom nizu dobija se kao:

$$\tilde{\mathbf{F}}(\omega, \mathbf{k}) = \tilde{F}(\omega) \mathbf{v}(\mathbf{k})$$

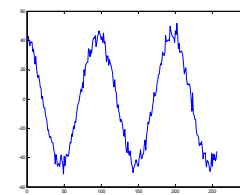
Osnove AN – Klasični prostorni filter



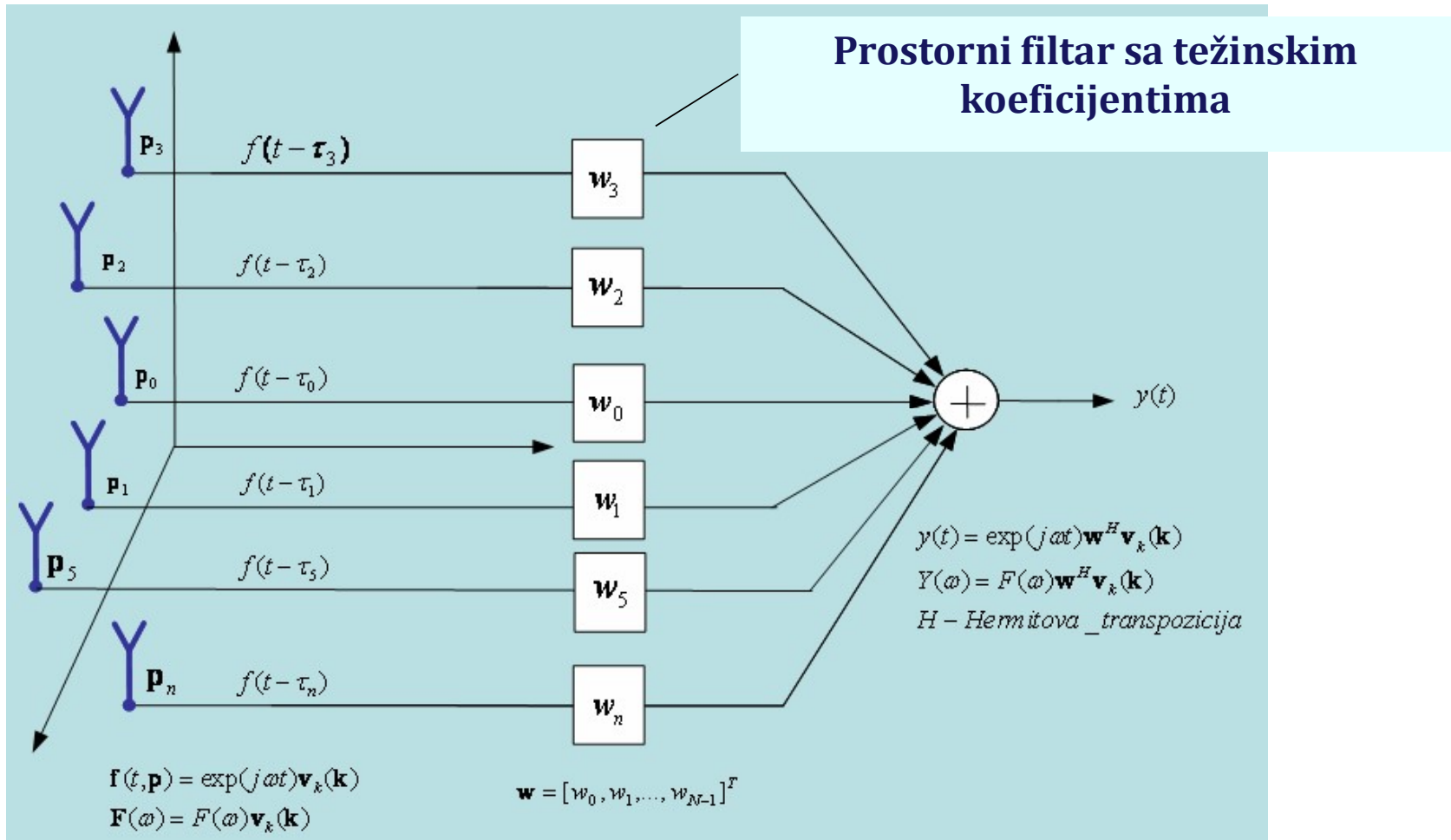
Osnove AN – Klasični prostorni filter



Klasični prostorni filter
(Prostorni prilagođeni filter) – *Conventional beamformer ili Delay-and-Sum beamformer*)

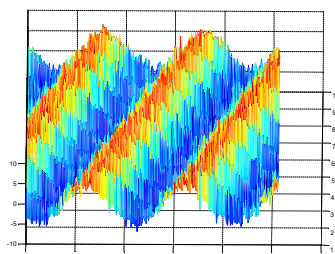
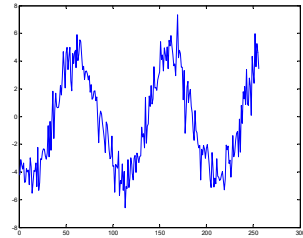


Osnove AN – Klasični prostorni filter

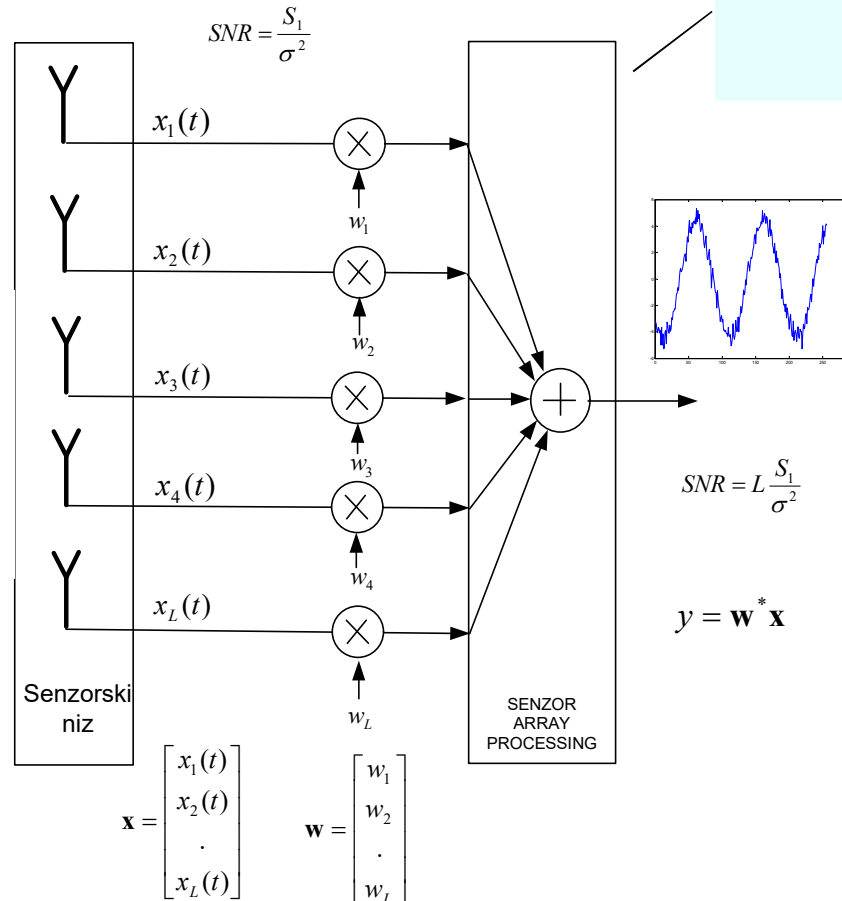


Osnove AN – Klasični prostorni filter

Napomena: Iste su pocetne faze signala na prvoj anteni i na izlazu prostornog filtra



Ekvifazne ravni



Prostorni filter sa težinskim koeficijentima

Osnove AN – F-ja odziva prostornog filtra

- ❖ Treba da odredimo funkciju odziva prostornog filtra u domenu vremensko-prostorne frekvencije (*frequency-wavenumber response function*) :

$$\mathbf{f}(t) = \frac{1}{N} \exp(j\omega t) \mathbf{v}_k^H(\mathbf{k}_s) \mathbf{v}_k(\mathbf{k})$$

$$\mathbf{F}(\omega) = \frac{1}{N} F(\omega) \mathbf{v}_k^H(\mathbf{k}_s) \mathbf{v}_k(\mathbf{k})$$

\mathbf{k}_s – talasni _ broj _ signala _ od _ ineresa

- ❖ Odziv prostornog filtra u domenu vremenska-prostorna frekvencija (*frequency-wavenumber*) čiji je maksimum dijagrama usmerenosti izborom koeficijenata prostornog filtra podešen na harmonijski talas iz zadatog smera (odnosno sa zadatim talasnim brojem k_s).

$$\Rightarrow \mathbf{T}(\omega, \mathbf{k}) = \frac{1}{N} \mathbf{v}_k^H(\mathbf{k}_s) \mathbf{v}_k(\mathbf{k})$$

Osnove AN – F-ja odziva prostornog filtra

- ❖ Funkcija odziva prostornog filtra sa težinskim koeficijentima u domenu vremenska-prostorna frekvencija (*frequency-wavenumber response function*)

$$y(t) = \exp(j\omega t) \mathbf{w}^H \mathbf{v}_k(\mathbf{k})$$

$$Y(\omega) = F(\omega) \mathbf{w}^H \mathbf{v}_k(\mathbf{k})$$

- ❖ Odziv prostornog filtra sa težinskim koeficijentima u domenu vremenska-prostorna frekvencija (*frequency-wavenumber*) na harmonijski talas.

$$\Rightarrow \mathbf{T}(\omega, \mathbf{k}) = \mathbf{w}^H \mathbf{v}_k(\mathbf{k})$$

Osnove AN – Oblik snopa (*beam pattern*)

- ❖ **Oblik snopa (*Beam pattern*)** - odziv antenskog niza zadate geometrije i zadatim težinskim koeficijentima prostornog filtra u domenu frekvencija-talasni broj (*frequency-wavenumber*, vremenska frekvencija-prostorna frekvencija).

$$B(\omega : \theta, \phi) = \mathbf{T}(\omega, \mathbf{k}) \Big|_{\mathbf{k} = \frac{2\pi}{\lambda} \mathbf{a}(\theta, \phi)} = \mathbf{W}^H \mathbf{v}_k(\mathbf{k}) = \sum_{n=0}^{N-1} w_n \exp(-j \mathbf{k}^T \mathbf{p}_n)$$

$\boxed{\mathbf{a}(\theta, \phi)}$ —

Jedinični vektor smera dolaska
signala na antenski niz

Osnove AN – Faktor AN (*Array Factor, AF*)

- ❖ Faktor antenskog niza (*Array Factor, AF*) - odziv antenskog niza zadate geometrije i težinskim koeficijentima prostornog filtra $w_n = 1/N$ u domenu frekvencija-talasni broj (*frequency-wavenumber*, vremenska frekvencija-prostorna frekvencija).

$$\Rightarrow AF = B(\omega : \theta, \varphi) \Big|_{w_n=1/L} = \mathbf{w}_0^H \mathbf{v}_k(\mathbf{k}) = \sum_{n=0}^{N-1} w_{0n} \exp(-j\mathbf{k}^T \mathbf{p}_n) = \frac{1}{N} \sum_{n=0}^{N-1} \exp(-j \frac{2\pi}{\lambda} \mathbf{a}(\theta, \varphi)^T \mathbf{p}_n)$$

$$\boxed{\mathbf{w}_0 = [1/N \quad 1/N \quad .. \quad 1/N]^T}$$

L×1 vektor sa vrednostima
težinskih koeficijenata $w_n = 1/N$

- ❖ Napomena: U literaturi postoji i slučaj da se AF definiše za jedinične vrednosti težinskih koeficijenata (*Equal Gain Combining*).

Osnove AN – Array Pattern (AP)

- ❖ *Array Pattern (AP)* antenskog niza (“3D antenski dijagram”) se definiše na sledeći način:

$$AP = \sum_{n=0}^{N-1} g_n(\phi, \theta) \exp(-j\mathbf{k}^T \mathbf{p}_n)$$

$g_n(\phi, \theta)$

Pojačanje n -te antene u smeru predajnika signala

$$AP_N = \frac{\sum_{n=0}^{N-1} g_n(\phi, \theta) \exp(-j\mathbf{k}^T \mathbf{p}_n)}{\max \left| \sum_{n=0}^{N-1} g_n(\phi, \theta) \exp(-j\mathbf{k}^T \mathbf{p}_n) \right|}$$

Normalizovani AP

$$g_1(\phi, \theta) = g_2(\phi, \theta) = \dots = g_L(\phi, \theta) = g(\phi, \theta)$$

Ako se antenski niz sastoji od idnetičnih antena (najčešći slučaj)

$$AP = \sum_{n=0}^{N-1} g_n(\phi, \theta) \exp(-j\mathbf{k}^T \mathbf{p}_n) \cdot g(\phi, \theta) \sum_{n=0}^{N-1} \exp(-j\mathbf{k}^T \mathbf{p}_n)$$

$$\Rightarrow AP = g(\phi, \theta) AF$$

Osnove AN – *Power Pattern* za AN

- ❖ Definišemo dijagram usmerenosti antenskog niza po srednjoj snazi (*Power Pattern*):

$$P(\omega : \theta, \phi) = |B(\omega : \theta, \phi)|^2 = \left| \sum_{n=0}^{N-1} w_n \exp(-j\mathbf{k}^T \mathbf{p}_n) \right|^2$$

Apsolutna vrednost AP na kvadrat

$$w_n = 1/N; n = 0, N-1$$

Ako usvojima iste vrednosti težinskih koeficijenata $w_n = 1/N$

$$P(\theta, \phi) = \left| \frac{1}{N} \sum_{n=0}^{N-1} \exp(-j\mathbf{k}^T \mathbf{p}_n) \right|^2 = |AF(\theta, \phi)|^2$$

Osnove AN – Pojačanje AN (*Array Directivity*)

❖ Definišemo pojačanje antenskog niza (*Array Directivity*)

$$D = \frac{P(\theta_T, \phi_T)}{P_{tot}}$$

Maksimalna vrednost Power
Pattern-a (maksimum
dijagrama usmerenosti)

Ukupna izračena energija

(θ_T, ϕ_T)

Smer maksimuma dijagrama
usmerenosti

Ukupna izračena energija

$$P_{tot} = \frac{1}{4\pi} \int_0^{2\pi} \int_0^{\pi} P(\theta, \phi) \sin(\theta) d\theta d\phi$$

Smer →

Pravac ↔

Osnove AN – Tipovi i karakteristike AN

❖ Klasifikaciju antenskih nizova možemo obaviti na osnovu geometrije AN.

Geometrije antenskih nizova

LINEARNE (1D) geometrije AN:

- Unuformni
- Neunuformne
- Slučajne
- Minimalno-redundantne

PLANARNE (2D) geometrije AN:

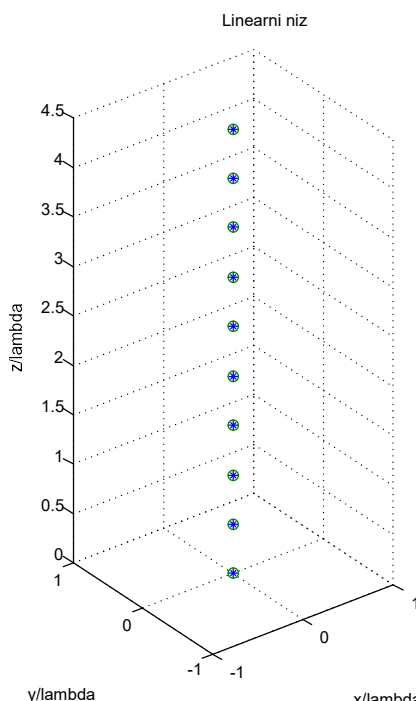
- Kružne
- Kružno koncentrične
- Uniformno kvadratne (kvadratične)
- V geometrije
- Slučajne
- Adkok

PROSTORNE (3D) geometrije AN:

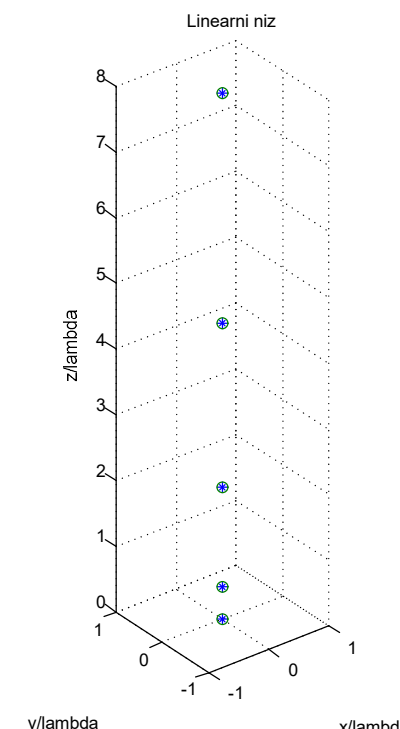
- Cilindrične
- Kvadrične (oblik kvadra)
- Sferne (sferične)
- Slučajne

Osnove AN – Linearni antenski nizovi

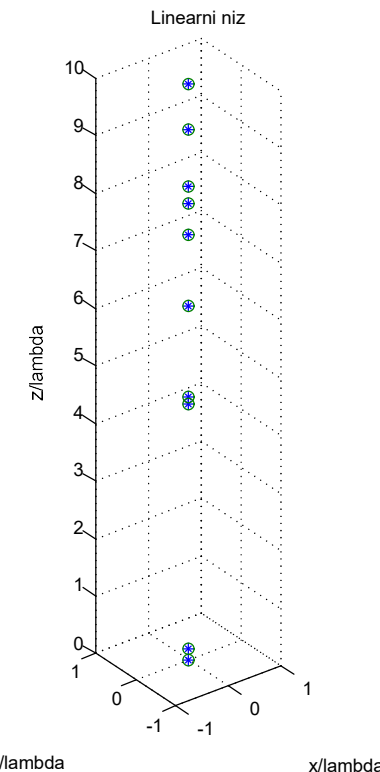
Uniformni



Neuniformni

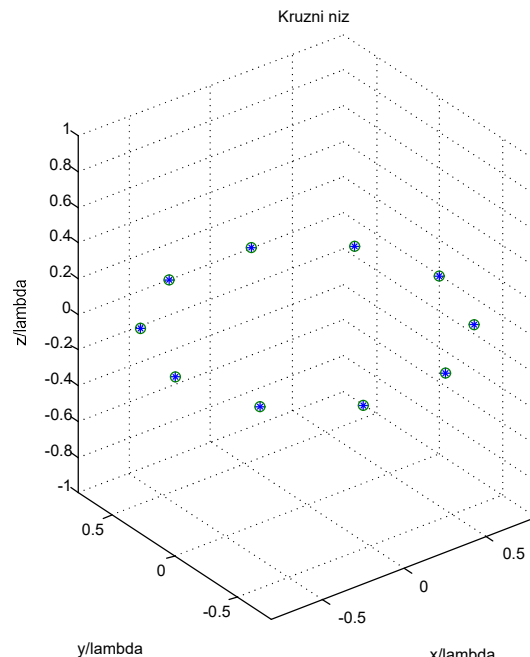


Slučajni

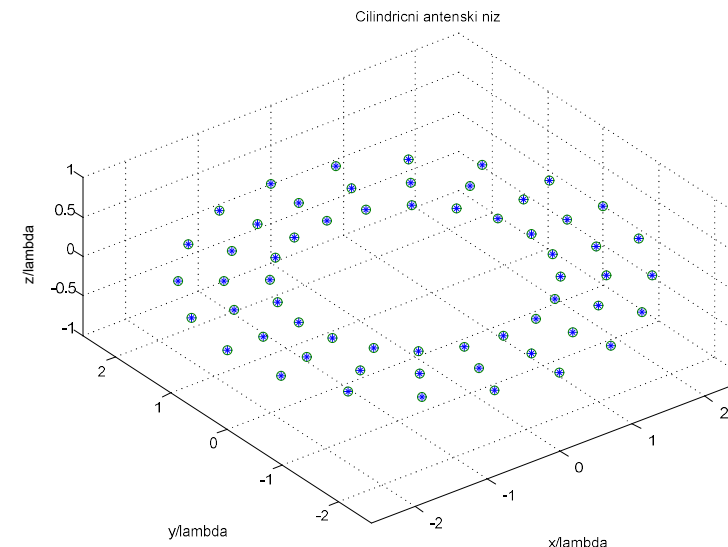


Osnove AN – Planarni antenski nizovi

Kružni

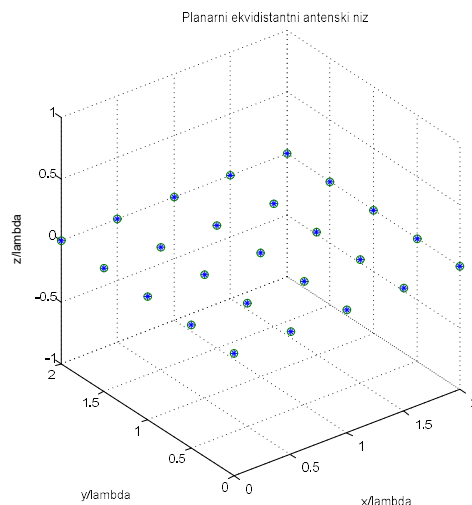


Kružno-Koncentrični

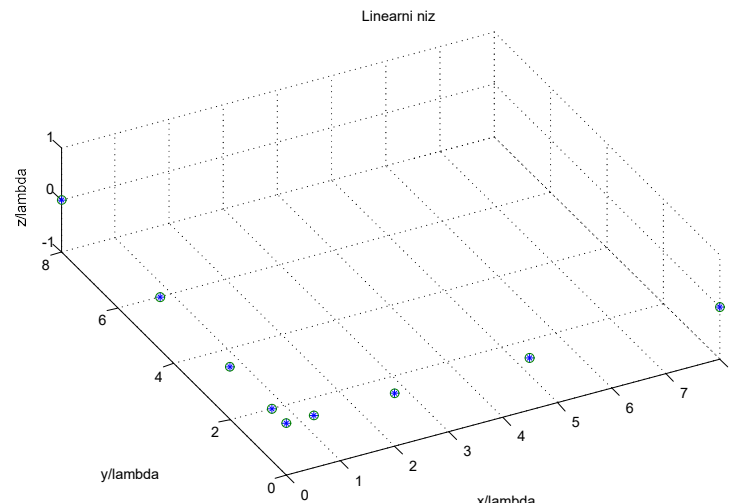


Osnove AN – Planarni antenski nizovi

Kvadratni

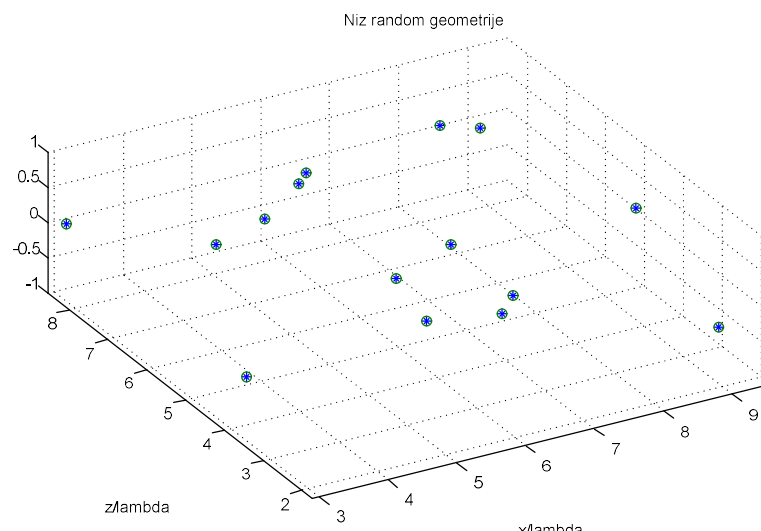


V geometrija

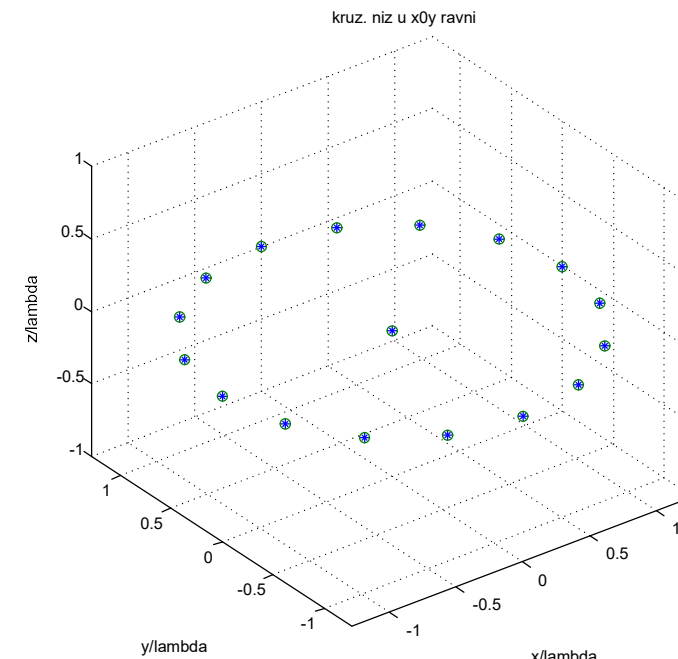


Osnove AN – Planarni antenski nizovi

Slučajni

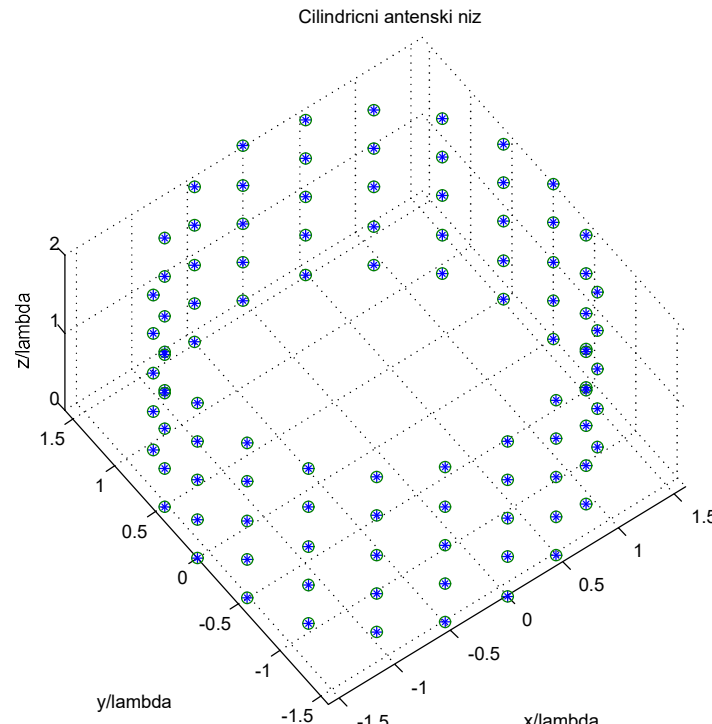


Adkok

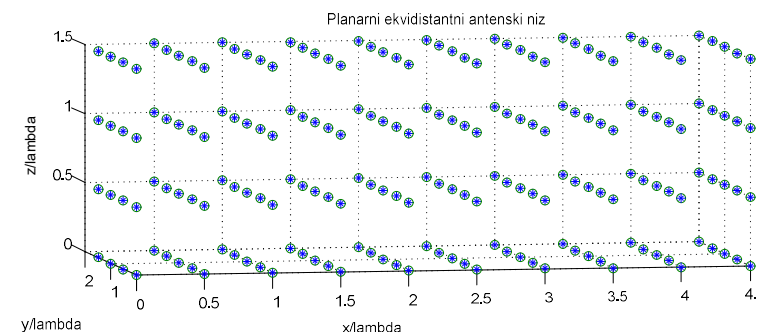


Osnove AN – Prostorni antenski nizovi

Cilindrični

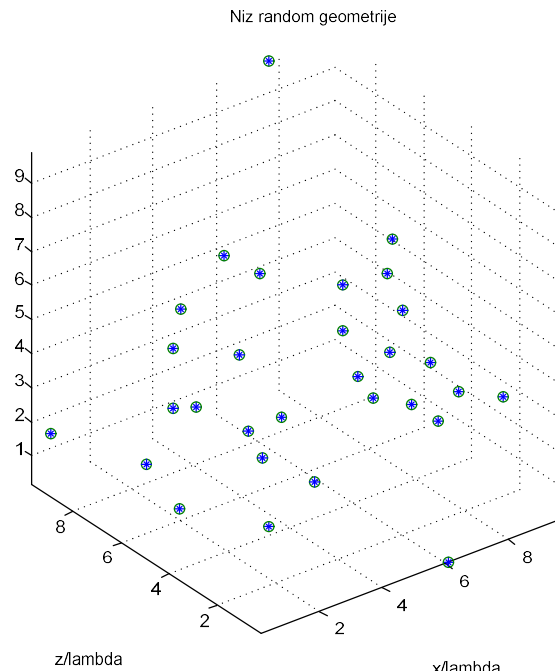


Kvadrični

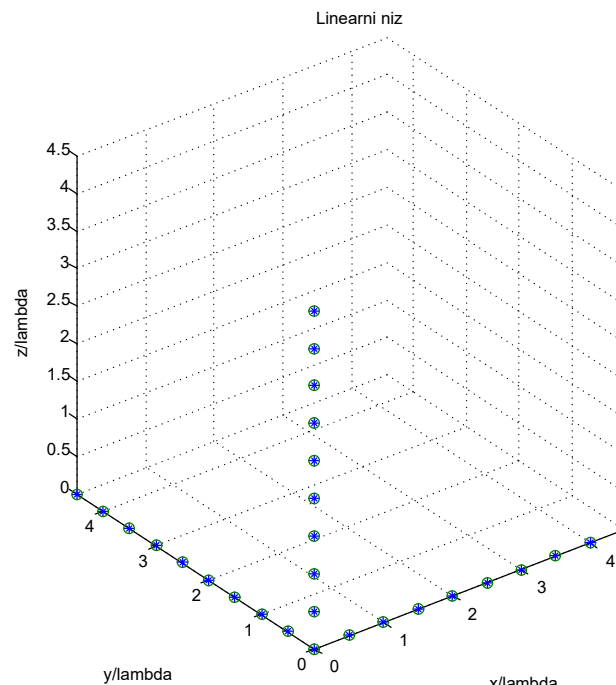


Osnove AN – Prostorni antenski nizovi

Slučajni

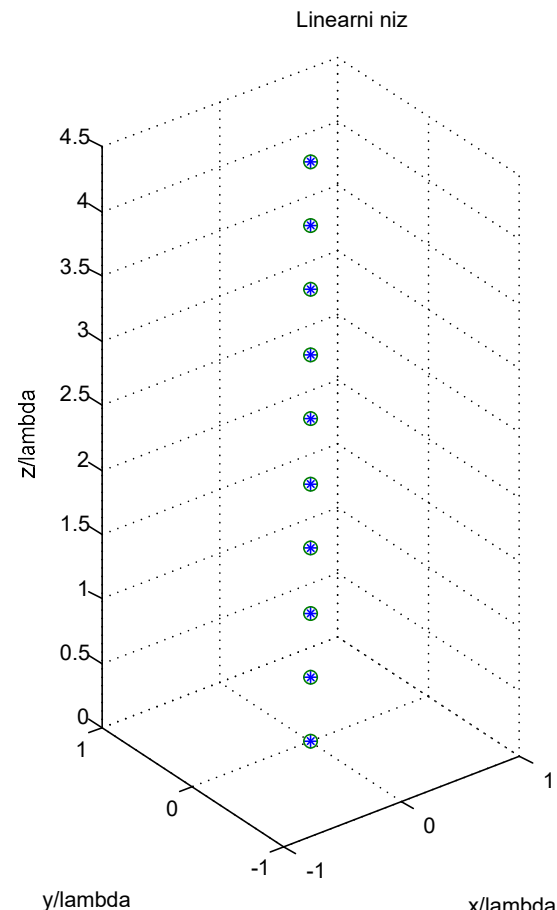


V- 3D

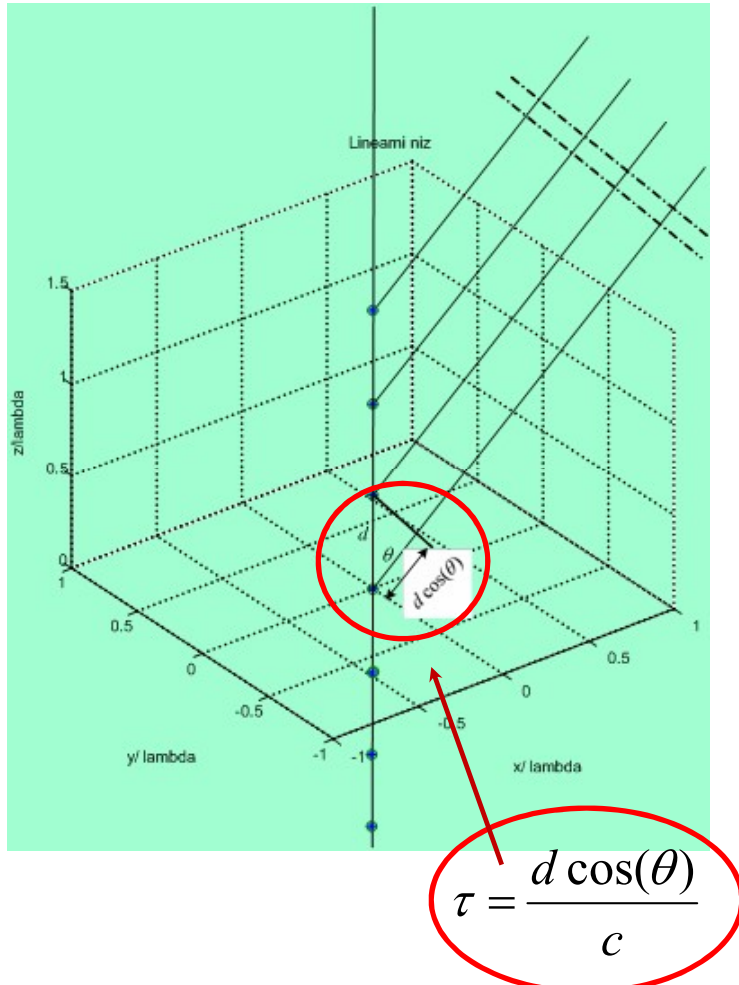


Osnove AN – Uniformni linearni AN

- ❖ Karakteristike linearnih uniformnih antenskih nizova:
 - Uniformno prostorno odabiranje (samplering)
 - Postoji ekvivalencija sa uniformnim odabiranjem u vremenu (teorema o odabiranju) – kao Analogija fenomena u prostornom i vremenskom domenu
 - U osnovi linearni uniformni AN predstavlja isti matematički aparat za analizu efekata kao u kod algoritama sa uniformnim vremenskim odabiranjem signala



Osnove AN – Uniformni linearni AN



Vektor prostiranja linearnog AN

$$p_{z_n} = \left(n - \frac{N-1}{2}\right)d; n = 0, 1, \dots, N-1$$
$$p_{x_n} = p_{y_n} = 0$$

Pozicije antena – duž z-ose

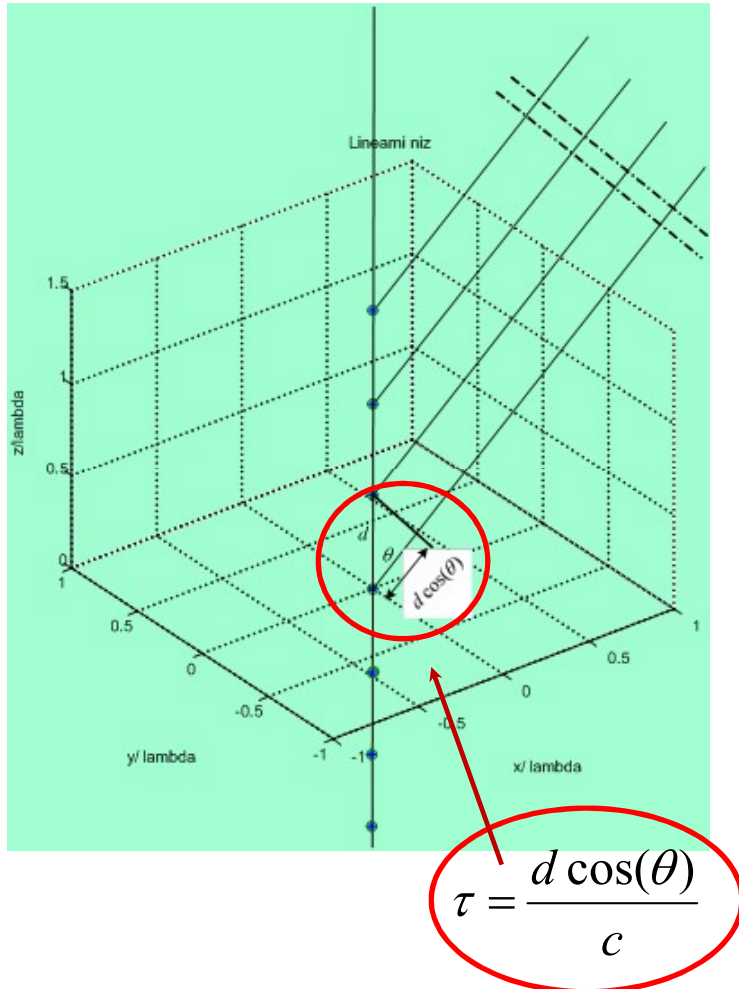
Steering vektor linearnog AN

$$\mathbf{v}_k(\omega : \mathbf{k}) = \left[e^{-j\mathbf{k}^T \mathbf{p}_0} \quad e^{-j\mathbf{k}^T \mathbf{p}_1} \quad \dots \quad e^{-j\mathbf{k}^T \mathbf{p}_{N-1}} \right]^T$$

$$\Rightarrow \mathbf{v}_k(\omega : k_z) = \left[e^{j(\frac{N-1}{2})k_z d} \quad e^{j(\frac{N-1}{2}-1)k_z d} \quad \dots \quad e^{-j(\frac{N-1}{2})k_z d} \right]^T$$

$$k_z = -\frac{2\pi}{\lambda} \cos(\theta) = -k_0 \cos(\theta) \quad k_0 = |\mathbf{k}| \hat{=} \frac{2\pi}{\lambda}$$

Osnove AN – Uniformni linearni AN



Vektor prostiranja linearnog AN

$$p_{z_n} = \left(n - \frac{N-1}{2}\right)d; n = 0, 1, \dots, N-1$$

$$p_{x_n} = p_{y_n} = 0$$

Pozicije antena – duž z-ose

Steering vektor linearnog AN

$$\mathbf{v}_k(\omega : \mathbf{k}) = [e^{-j\omega\tau_0} \quad e^{-j\omega\tau_1} \quad \dots \quad e^{-j\omega\tau_{N-1}}]^T$$

$$\omega\tau_n = \frac{\omega}{c} \left(n - \frac{N-1}{2}\right)d \cos(\theta) \quad k_z = -\frac{2\pi}{\lambda} \cos(\theta) = -k_0 \cos(\theta)$$

$$\Rightarrow \mathbf{v}_k(\omega : k_z) = \left[e^{j\left(\frac{N-1}{2}k_z d\right)} \quad e^{j\left(\frac{N-1}{2}-1\right)k_z d} \quad \dots \quad e^{-j\left(\frac{N-1}{2}\right)k_z d} \right]^T$$

Osnove AN – Uniformni linearni AN

Odziv uniformnog antenskog niza u domenu vremenska frekvencija-prostorna frekvencija (*frequency-wavenumber*)

$$T(\omega, k_z) = \mathbf{w}^H \mathbf{v}_k(k_z) = \sum_{n=0}^{N-1} w_n^* e^{-j(n-\frac{N-1}{2})k_z d}$$

Definišemo prostornu frekvenciju

$$\psi = -k_z d = -\frac{2\pi}{\lambda} \cos(\theta) d = \frac{2\pi}{\lambda} u_z d$$

$$\Rightarrow T(\psi) = e^{-j\frac{N-1}{2}\psi} \sum_{n=0}^{N-1} w_n^* e^{jn\psi} \quad \psi \in (-\infty, \infty)$$

Vidljiva oblast (*visible region*)

$$\begin{aligned} 0 &\leq \theta \leq \pi \\ -1 &\leq \frac{2\pi}{\lambda} \cos(\theta) \leq 1 \end{aligned} \Rightarrow -\frac{2\pi d}{\lambda} \leq \psi \leq \frac{2\pi d}{\lambda}$$

Osnove AN – Uniformni linearne AN

Odziv uniformnog antenskog niza u domenu vremenska
frekvencija-prostorna frekvencija (*frequency-wavenumber*)
u obliku z-tranformacije

$$z = e^{j\psi}$$

Definišemo
promnjivu z

$$\Rightarrow \mathbf{T}_z(z) = z^{-\frac{N-1}{2}} \sum_{n=0}^{N-1} w_n^* z^n$$

$$\Rightarrow W(z) = \sum_{n=0}^{N-1} w_n^* z^n$$

W(z) je z-tranformacija sa koeficijentima
prostornog filtra

$$\Rightarrow \mathbf{T}_\psi(\psi) = \mathbf{T}_z(z) \Big|_{z=e^{j\psi}} = z^{-\frac{N-1}{2}} W^*(z) \Big|_{z=e^{j\psi}}$$

Osnove AN – Uniformni linearni AN

Vektor prostiranja (*steering vector*) uniformnog antenskog niza u sva tri domena

$$\theta - \text{domen:} \quad [\mathbf{v}_\theta(\theta)]_n = e^{j(n-\frac{N-1}{2})\frac{2\pi d}{\lambda}\cos(\theta)}; n = 0, \dots, N-1$$

$$u = \cos(\theta) - \text{domen:} \quad [\mathbf{v}_u(u)]_n = e^{j(n-\frac{N-1}{2})\frac{2\pi d}{\lambda}u}; n = 0, \dots, N-1$$

$$\psi = \frac{2\pi d}{\lambda} \cos(\theta) = \frac{2\pi d}{\lambda} u - \text{domen:} \quad [\mathbf{v}_\psi(\psi)]_n = e^{j(n-\frac{N-1}{2})\psi}; n = 0, \dots, N-1$$

Osnove AN – Uniformni linearni AN

Oblik snopa (Beam Pattern) uniformnog antenskog niza u sva tri domena

θ -domen:

$$B_\theta(\theta) = \mathbf{w}^H \mathbf{v}_\theta(\theta) = e^{j(\frac{N-1}{2})\frac{2\pi d}{\lambda} \cos(\theta)} \sum_{n=0}^{N-1} w_n^* e^{jn\frac{2\pi d}{\lambda} \cos(\theta)} ; 0 \leq \theta \leq \pi$$

$u = \cos(\theta)$ -domen:

$$B_u(u) = \mathbf{w}^H \mathbf{v}_u(u) = e^{j(\frac{N-1}{2})\frac{2\pi d}{\lambda} u} \sum_{n=0}^{N-1} w_n^* e^{jn\frac{2\pi d}{\lambda} u} ; -1 \leq u \leq 1$$

$\psi = \frac{2\pi d}{\lambda} \cos(\theta) = \frac{2\pi d}{\lambda} u$ -domen:

$$B_\psi(\psi) = \mathbf{w}^H \mathbf{v}_\psi(\psi) = e^{j(\frac{N-1}{2})\psi} \sum_{n=0}^{N-1} w_n^* e^{jn\psi} ; -\frac{2\pi d}{\lambda} \leq \psi \leq \frac{2\pi d}{\lambda}$$

Osnove AN – Uniformni linearni AN

Faktor (AF) uniformnog antenskog niza u sva tri domena

$$w_n = \frac{1}{N}; n = 0, 1, \dots, N-1$$

N×1 vektor sa vrednostima težinskih koeficijenata $w_n = 1/N$

θ -domen:

$$AF_\theta = B_\theta(\theta) \Big|_{w_n=1/N} = \mathbf{w}_0^H \mathbf{v}_\theta(\theta) = \frac{1}{N} e^{j(\frac{N-1}{2}) \frac{2\pi d}{\lambda} \cos(\theta)} \sum_{n=0}^{N-1} e^{jn \frac{2\pi d}{\lambda} \cos(\theta)}; 0 \leq \theta \leq \pi$$

$u = \cos(\theta)$ – domen:

$$AF_u = B_u(u) \Big|_{w_n=1/N} = \mathbf{w}_0^H \mathbf{v}_u(u) = \frac{1}{N} e^{j(\frac{N-1}{2}) \frac{2\pi d}{\lambda} u} \sum_{n=0}^{N-1} e^{jn \frac{2\pi d}{\lambda} u}; -1 \leq u \leq 1$$

$\psi = \frac{2\pi d}{\lambda} \cos(\theta) = \frac{2\pi d}{\lambda} u$ – domen:

$$AF_\psi = B_\psi(\psi) \Big|_{w_n=1/N} = \mathbf{w}_0^H \mathbf{v}_\psi(\psi) = \frac{1}{N} e^{j(\frac{N-1}{2}) \psi} \sum_{n=0}^{N-1} e^{jn\psi}; -\frac{2\pi d}{\lambda} \leq \psi \leq \frac{2\pi d}{\lambda}$$

Osnove AN – Uniformni linearni AN

Odziv uniformnog antenskog niza sa uniformnim težinskim koeficijentima u domenu vremenska frekvencija-prostorna frekvencija (frequency-wavenumber)

$$w_n = \frac{1}{N}; n = 0, 1, \dots, N-1$$

$$\psi = -k_z d = \frac{2\pi}{\lambda} \cos(\theta) d = \frac{2\pi}{\lambda} u_z d$$

$$T_\psi(\psi) = \frac{1}{N} \sum_{n=0}^{N-1} e^{-j(n-\frac{N-1}{2})\psi} = \frac{1}{N} e^{-j(\frac{N-1}{2})\psi} \sum_{n=0}^{N-1} e^{jn\psi} = \frac{1}{N} e^{-j(\frac{N-1}{2})\psi} \left[\frac{1-e^{jN\psi}}{1-e^{j\psi}} \right]$$

$$\Rightarrow T_\psi(\psi) = \frac{1}{N} \frac{\sin(N\frac{\psi}{2})}{\sin(\frac{\psi}{2})}; -\infty < \psi < \infty$$

Funkcija je periodična sa periodom 2π za neparno N , odnosno 4π za parno N

$$\Rightarrow T(\omega : k_z) = \frac{1}{N} \frac{\sin(Nk_z \frac{d}{2})}{\sin(k_z \frac{d}{2})}; -\infty < \psi < \infty$$

Funkcija je periodična sa $2\pi/d$

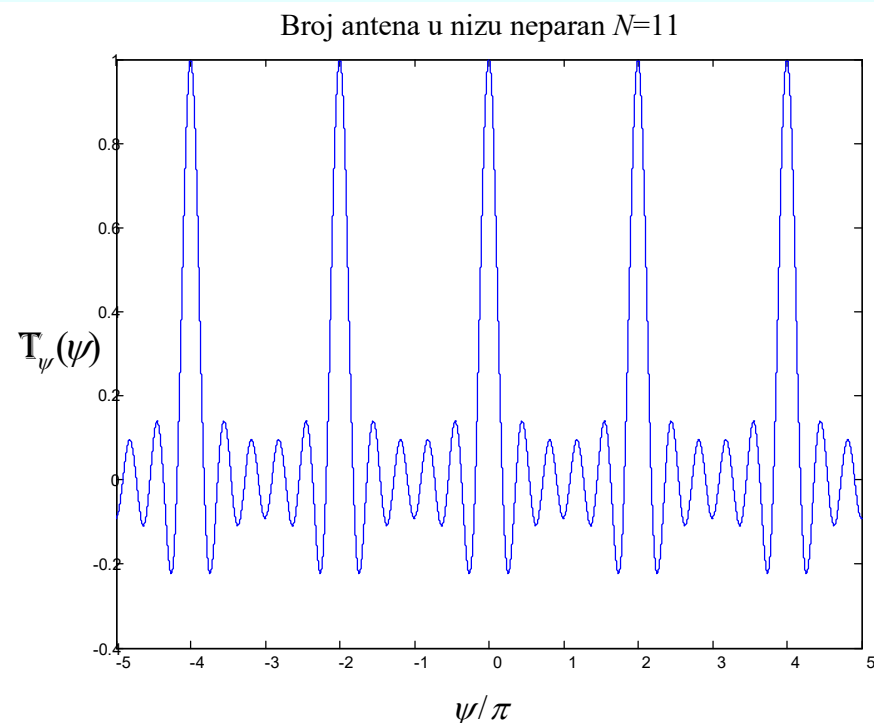
Osnove AN – Uniformni linearni AN

Karakteristike funkcije odziva uniformnog antenskog niza sa uniformnim težinskim koeficijentima u domenu vremenska frekvencija-prostorna frekvencija (frequency-wavenumber)

$$\Rightarrow T_\psi(\psi) = \frac{1}{N} \frac{\sin(N \frac{\psi}{2})}{\sin(\frac{\psi}{2})}; -\infty < \psi < \infty$$

Funkcija je periodična sa periodom 2π za neparno N , odnosno 4π za parno N

Za neparan broj N antena u antenskom nizu AF je periodična funkcija sa periodom 2π



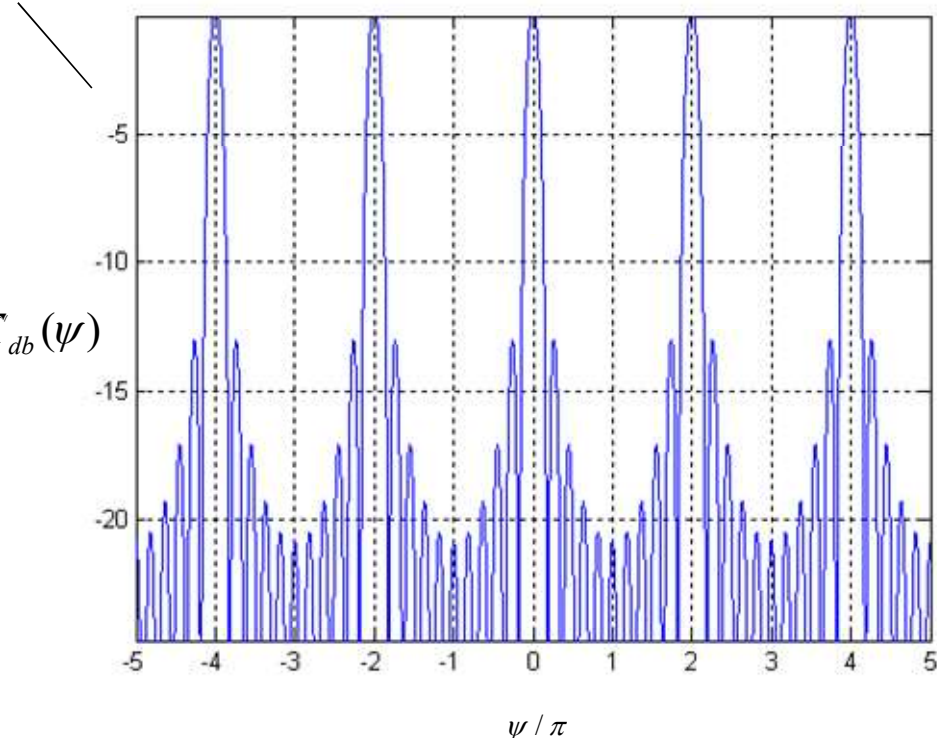
Osnove AN – Uniformni linearne AN

Karakteristike funkcije odziva uniformnog antenskog niza sa uniformnim težinskim koeficijentima u domenu vremenska frekvencija-prostorna frekvencija (frequency-wavenumber)

Za neparan broj N antena u antenskom nizu AF je periodična funkcija sa periodom 2π (prikaz u dB)

$$T_{dB}(\psi) = 10 \log_{10} |T_\psi(\psi)|^2$$

Broj antena neparan $N=11$



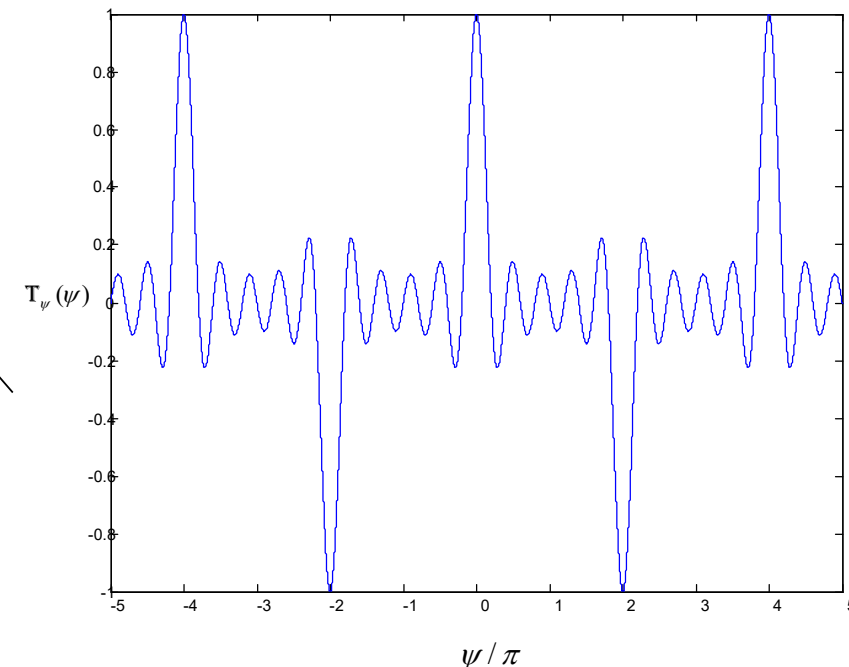
Osnove AN – Uniformni linearni AN

Karakteristike funkcije odziva uniformnog antenskog niza sa uniformnim težinskim koeficijentima u domenu vremenska frekvencija-prostorna frekvencija (frequency-wavenumber)

$$\Rightarrow T_\psi(\psi) = \frac{1}{N} \frac{\sin(N \frac{\psi}{2})}{\sin(\frac{\psi}{2})}; -\infty < \psi < \infty$$

Funkcija je periodična sa periodom 2π za neparno N , odnosno 4π za parno N

Broj antena paran $N=10$



Za paran broj N antena u antenskom nizu AF je periodična funkcija sa periodom 4π

Osnove AN – Uniformni linearni AN

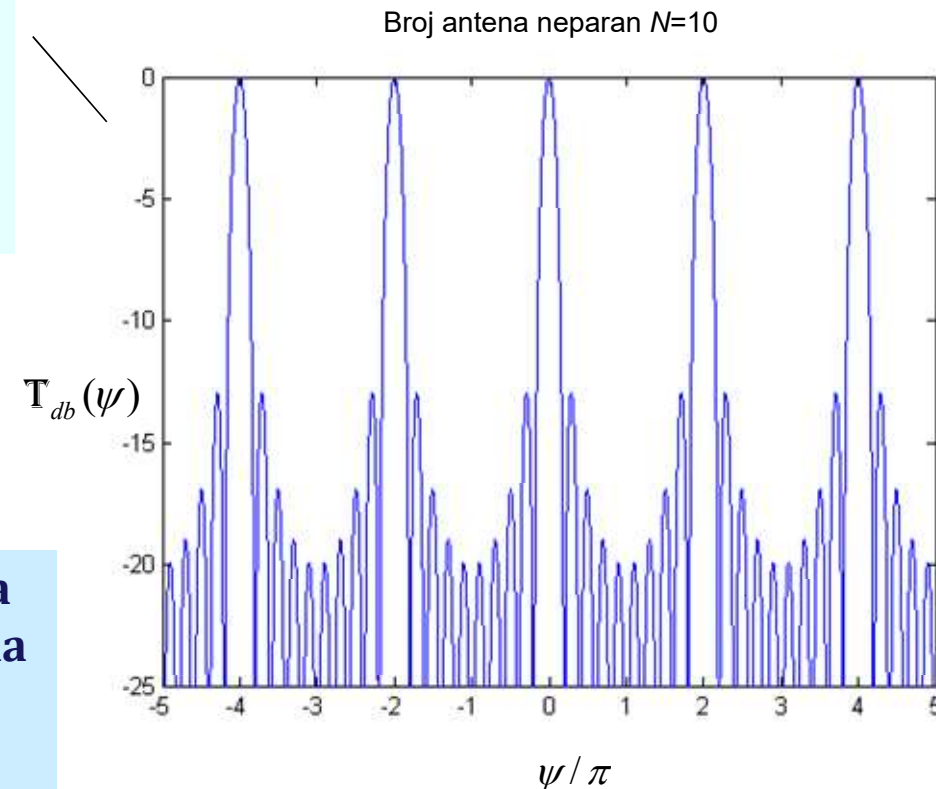
Karakteristike funkcije odziva uniformnog antenskog niza sa uniformnim težinskim koeficijentima u domenu vremenska frekvencija-prostorna frekvencija (frequency-wavenumber)

Za neparan broj N antena u antenskom nizu AF je periodična funkcija sa periodom 4π (prikaz u dB)

$$T_{dB}(\psi) = 10 \log_{10} |T_\psi(\psi)|^2$$

$$\Rightarrow |T_\psi(\psi)|$$

Funkcija u dB je periodična sa 2π za bilo koji broj antena u uniformnom linearном nizu – šta se menja?



Osnove AN – Uniformni linearni AN

Beam patern (array factor) uniformnog linearnog antenskog niza sa uniformnim težinskim koeficijentima u tri domena

θ -domen:

$$AF_{\theta} = B_{\theta}(\theta) \Big|_{w_n=1/N} = \frac{1}{N} \frac{\sin[\frac{N}{2} \frac{2\pi}{\lambda} \cos(\theta)d]}{\sin[\frac{1}{2} \frac{2\pi}{\lambda} \cos(\theta)d]}; 0 \leq \theta \leq \pi$$

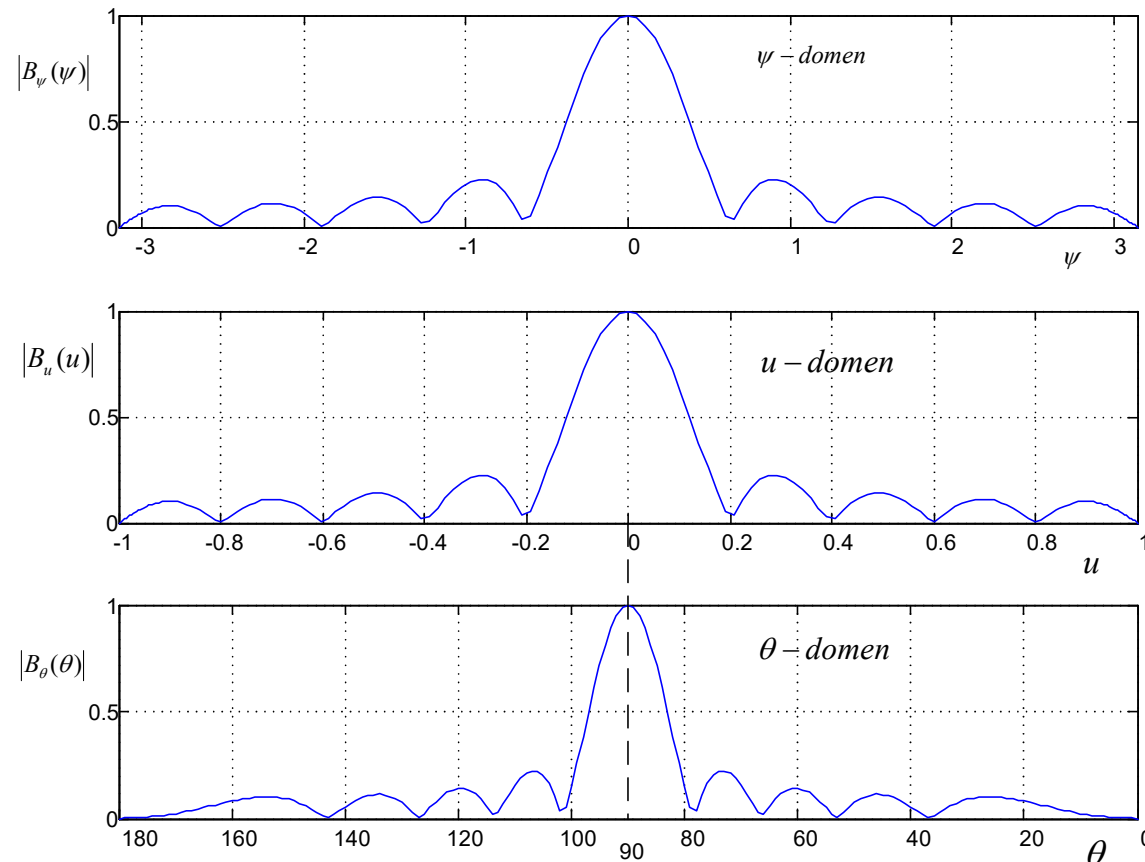
$u = \cos(\theta)$ - domen:

$$AF_u = B_u(u) \Big|_{w_n=1/N} = \frac{1}{N} \frac{\sin[\frac{\pi N d}{\lambda} u]}{\sin[\frac{\pi d}{\lambda} u]}; -1 \leq u \leq 1$$

$$\psi = \frac{2\pi d}{\lambda} \cos(\theta) = \frac{2\pi d}{\lambda} u \text{ - domen: } AF_{\psi} = B_{\psi}(\psi) \Big|_{w_n=1/N} = \frac{1}{N} \frac{\sin[N \frac{\psi}{2}]}{\sin[\frac{\psi}{2}]}; -\frac{2\pi d}{\lambda} \leq \psi \leq \frac{2\pi d}{\lambda}$$

Osnove AN – Uniformni linearni AN

Beam pattern (array factor) uniformnog linearog antenskog niza sa uniformnim težinskim koeficijentima u tri domena



Osnove AN – Uniformni linearni AN

U čemu je razlika između funkcije odziva antenskog niza u domenu frequency-wavenumber i beam pattern-a ?

$$\Rightarrow T_\psi(\psi) = \frac{1}{N} \frac{\sin(N\frac{\psi}{2})}{\sin(\frac{\psi}{2})}, -\infty < \psi < \infty$$

$$AF_\psi = B_\psi(\psi) \Big|_{w_n=1/N} = \frac{1}{N} \frac{\sin[N\frac{\psi}{2}]}{\sin[\frac{\psi}{2}]}; -\frac{2\pi d}{\lambda} \leq \psi \leq \frac{2\pi d}{\lambda}$$

Funkcija beam pattern-a je definisana samo u vidljivoj oblasti (*visible region*)

$$AF_\psi = B_\psi(\psi) \Big|_{w_n=1/N} = \frac{1}{N} \frac{\sin[N\frac{\psi}{2}]}{\sin[\frac{\psi}{2}]}; -\frac{2\pi d}{\lambda} \leq \psi \leq \frac{2\pi d}{\lambda} \quad \psi = -k_z d = \frac{2\pi}{\lambda} \cos(\theta) d = \frac{2\pi}{\lambda} u_z d$$

Ako je rastojanje antena jednako polovini talasne dužine

$$\theta \in [0, \pi] \Rightarrow \psi \in [2\pi \frac{d}{\lambda}, -2\pi \frac{d}{\lambda}]$$

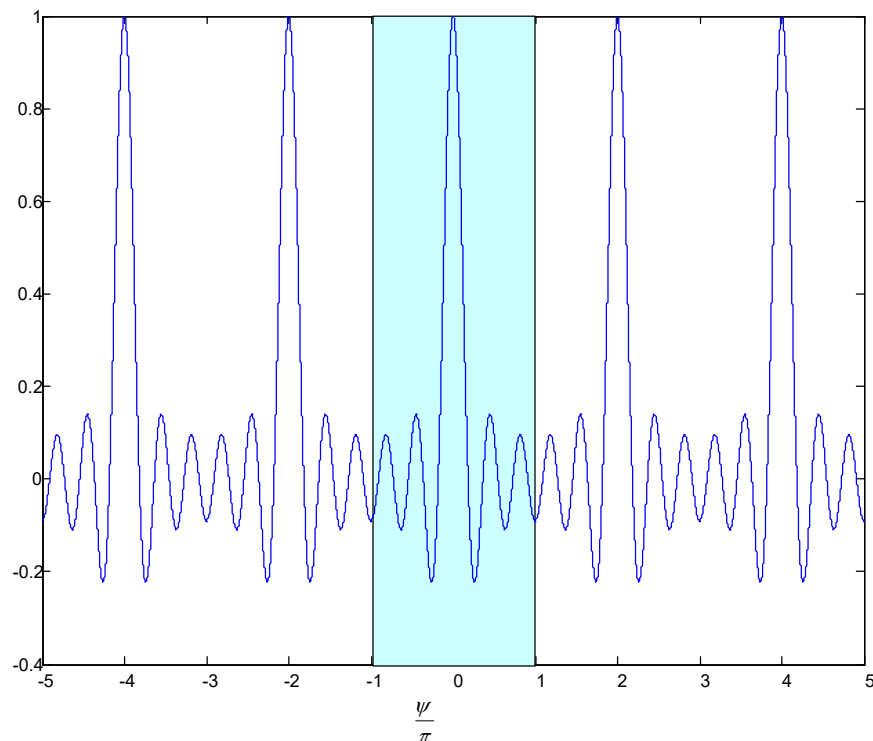
$$\frac{d}{\lambda} = 0.5 \Rightarrow \psi \in [\pi, -\pi]$$

Osnove AN – Uniformni linearne AN

U čemu je razlika između funkcije odziva antenskog niza u domenu frequency-wavenumber i beam pattern-a ?

Vidljivi region linearne antenske niz za $d/\lambda=0.5$

Broj antena u nizu neparan $L=11$



Ako je rastojanje antena jednako polovini talasne dužine

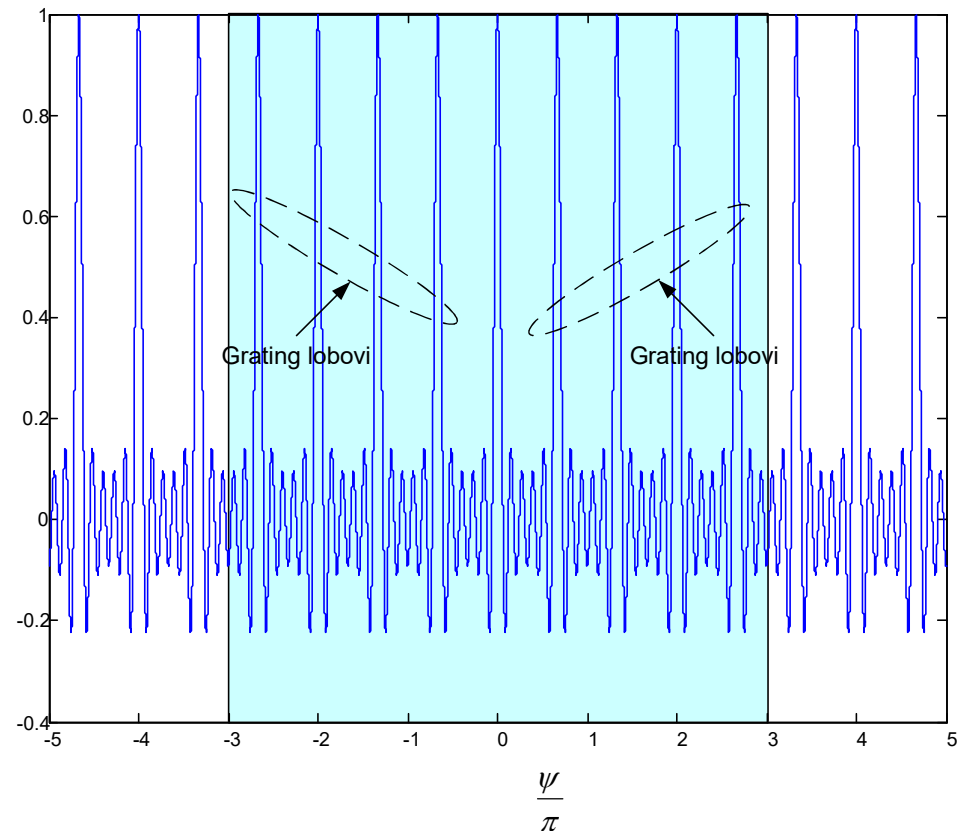
$$\frac{d}{\lambda} = 0.5 \Rightarrow \psi \in [\pi, -\pi]$$

Šta se dešava kada se antene u nizu postave na rastojanje veće od polovine talasne dužine?

Osnove AN – Uniformni linearни AN

Vidljivi region linearog antenskog niza za $d/\lambda=1.5$

Broj antena u nizu neparan $L=11$



Ako je rastojanje antena veće od polovine talasne dužine

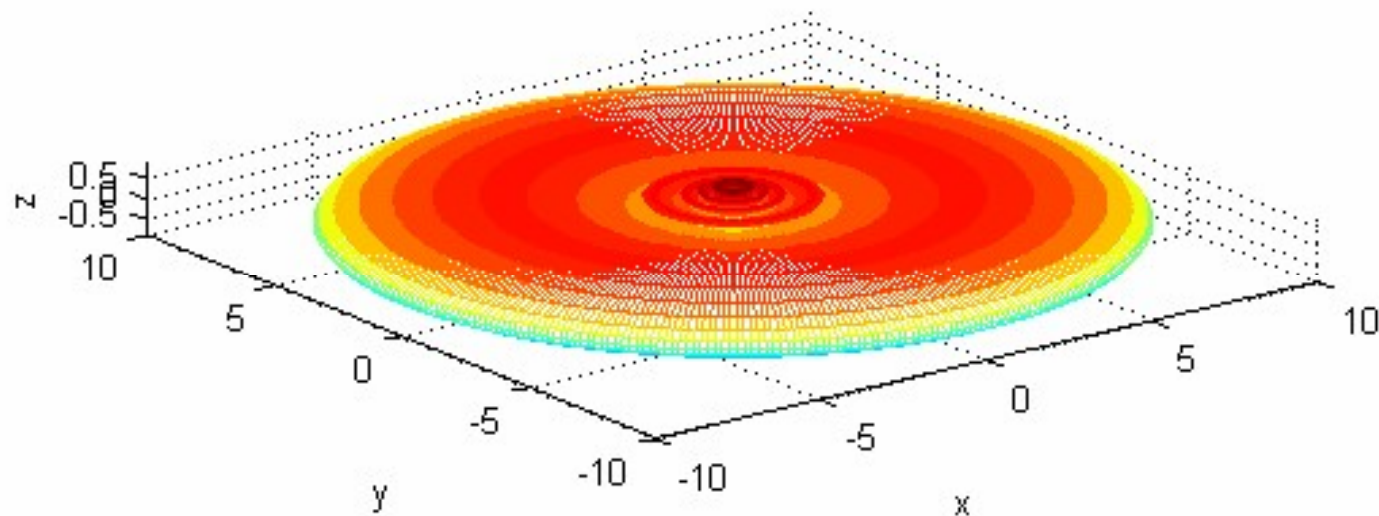
$$\frac{d}{\lambda} = 1.5 \Rightarrow \psi \in [3\pi, -3\pi]$$

$$\theta \in [0, \pi]$$

Javljuju nam se *grating lobovi* – kao ponovljeni spektri (replike na umnošcima učestanosti odabiranja) pri odabiranju u vremenskom domenu ako samo povećamo f-odabiranja za odabrani signal (nije interpolacija)

Osnove AN – Uniformni linearni AN

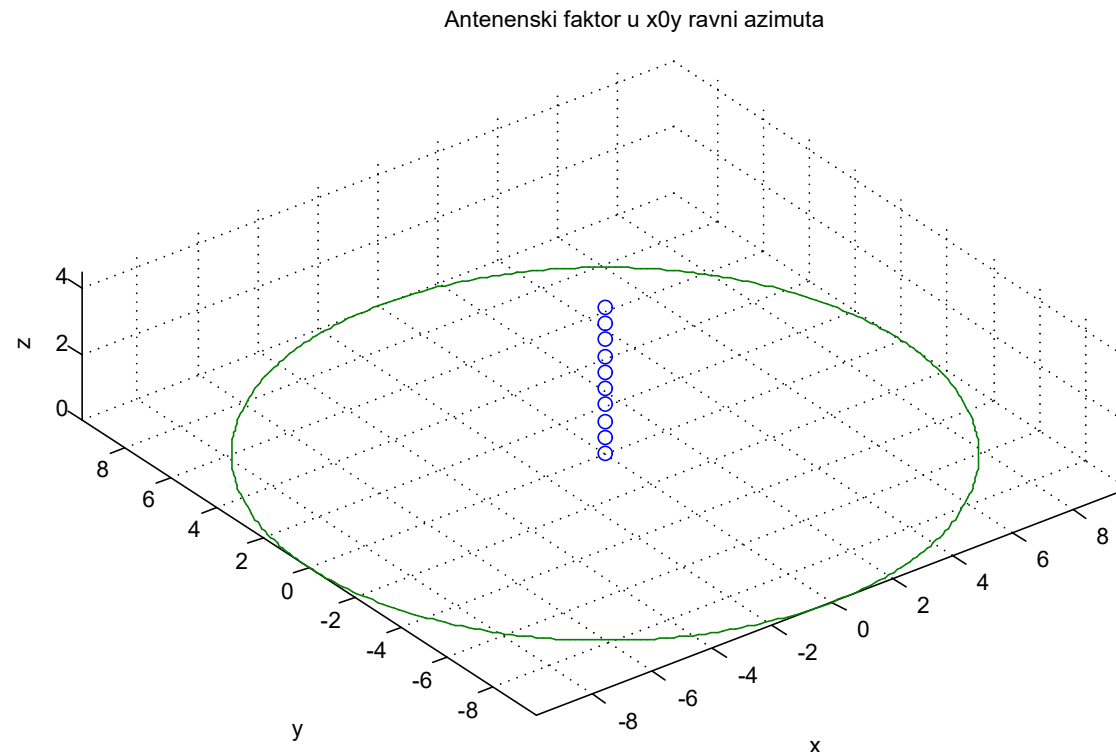
**Primer: Faktor linearног antenskog niza koji se sastoji od N=10
antena - numerički rezultati**



Napomena: Pri proračunu je u svim nadalje datim primerima faktor antenskog je pomnožen sa brojem antena N što odgovara slučaju kada su težinski koeficijenti prostornog filtra jednaki jedinici a ne $1/N$.

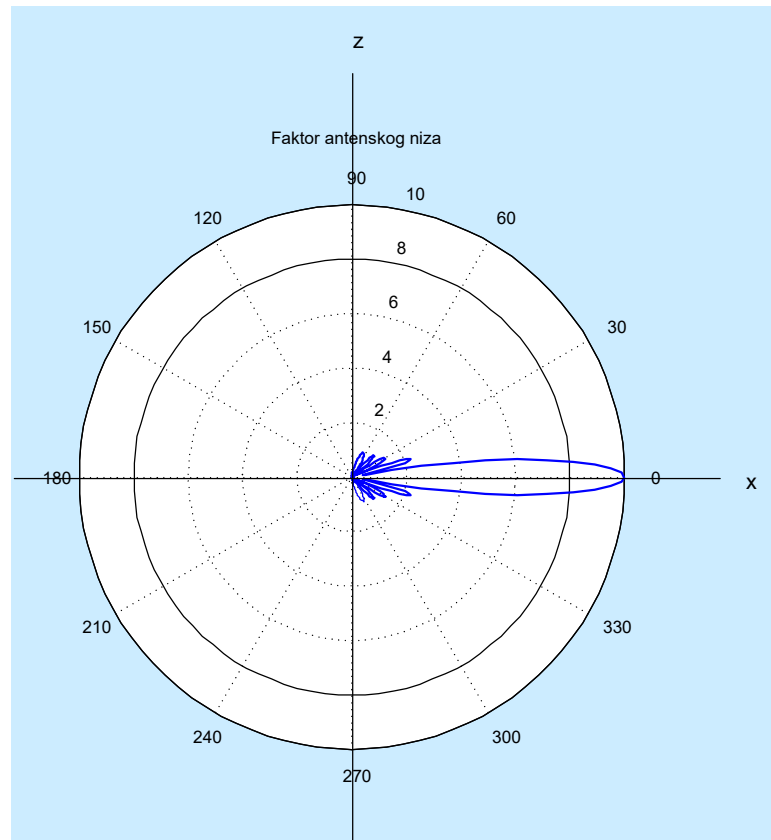
Osnove AN – Uniformni linearni AN

**Primer: Faktor linearног antenskog niza koji se sastoji od N=10
antena - numerički rezultati**



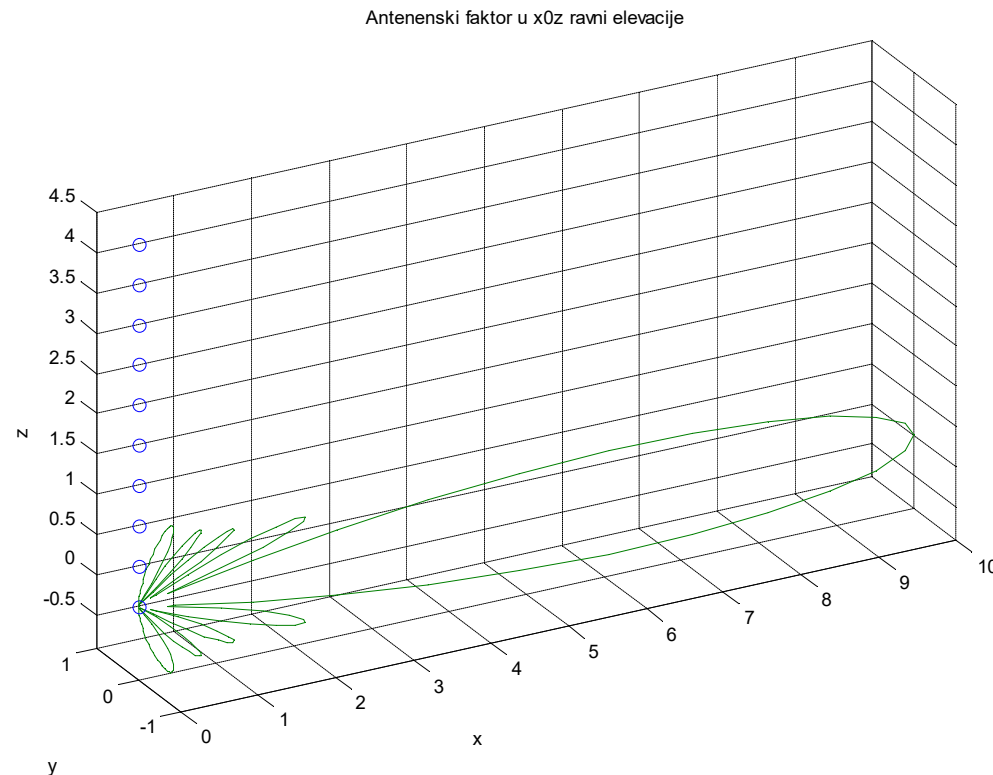
Osnove AN – Uniformni linearni AN

**Primer: Faktor linearног antenskog niza koji se sastoji od N=10
antena - numerički rezultati (Polarni prikaz)**



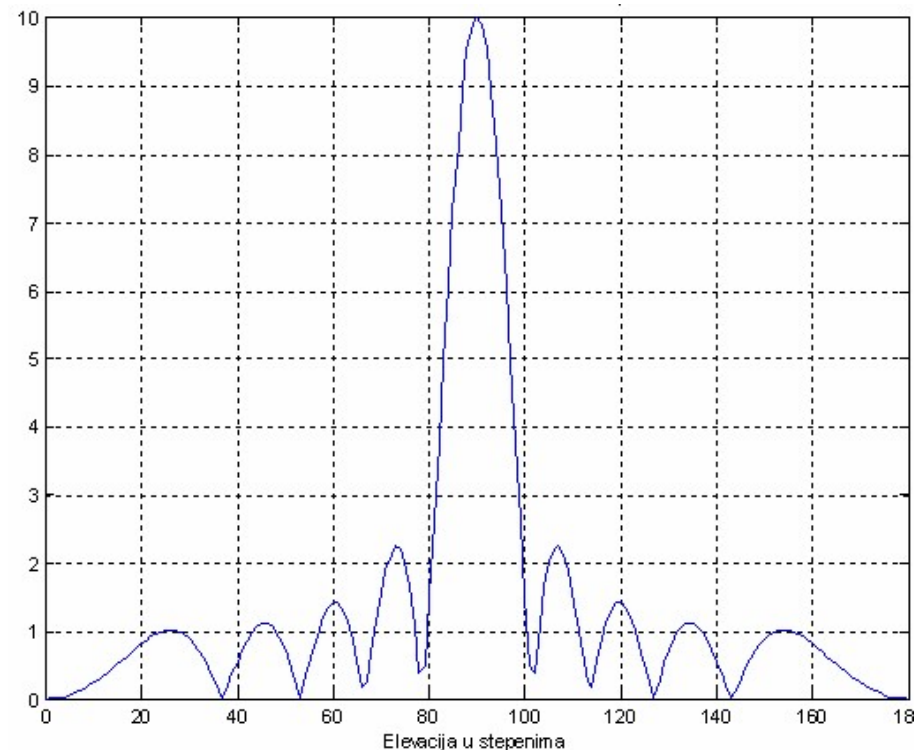
Osnove AN – Uniformni linearni AN

Primer: Faktor linearног antenskog niza koji se sastoji od N=10 antena - numerički rezultati (3D prikaz)



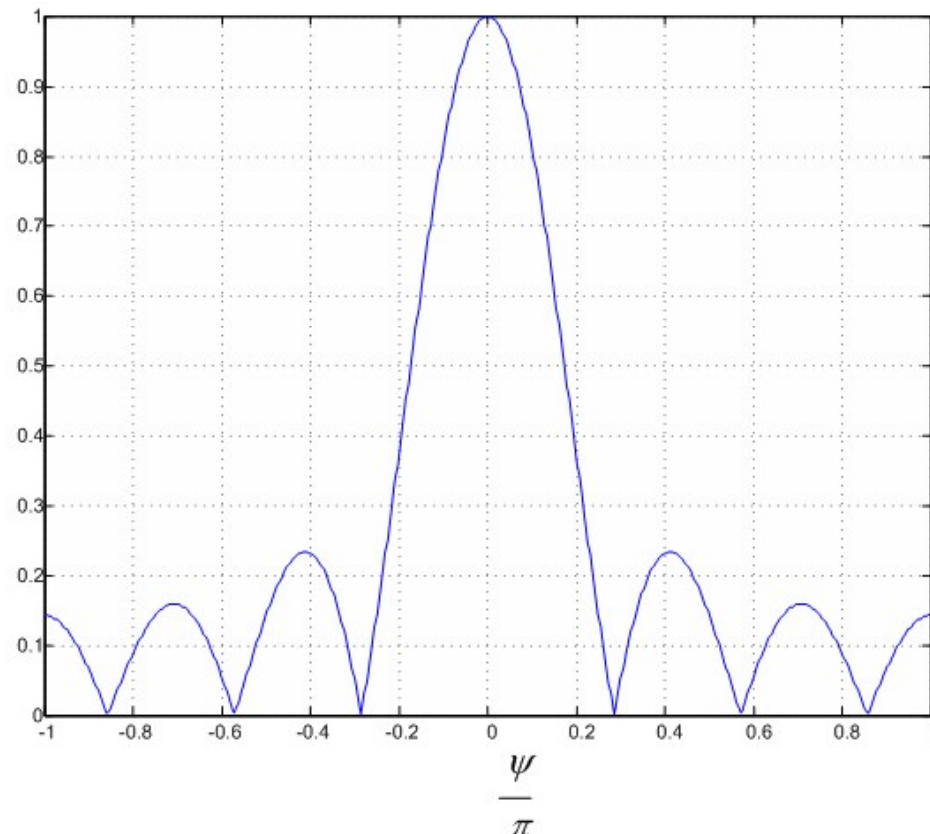
Osnove AN – Uniformni linearni AN

**Primer: Faktor linearног antenskog niza koji se sastoji od N=10
antena - numerički rezultati (Pravougli prikaz)**



Osnove AN – Uniformni linearni AN

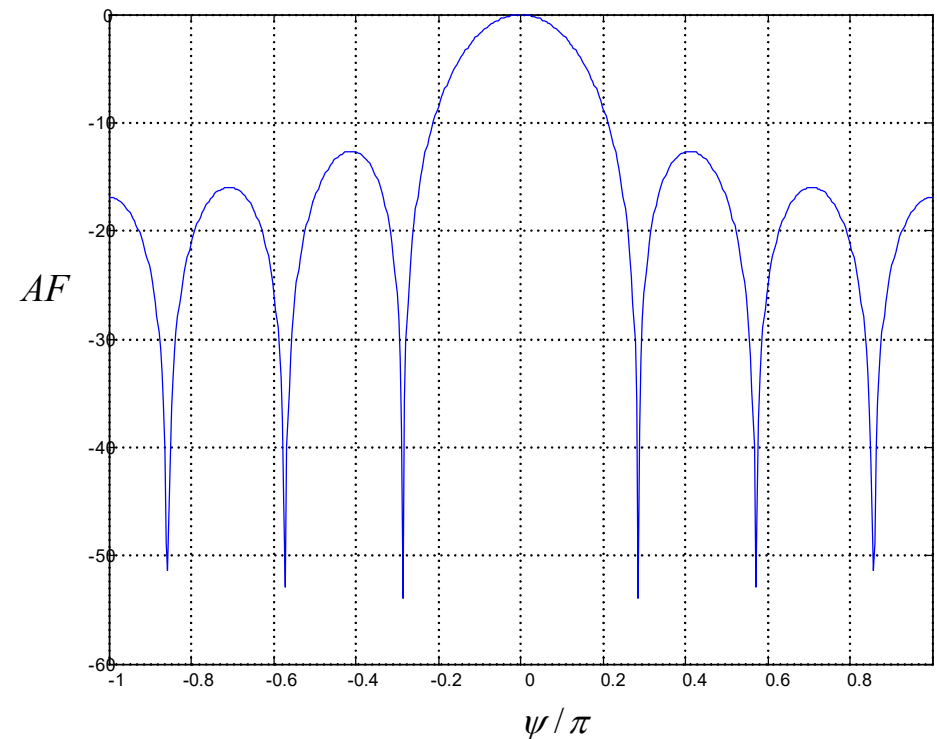
**Primer: Faktor linearne antenske nizove koji se sastoji od N=7
antena u vidljivoj oblasti za $d/\lambda = 0.5$ - Pravougli prikaz**



Osnove AN – Uniformni linearni AN

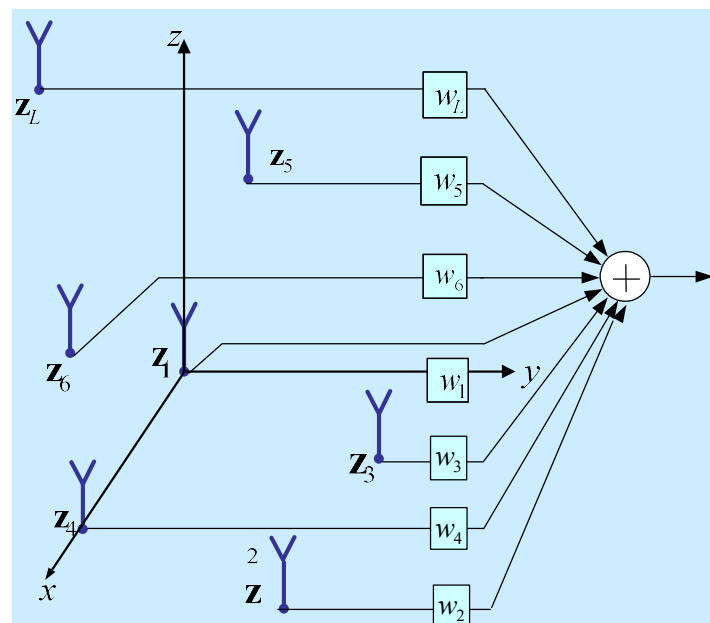
Primer: Faktor linearног antenskog niza koji se sastoji od N=7 antena u vidljivoj oblasti za d/λ = 0.5 - Pravougli prikaz (log razmera)

Faktor linearног antenskog niza od N=7 antena u vidljivoj oblasti za d/λ=0.5 (log razmera)



Osnove AN – Uniformni linearni AN

Faktor linearног antenskog niza kao Fourier-ova transformacija
koeficijenata prostornog filtra



$$\mathbf{w} = [w_0 \quad w_1 \quad \dots \quad w_{N-1}]^T = [1/N \quad 1/N \quad \dots \quad 1/N]^T$$

AF predstavlja diskretnu
Fourier-ovu transformaciju
(DFT) tezinskih koeficijenata
prostornog filtra

$$AF_\psi = B_\psi(\psi) = \sum_{n=0}^{N-1} w_n \exp(jn\psi)$$

Osnove AN – Uniformni linearni AN

Faktor linearnog antenskog niza kao Fourier-ova transformacija koeficijenata prostornog filtra

Prepostavimo da se AF računa u
 M diskternih vrednosti
prostorne frekvencije ψ

$$\theta \in [0, \pi] \Rightarrow \psi \in [2\pi \frac{d}{\lambda}, -2\pi \frac{d}{\lambda}] \quad \mathbf{w} = [w_1 \quad w_2 \quad \dots \quad w_N]^T = [1 \quad 1 \quad \dots \quad 1]^T$$

$$AF(m) = \sum_{n=0}^{N-1} w_n \exp(jn \frac{4\pi d}{M\lambda} m) \quad \text{=< Ovo je DFT po definiciji}$$

$$\frac{d}{\lambda} = 0.5 \quad \longrightarrow \quad AF(m) = \sum_{n=0}^{N-1} w_n \exp(jn \frac{2\pi}{M} m)$$

Osnove AN – Uniformni linearni AN

Faktor linearnog antenskog niza kao Fourier-ova transformacija koeficijenata prostornog filtra

$$AF = \mathbf{w}^T \mathbf{F} \quad \text{— Matrični oblik DFT}$$
$$\mathbf{w} \in C^{1 \times N}; N < M$$

$$\mathbf{F} = \begin{bmatrix} 1 & 1 & \dots & 1 \\ \exp(j\frac{2\pi}{M}) & \exp(j\frac{2\pi}{M}2) & \dots & \cdot \\ \cdot & \cdot & \ddots & \cdot \\ \exp(j(N-1)\frac{2\pi}{M}) & \exp(j(N-1)\frac{2\pi}{M}2) & \ddots & \exp(j(N-1)2\pi) \end{bmatrix} \quad \mathbf{F} \in C^{N \times M}; N < M$$

Kako može da se izračuna Diskretna Fourier-ova transformacija (DFT) za AF korišćenjem algoritma brze Fourier-ove Transformacije – FFT ?

Osnove AN – Uniformni linearni AN

Faktor linearnog antenskog niza kao Fourier-ova transformacija koeficijenata prostornog filtra

Proračun DFT primenom FFT

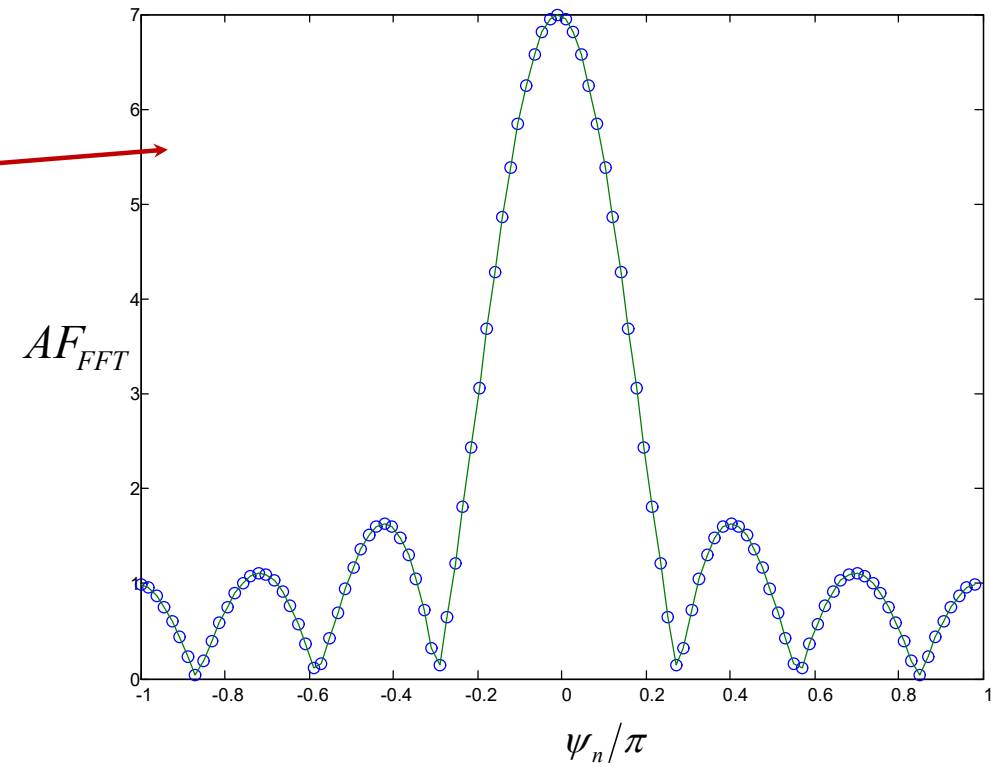
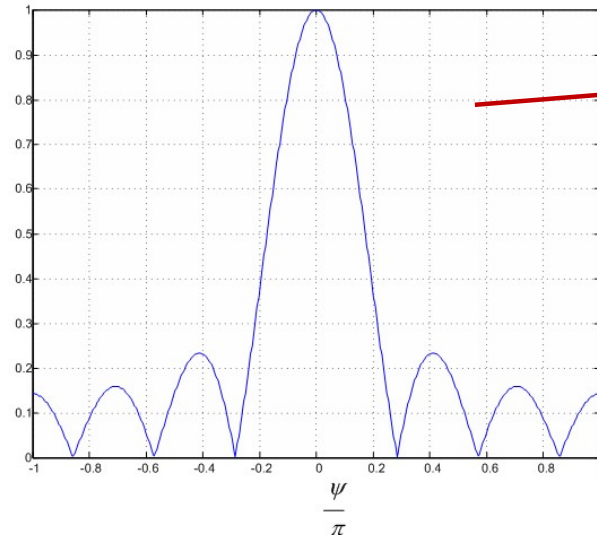
$$\mathbf{w} = [w_0 \quad w_1 \quad \dots \quad w_{N-1} \quad 0 \quad \dots \quad 0]^T \in C^{Mx1}$$
$$\mathbf{F} = \begin{bmatrix} 1 & 1 & \cdot & 1 \\ \exp(j\frac{2\pi}{M}) & \exp(j\frac{2\pi}{M}2) & \cdot & \cdot \\ \cdot & \cdot & \cdot & \cdot \\ \exp(j(M-1)\frac{2\pi}{M}) & \exp(j(M-1)\frac{2\pi}{M}2) & \cdot & \exp(j(M-1)2\pi) \end{bmatrix} \quad \mathbf{F} \in C^{MxM};$$

$$AF = \mathbf{w}^T \mathbf{F} \hat{=} fft(\mathbf{w})$$

Osnove AN – Uniformni linearni AN

**Primer: Faktor linearne antenske nizove koji se sastoji od N=7
antena u vidljivoj oblasti za d/λ = 0.5 – Putem FFT algoritma**

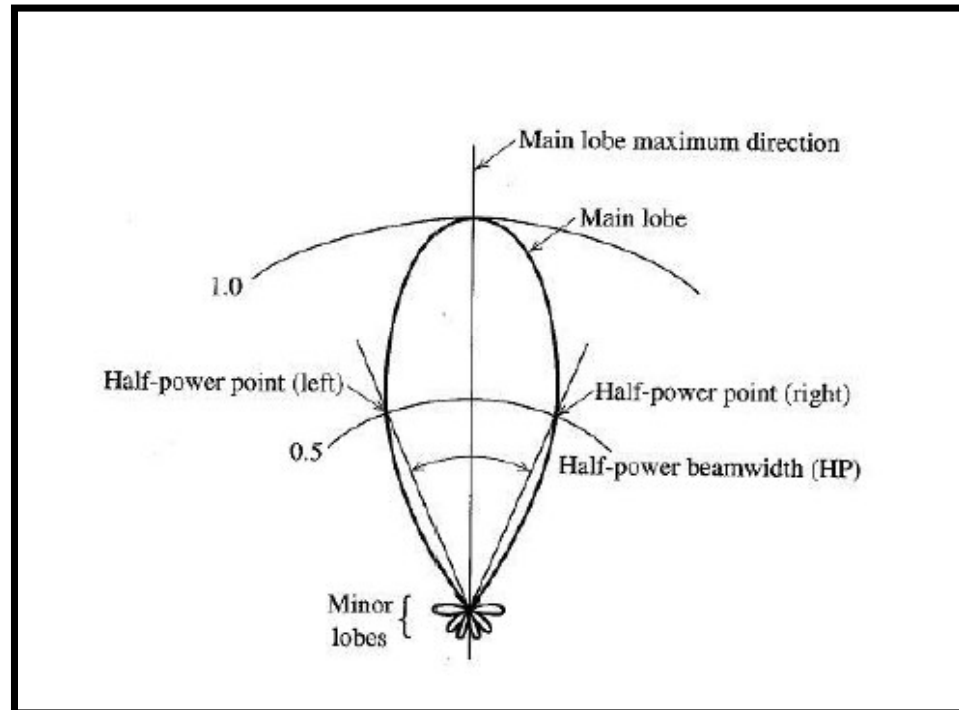
Faktor linearne antenske nizove od 7 antena dobijen
pomoću FFT algoritma



Osnove AN – Parametri dijagrama zračenja

❖ Parametri dijagrama zračenja:

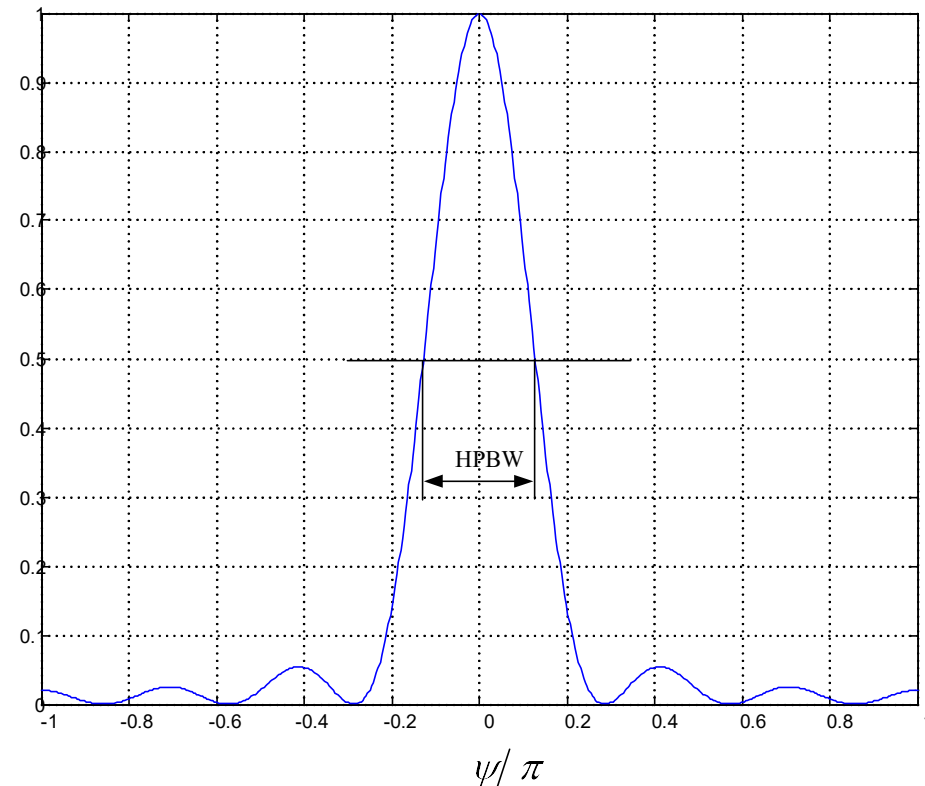
- Širina dijagrama zračenja na -3dB (tzv. *Half Power Beamwidth, HPBW*)
- Udaljenost prve nule
- Udaljenost prvog bočnog loba (*sidelobe*)
- Visina prvog bočnog loba
- Pozicija ostalih nula
- Odnos vrednosti bočnih lobova
- Lažni (*grating*) lobovi



Osnove AN – Uniformni linearni AN

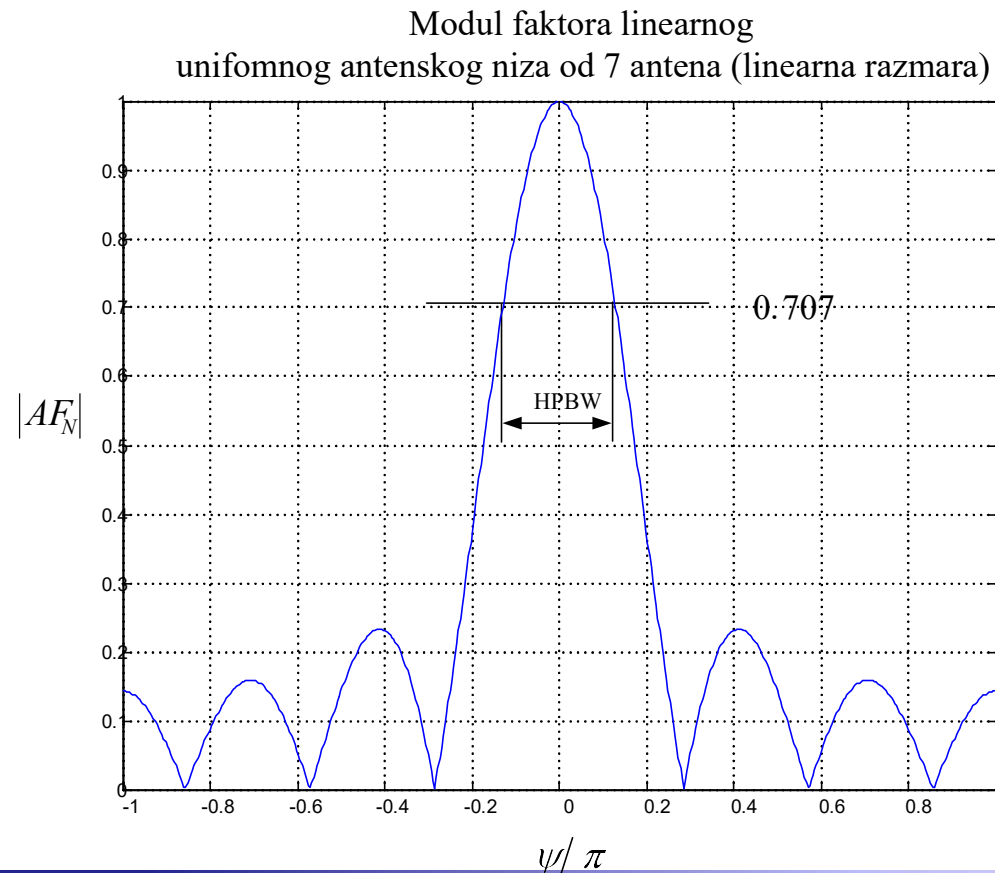
Primer: Širina dijagrama na -3 dB (HPBW) za linearni antenski niz koji se sastoji od N=7 antena u vidljivoj oblasti za $d/\lambda = 0.5$

Kvadrat modula faktora linearne uniformne
antenske niza od 7 antena (linearna razmara)



Osnove AN – Uniformni linearni AN

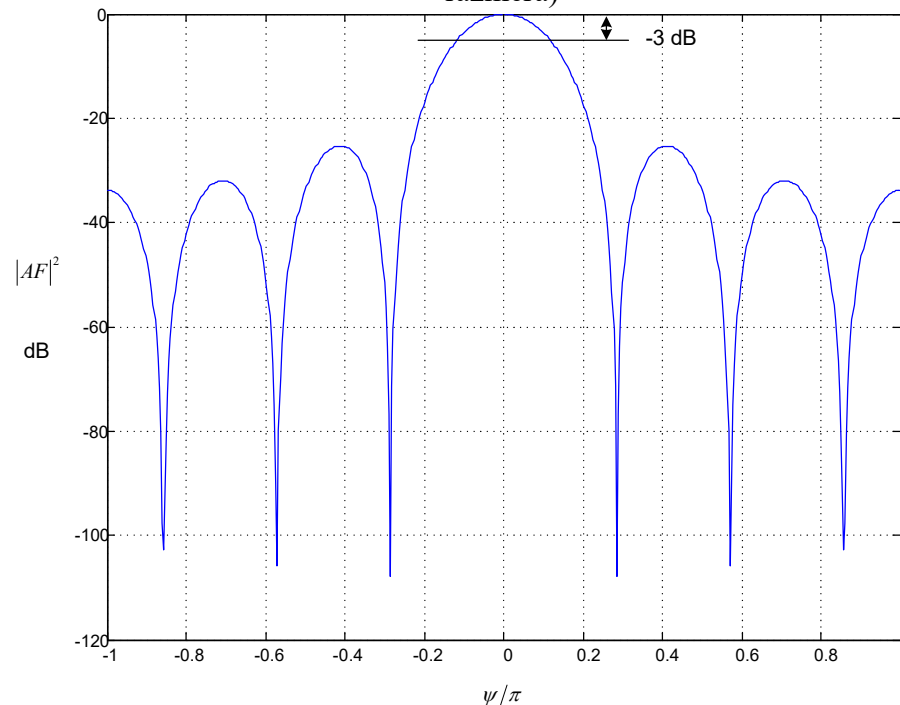
**Primer: Širina dijagrama na -3 dB (HPBW) za moduo linearnog
antenskog niza sa N=7 antena u vidljivoj oblasti za $d/\lambda = 0.5$**



Osnove AN – Uniformni linearni AN

Primer: HPBW za kvadrat modula linearne AN sa N=7 antena u vidljivoj oblasti za $d/\lambda = 0.5$ (log razmera)

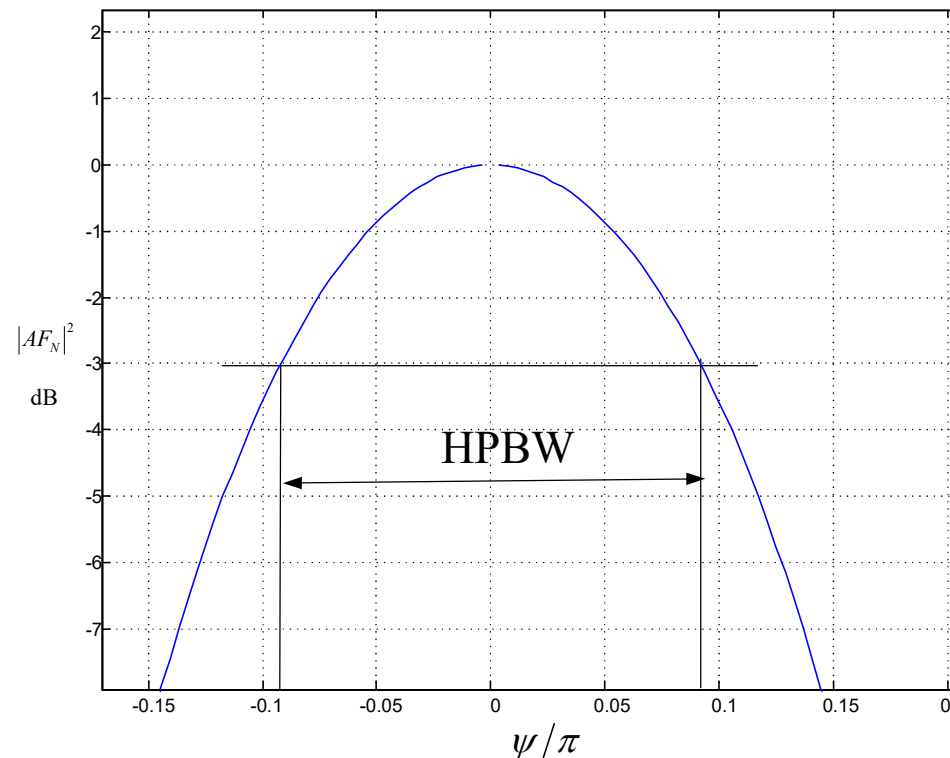
Kvadrat modula antenskog faktora linearne
uniformne antenske mreže od 7 antena (logaritmska
razmara)



Osnove AN – Uniformni linearni AN

Primer: HPBW za kvadrat modula linearne AN sa N=7 antena u vidljivoj oblasti za $d/\lambda = 0.5$ (linearna razmra)

Kvadrat modula faktora linearnog uniformnog antenskog niza od 7 antena (linearna razmra)



Osnove AN – Uniformni linearni AN

Analitičko rešenje za HPBW za linearni antenski niz

$$B_\psi(\psi) = \frac{1}{N} \frac{\sin\left(\frac{N}{2}\psi_h\right)}{\sin\left(\frac{\psi_h}{2}\right)} = 0.707 \Rightarrow \frac{1}{N} \frac{\sin\left[\frac{N}{2} \frac{2\pi}{\lambda} \cos(\theta_h)d\right]}{\sin\left[\frac{1}{2} \frac{2\pi}{\lambda} \cos(\theta_h)d\right]} = \frac{1}{N} \frac{\sin\left[\frac{N\pi}{\lambda} \cos(\theta_h)d\right]}{\sin\left[\frac{\pi}{\lambda} \cos(\theta_h)d\right]} = 0.707$$

$$N \geq 10 \quad \frac{\pi N d}{\lambda} \cos(\theta_h) = 1.4$$

Dobro aproksimativno rešenje
gornje jednačine za veliku
vrednost N

$$\Rightarrow \cos(\theta_h) = 1.4 \frac{\lambda}{\pi N d}$$

$$\Rightarrow \theta_h = \cos^{-1}\left[1.4 \frac{\lambda}{\pi N d}\right] \Rightarrow HPWB = 2|\theta_m - \theta_h|$$

$$\theta_m$$

Ugao maksimuma
dijagrama zračenja

Osnove AN – Uniformni linearni AN

Broadside niz

❖ *Broadside niz:*

- *Broadside smer* – smer ortogonalan na osu antenskog niza
- Niz je *broadside* ako je njegov maksimum zračenja u *broadside* smeru

$$\psi = kd \cos(\theta_b) = 0 \Rightarrow \theta_b = 90^0$$

Za broadside smer $\psi = 0$

Osnove AN – Uniformni linearni AN

Nule dijagrama usmerenosti

$$B_\psi(\psi) = \frac{1}{L} \frac{\sin\left(\frac{N}{2}\psi_n\right)}{\sin\left(\frac{\psi_n}{2}\right)} = 0 \Rightarrow \sin\left(\frac{N}{2}\psi_n\right) = 0 \Rightarrow \frac{N}{2}\psi_n = \pm n\pi$$

$$\Rightarrow \frac{N}{2} \frac{2\pi}{\lambda} \cos(\theta_n)d = \pm n\pi \Rightarrow \cos(\theta_n) = \frac{\pm n\lambda}{Nd}$$

$$\Rightarrow \theta_n = \cos^{-1}\left[\frac{n\lambda}{Nd}\right]; n = 1, 2, \dots (n \neq N, 2N, 3N, \dots)$$

Prva nula:

$$\Rightarrow \theta_n = \cos^{-1}\left[\frac{\lambda}{Nd}\right]$$

Osnove AN – Uniformni linearni AN

Širina dijagrama između prvih nula

Prva nula: $\Rightarrow \theta_n = \cos^{-1}\left[\frac{\lambda}{Nd}\right]$

*Reyleigh-jeva rezolucionna granica
(Reyleigh resolution limit)*

$$BW_{NN} = 2|\theta_m - \theta_n| = \cos^{-1}\left[\frac{\lambda}{Nd}\right]$$

$$\theta_m = 0 \longrightarrow BW_{NN} = \cos^{-1}\left[\frac{\lambda}{Nd}\right]$$

Osnove AN – Uniformni linearni AN

Rezoluciona svojstva linearog antenskog niza

- ❖ Povećanjem broja antena N u antenskom nizu i povećanjem odnosa d/λ , odnosno rastojanja između antena za istu vrednost λ , povećavaju se rezoluciona svojstva antenskog niza (smanjuje *Reyleigh-ova rezoluciona granica*).

$$B_\psi(\psi) = \frac{1}{N} \frac{\sin\left(\frac{N}{2}\psi\right)}{\sin\left(\frac{\psi}{2}\right)}$$

- ❖ Pozicija maksimuma bočnih lobova određena je aproksimativno kada je brojilac izraza za antenski faktor jednak jedinici tj. kada je:

$$\sin\left(\frac{N}{2}\psi\right) = \sin\left[\frac{\pi Nd}{\lambda} \cos(\theta)\right] = 1 \Rightarrow \frac{\pi Nd}{\lambda} \cos(\theta) = \pm(2n+1) \frac{\pi}{2}; n = 1, 2, \dots$$

$$\cos(\theta) = \pm \frac{(2n+1)}{N} \frac{\lambda}{2d}; n = 1, 2, \dots \Rightarrow \theta = \cos^{-1}\left[\frac{(2n+1)}{N} \frac{\lambda}{2d}\right]$$

Osnove AN – Uniformni linearne AN

Rezolucioni svojstva linearne antenske nizove

- ❖ Pozicija prvog loba nalazi se na prostornoj frekvenciji:

$$\psi = \pm \frac{3\pi}{N}$$

- ❖ Nivo prvih bočnih lobova je:

$$B_\psi\left(\frac{\pm 3\pi}{N}\right) = \frac{1}{N} \frac{\sin\left(\frac{N \pm 3\pi}{2} \frac{1}{N}\right)}{\sin\left(\frac{\pm 3\pi}{N} \frac{1}{2}\right)} = \frac{1}{N} \frac{\sin\left(\frac{\pm 3\pi}{2}\right)}{\sin\left(\frac{\pm 3\pi}{N} \frac{1}{2}\right)} \approx \frac{1}{N \sin\left(\frac{3\pi}{2N}\right)}$$

- ❖ U slučaju velikog broja antena imamo da je:

$$B_\psi\left(\frac{\pm 3\pi}{N}\right) \approx \frac{2}{3\pi}; \dots -13dB$$

Osnove AN – Uniformni linearni AN

Rezolucioni svojstva linearne antenske nizove

- ❖ Bočni lobovi se pojavljuju na prostornoj frekvenciji:

$$\psi_s = \frac{2\pi}{\lambda} \cos(\theta)d = \pm(2n+1) \frac{\pi}{N}; n = 1, 2, \dots$$

- ❖ Nivo bočnih lobova opada sa faktorom:

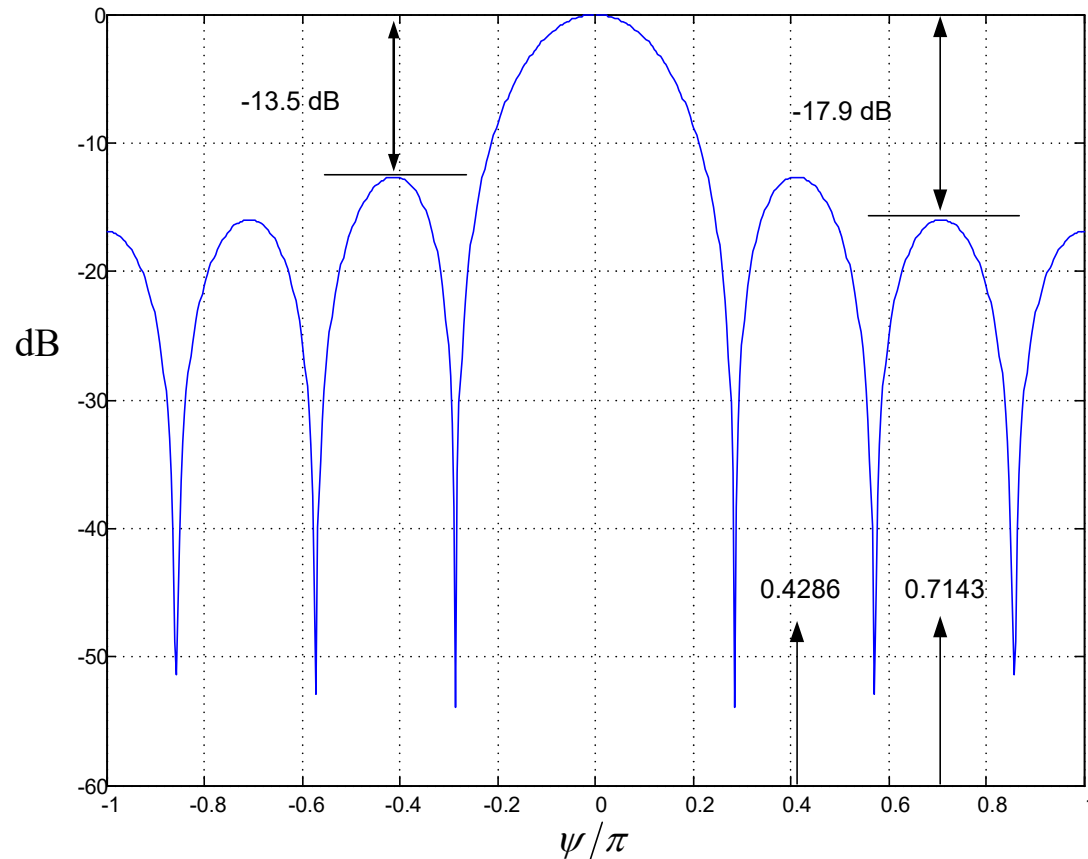
$$\frac{1}{(2n+1)}$$

- ❖ Nivo drugog bočnog loba je -17.9 dB.

Osnove AN – Uniformni linearni AN

Rezoluciona svojstva linearnega antenskega niza

Bočni lobovi uniformnog linearnega antenskega niza od $L=7$ antena



Osnove AN – Uniformni linearni AN

Grating lobovi

- ❖ Lažni lobovi unutar vidljive oblasti čiji je nivo jednak nivou glavnog loba

$$AF_{\psi} = B_{\psi}(\psi) = \frac{1}{N} \frac{\sin(\frac{N}{2}\psi)}{\sin(\frac{\psi}{2})}$$

- ❖ Pojavljuju se kada su absolutne vrednosti brojčića i imenici jednaki jedinici što se dešava kada je:

$$\frac{\psi}{2} = n\pi \quad \psi = 2n\pi \quad u = \cos(\theta) = n \frac{\lambda}{d}; n = 1, 2, \dots$$

- ❖ Uslov za vidljivu oblast je:

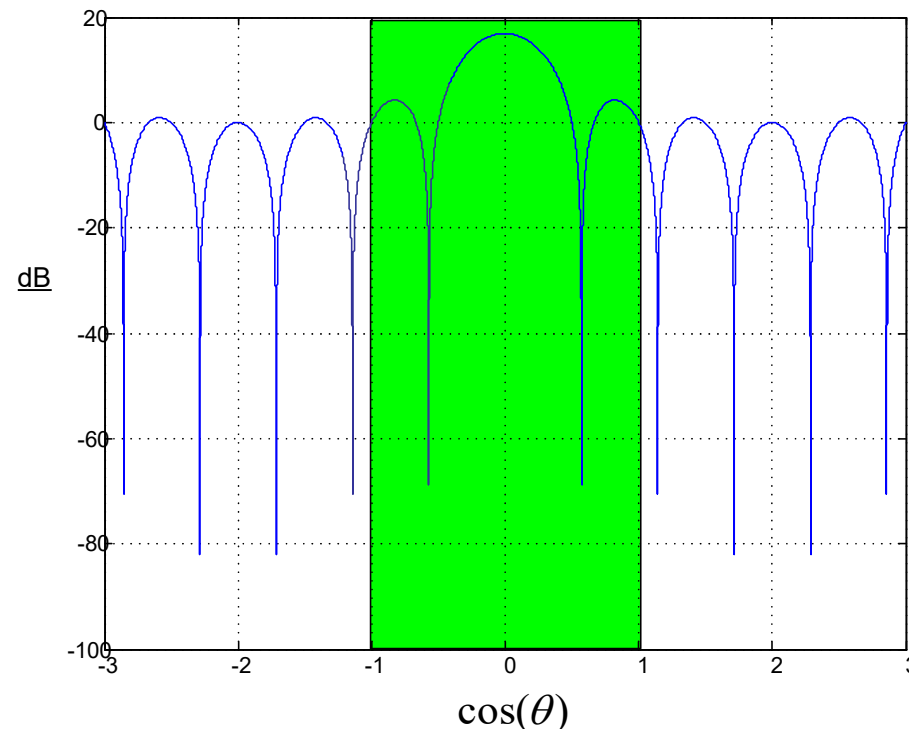
$$\theta \in (0, \pi) \Rightarrow u = \cos(\theta) \in (1, -1);$$

Osnove AN – Uniformni linearne AN

Grating lobovi

- ❖ Uslov za vidljivu oblast je: $\theta \in (0, \pi) \Rightarrow u = \cos(\theta) \in (1, -1)$;

L=7 antena, d/lambda=1/4, nema grating lobova u vidljivom regionu

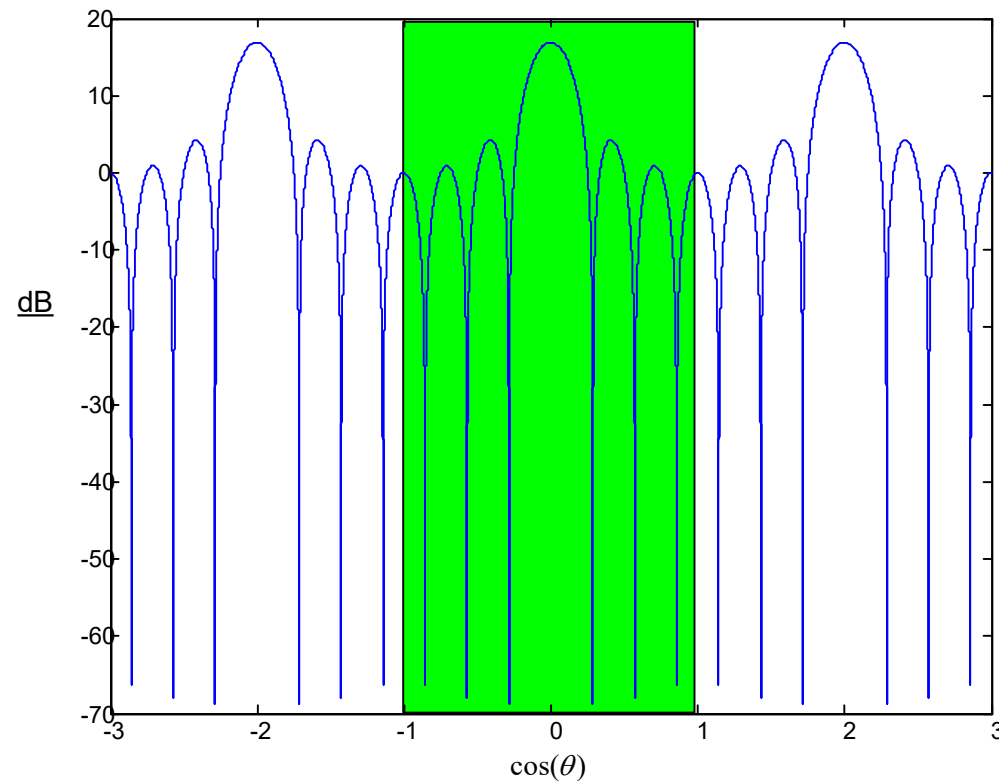


Osnove AN – Uniformni linearni AN

Grating lobovi

- ❖ Uslov za vidljivu oblast je: $\theta \in (0, \pi) \Rightarrow u = \cos(\theta) \in (1, -1)$;

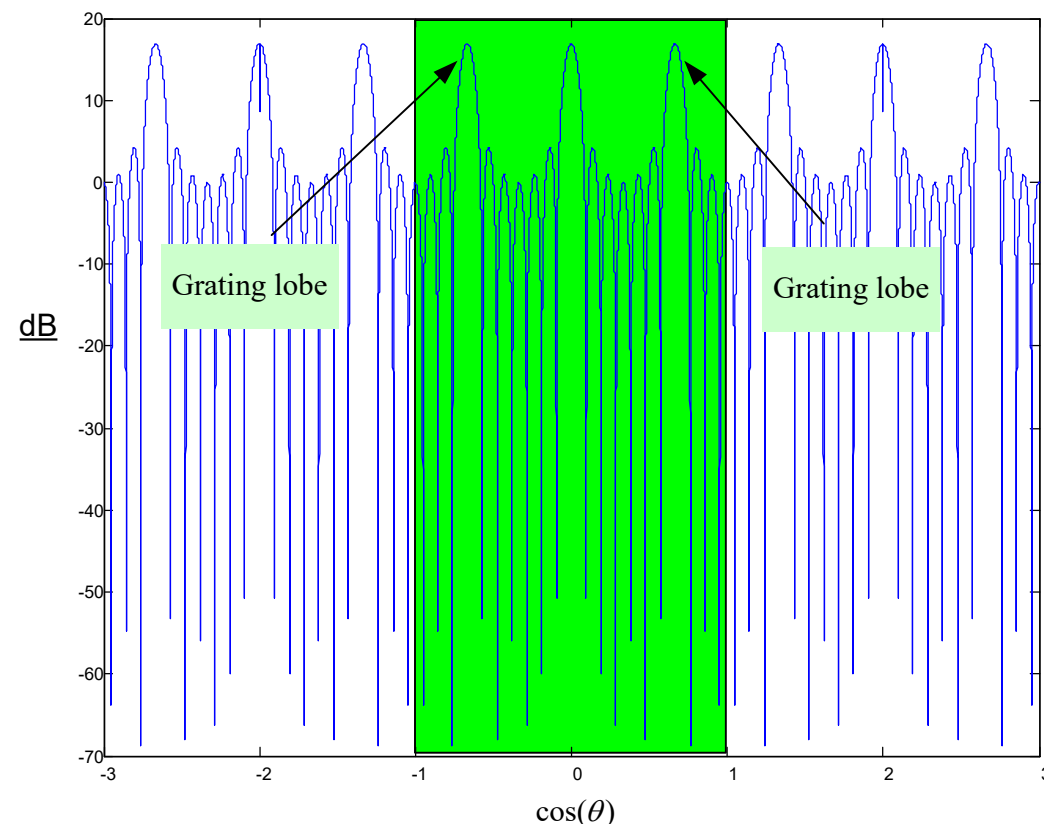
L=7 antena, d/lambda=0.5, nema grating lobova u vidljivom regionu



Osnove AN – Uniformni linearni AN

Grating lobovi

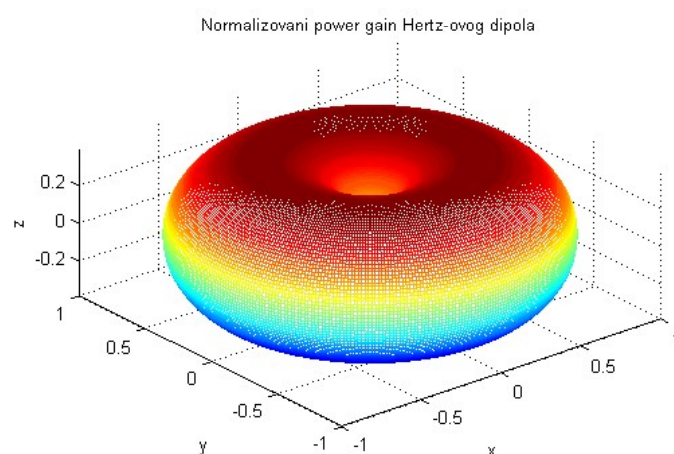
L=7 antena, d/lambda=1.5: Postoje grating lobovi u vidljivom regionu



Osnove AN – Uniformni linearni AN

Numerički rezultati za *Array Pattern* linearnog antenskog niza

$$AP = \sum_{n=0}^{N-1} g_n(\phi, \theta) \exp(-j\mathbf{k}^T \mathbf{p}_n)$$



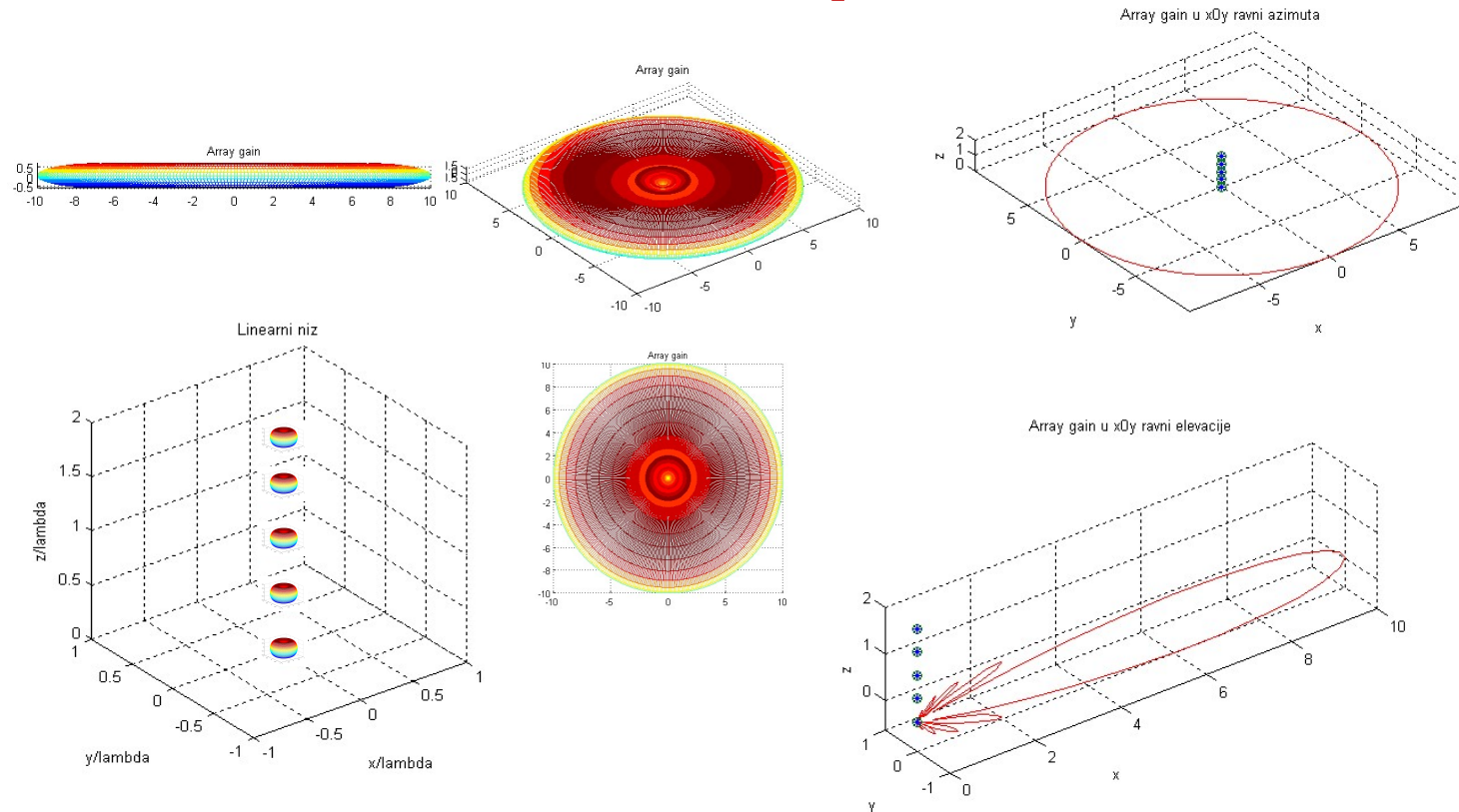
Prepostavimo da se niz sastoji od
antena tipa *Hertz*-ovog dipola

/

$$g(\theta) = \sin(\theta);$$
$$\theta \in (0, \pi)$$
$$\phi \in (0, 2\pi)$$

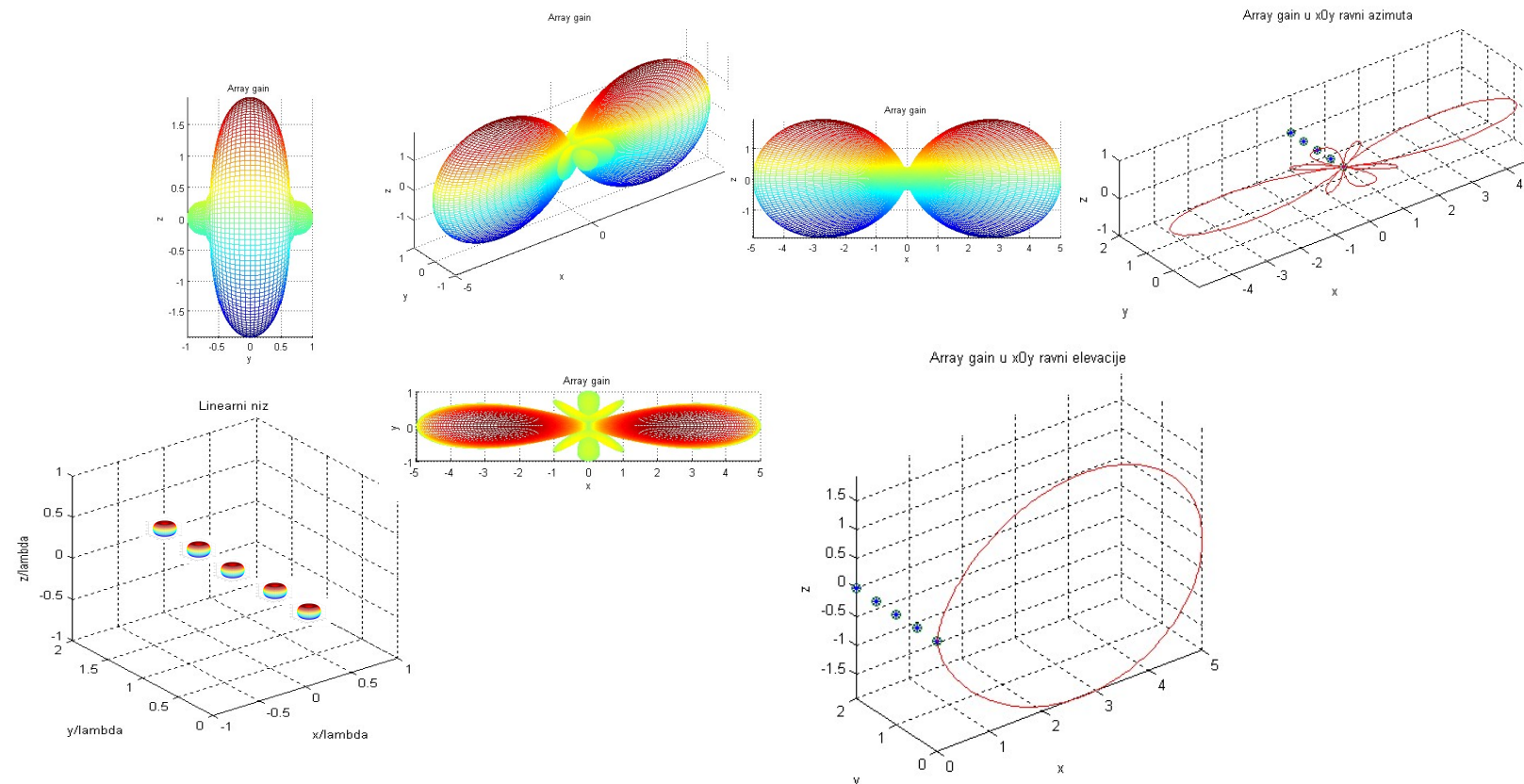
Osnove AN – Uniformni linearni AN

Numerički rezultati za *Array Pattern* linearnog antenskog niza sa $N=5$ Hertz-ovih dipola duž z-ose



Osnove AN – Uniformni linearni AN

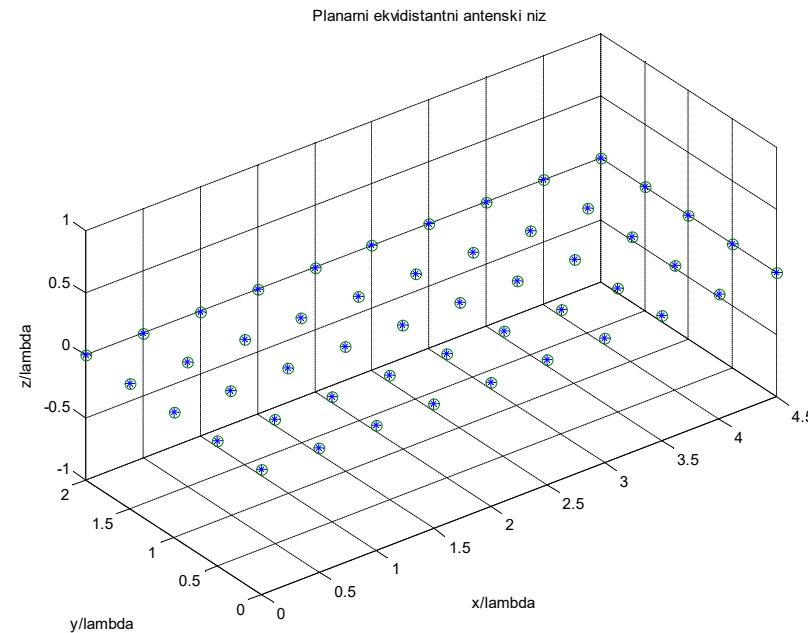
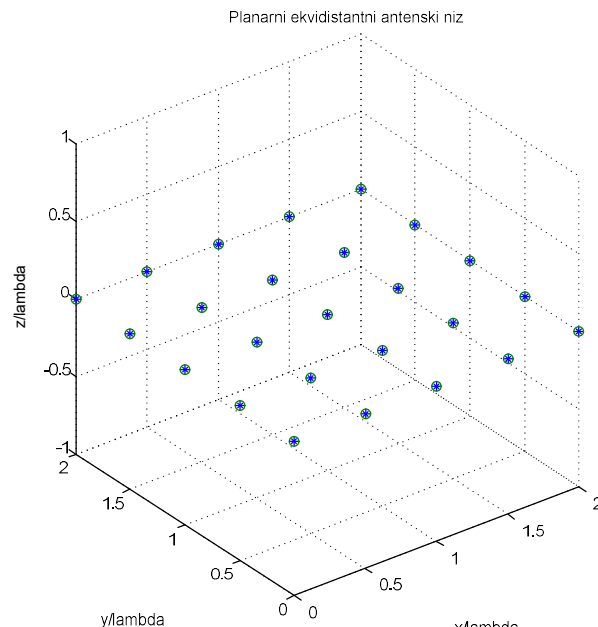
Numerički rezultati za *Array Pattern* linearnog antenskog niza sa
 $N=5$ Hertz-ovih dipola duž y-ose



Osnove AN – Planarni antenski nizovi

❖ Posmatramo uniformi pravougaoni planarni AN:

- Uniformno prostorno odabiranje (samplerovanje) - imamo ekvidistantni razmak između antena
- Imamo isti (slika levo) ili različit (slika desno) broj antena po x i y osi.



Osnove AN – Uniformni planarni AN

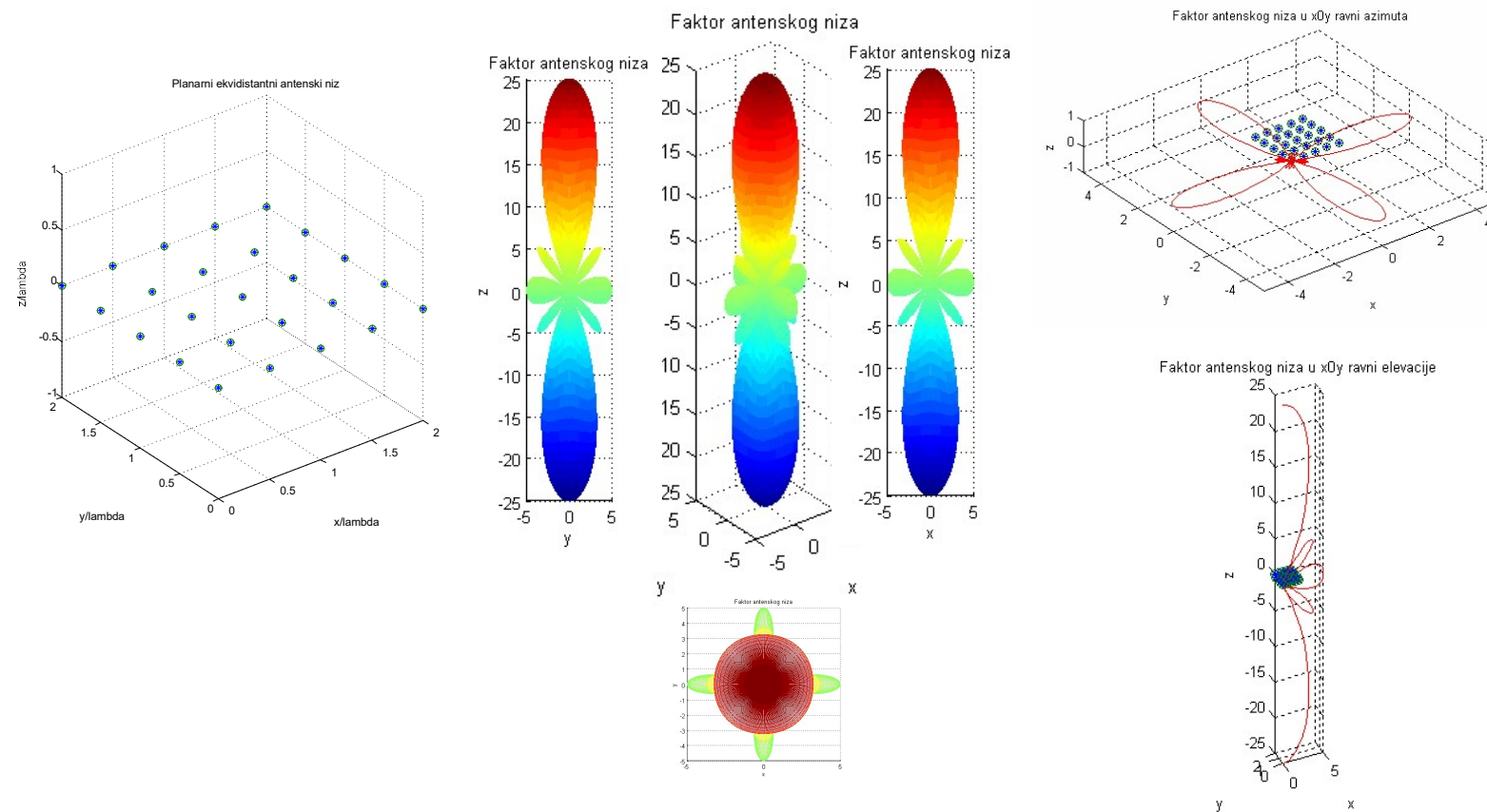
Faktor (AF) uniformnog planarnog antenskog niza

L je broj antena u planarnom
antenskom nizu

$$AF = \sum_{n=0}^{L-1} w_n \exp(-j\mathbf{k}^T \mathbf{p}_n)$$

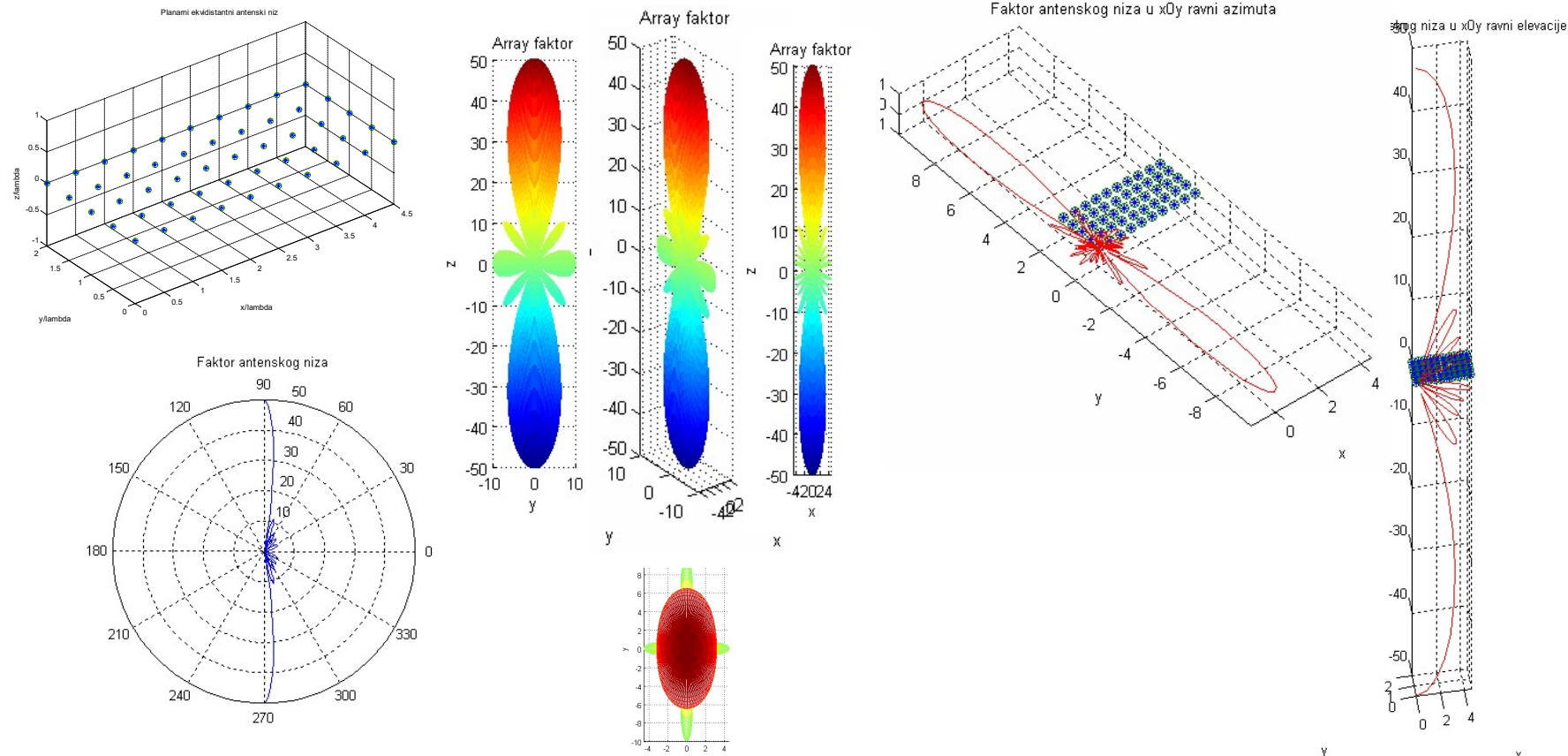
Osnove AN – Uniformni planarni AN

Primer: Numerički rezultati za faktor uniformnog planarnog AN sa istim brojem antena izotropnih po x i y osi ($N_x = N_y = 5$)



Osnove AN – Uniformni planarni AN

Primer: Numerički rezultati za faktor uniformnog planarnog AN sa nejednakim brojem izotropnih antena po x i y osi ($N_x = 5, N_y = 10$)



Osnove AN – Uniformni planarni AN

Analitički izraz za Beam Pattern - Array faktor (AF) uniformnog planarnog antenskog niza

$$AF(\psi_x, \psi_y) = B(\psi_x, \psi_y) = \exp\left[-j\left(\frac{N-1}{2}\psi_x + \frac{M-1}{2}\psi_y\right)\right] \sum_{l=0}^{L-1} \sum_{m=0}^{M-1} w_{nm}^* \exp[j(n\psi_x + m\psi_y)]$$

$$\psi_x = \frac{2\pi}{\lambda} d_x \sin(\theta) \cos(\phi)$$

Sa d_x je označen razmak antena u planarnom antenskom nizu duž x ose

$$\psi_y = \frac{2\pi}{\lambda} d_y \sin(\theta) \sin(\phi)$$

Sa d_y je označen razmak antena u planarnom antenskom nizu duž y ose

Osnove AN – Uniformni planarni AN

Analitički izraz za Array faktor (AF) uniformnog planarnog
antenskog niza kao 2D Fourier-ove transformacije
koeficijenata prostornog filtra

$$|AF(\psi_x, \psi_y)| = \left| \sum_{n=0}^{N-1} \sum_{m=0}^{M-1} w_{nm} \exp[j(n\psi_x + m\psi_y)] \right|$$

$$w_{nm} = 1; n = 1, N; m = 1, M$$

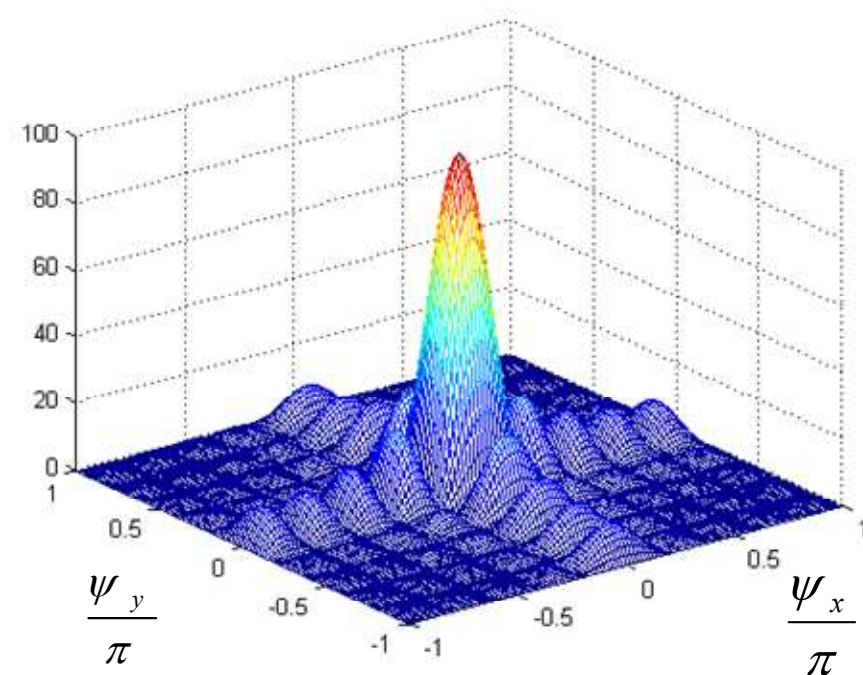
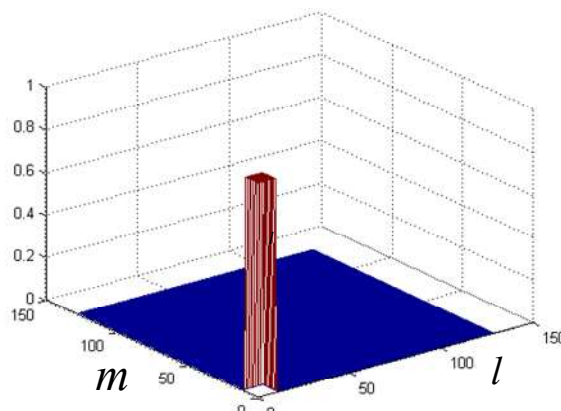
Koeficijenti prostornog filtra, $n = 1, \dots, N_x$, $m = 1, \dots, N_y$

Osnove AN – Uniformni planarni AN

Primer: Numerički rezultati za faktor uniformnog planarnog AN sa nejednakim brojem izotropnih antena po x i y osi ($N_x = 10, N_y = 10$) -

Faktor uniformnog antenskog niya od 10x10 antena
dobijen pomocu 2D FFT algoritma

$$w_{lm} = 1; l = 1, 10; m = 1, 10$$



Osnove AN – Uniformni planarni AN

Analitički izrazi – Vidljivi region uniformnog planarnog antenskog niza

$$\psi_x = \frac{2\pi}{\lambda} d_x \sin(\theta) \cos(\phi) \quad u_x = \sin(\theta) \cos(\phi) \quad \theta \in (0, \pi) - polulopta$$
$$\psi_y = \frac{2\pi}{\lambda} d_y \sin(\theta) \sin(\phi) \quad u_y = \sin(\theta) \sin(\phi) \quad \phi \in (0, 2\pi)$$

$$d_x = d_y = \frac{\lambda}{2}$$

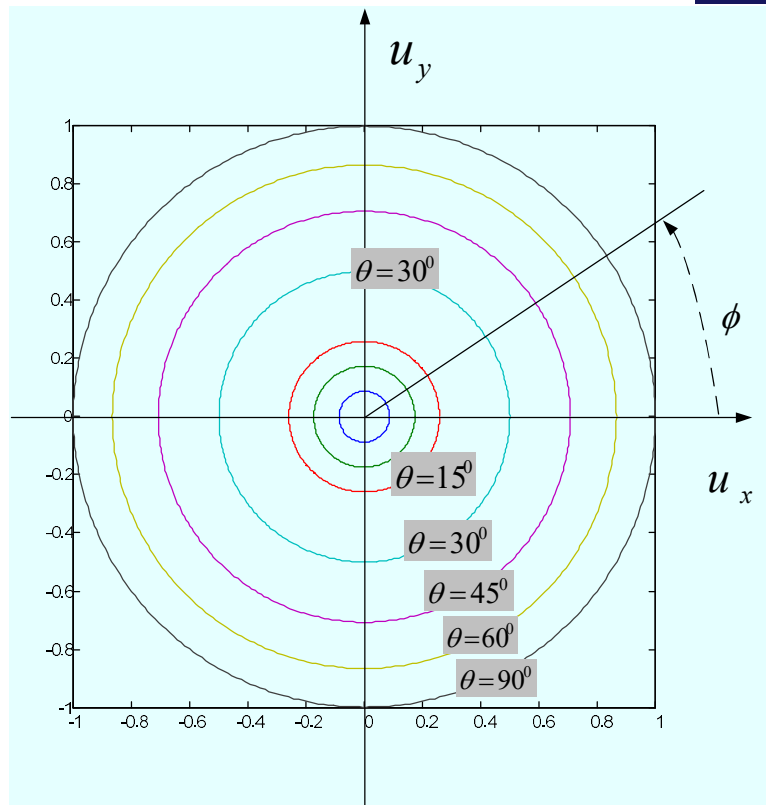
Rastojanje antena kao i kod uniformnog linearног AN, samo po obe ose

$$\psi_x = \pi \sin(\theta) \cos(\phi) = \pi u_x$$

$$\psi_y = \pi \sin(\theta) \sin(\phi) = \pi u_y$$

Osnove AN – Uniformni planarni AN

Analitički izrazi – Vidljivi region uniformnog planarnog antenskog niza



Vidljivi region

$$\Rightarrow u_v \doteq \sqrt{(u_x^2 + u_y^2)} \leq 1$$

$$\sqrt{\left(\frac{\psi_x}{d_x}\right)^2 + \left(\frac{\psi_y}{d_y}\right)^2} \leq 1$$

Osnove AN – Uniformni planarni AN

Analitički izrazi – Grating lobovi uniformnog planarnog AN
kada imamo $N_x = N$ i $N_y = M$ antena duž x i y ose

$$AF(u_x, u_y) = B(u_x, u_y) = \exp\left[-j\left(\frac{N-1}{2}\pi u_x + \frac{M-1}{2}\pi u_y\right)\right] \sum_{l=0}^{L-1} \sum_{m=0}^{M-1} w_{nm}^* \exp[j(nk_0 d_x u_x + mk_0 d_y u_y)]$$

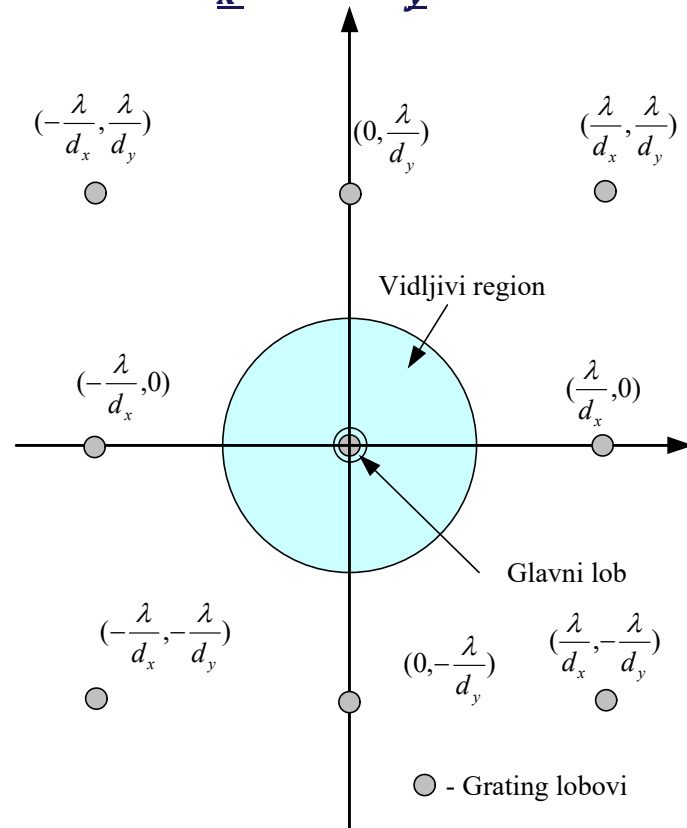
$$u_x = p \frac{\lambda}{d_x}; p = 1, 2, \dots$$

Grating lobovi duž x i y ose

$$u_y = q \frac{\lambda}{d_y}; q = 1, 2, \dots$$

Osnove AN – Uniformni planarni AN

Analitički izrazi – Grating lobovi uniformnog planarnog AN
kada imamo $N_x = N$ i $N_y = M$ antena duž x i y ose



Osnove AN – Uniformni planarni AN

Svojstvo beam pattern-a uniformnog planarnog AN sa istim težinskim koefcijentima 1/MN

$$B(\psi_x, \psi_y) = \exp\left[-j\left(\frac{N-1}{2}\psi_x + \frac{M-1}{2}\psi_y\right)\right] \sum_{l=0}^{L-1} \sum_{m=0}^{M-1} w_{lm}^* \exp[j(l\psi_x + m\psi_y)]$$

$$w_{mn} = w_m w_n \Rightarrow B(\psi_x, \psi_y) = B(\psi_x)B(\psi_y)$$

Imamo separabilne težinske koeficijente uniformnog planarnog AN

$$w_{mn} = 1/M; m = 1, \dots, M; w_n = 1/N; n = 1, \dots, N$$

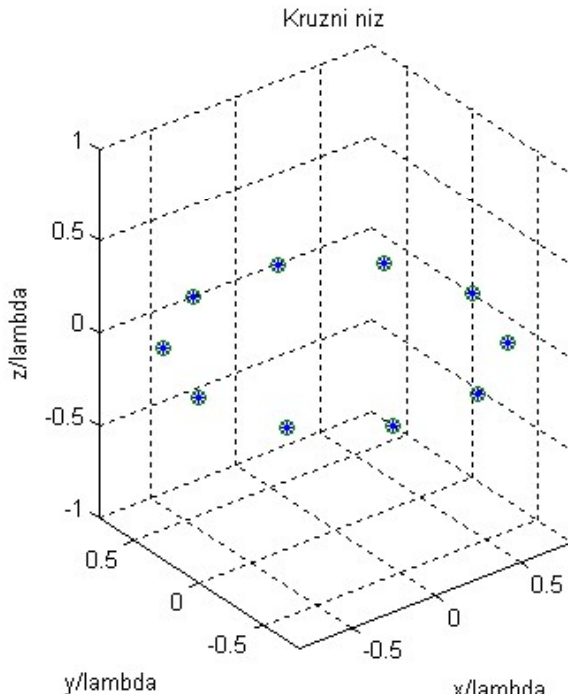
Poseban slučaj - ista vrednost duž x i y ose

$$AF(\psi_x, \psi_y) = B(\psi_x, \psi_y) = \begin{bmatrix} 1 & \sin\left(\frac{N}{2}\psi_x\right) \\ N & \sin\left(\frac{\psi_x}{2}\right) \end{bmatrix} \begin{bmatrix} 1 & \sin\left(\frac{N}{2}\psi_y\right) \\ M & \sin\left(\frac{\psi_y}{2}\right) \end{bmatrix}$$

Osnove AN – Uniformni kružni nizovi

❖ Posmatramo uniformni kružni (planarni) AN:

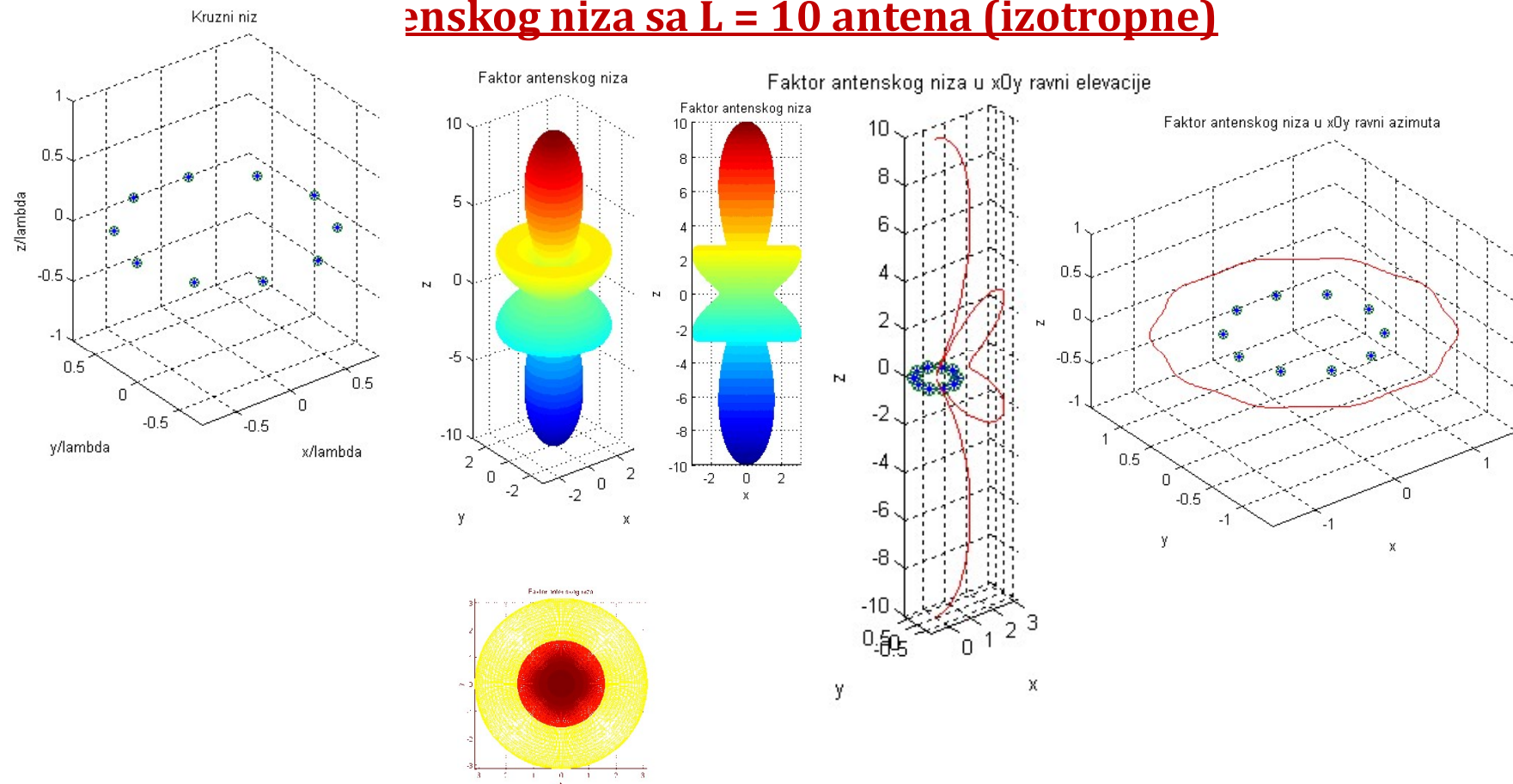
- Za antenski niz od N elemenata i razmak između antena $d_{cyr} = \lambda/2$ imamo uniformna prostorno odabiraje po kružnici
- Poluprečnik kružnog niza je definisan kao: $r = (d_{cyr}/2)/\sin(pi/N)$;



Da li sada može da se primeni
DFT za proračun AF kao kod
uniformnog linearног i
planarnog antenskog niza?

Osnove AN – Uniformni kružni (planarni) AN

**Primer: Numerički rezultati za faktor uniformnog kružnog
enskog niza sa L = 10 antena (izotropne)**



Osnove AN – Uniformni kružni (planarni) AN

Analitički izraz za Beam Pattern - Array faktor (AF) uniformnog kružnog antenskog niza

$$AF = \sum_{n=0}^{N-1} w_n^* \exp(-j\mathbf{k}^T \mathbf{p}_n)$$

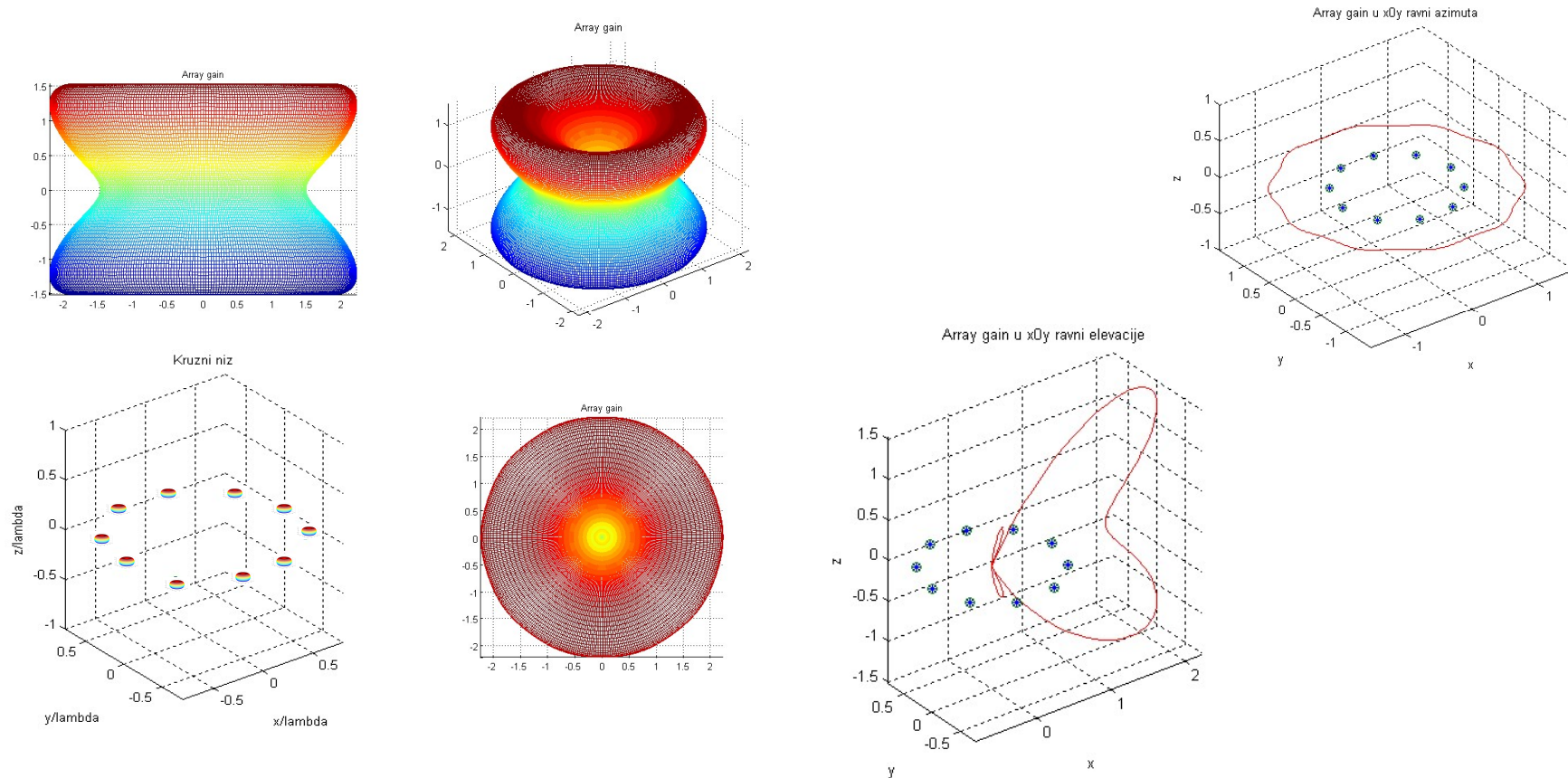
Opšti oblik faktora antenskog niza za
bilo koju geometriju (raspored antena)

Za uniformni kružni antenski niz
dobijamo

$$B(\theta, \phi) = \sum_{n=0}^{N-1} \exp[j \frac{2\pi}{\lambda} r \sin(\theta) \cos(\phi - \phi_n) + j\beta_n]$$

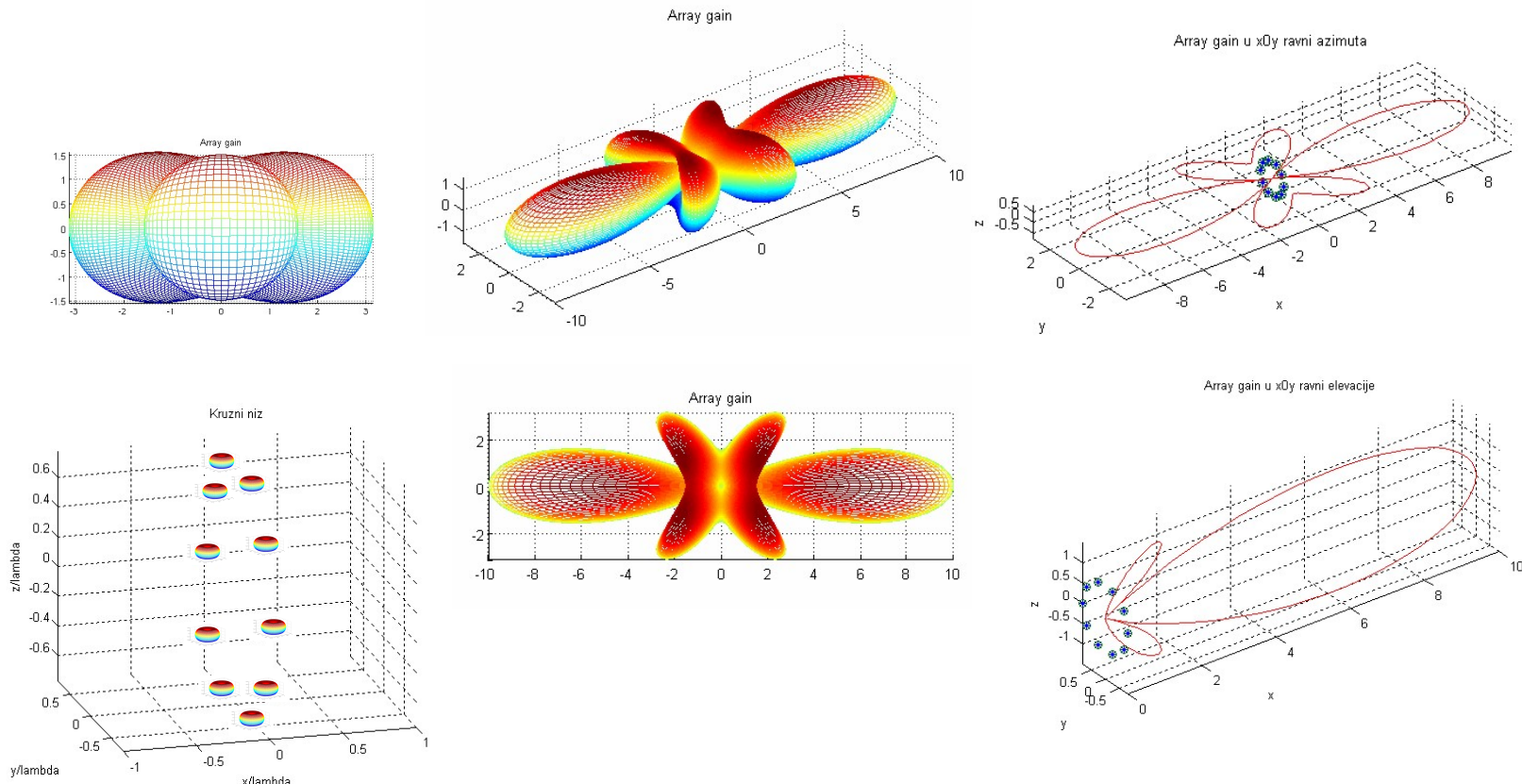
Osnove AN – Uniformni kružni (planarni) AN

**Primer: Numerički rezultati za faktor antene uniformnog kružnog
antenskog niza sa $L = 10$ antena po xoz ravni - Hertz-ovih dipola**



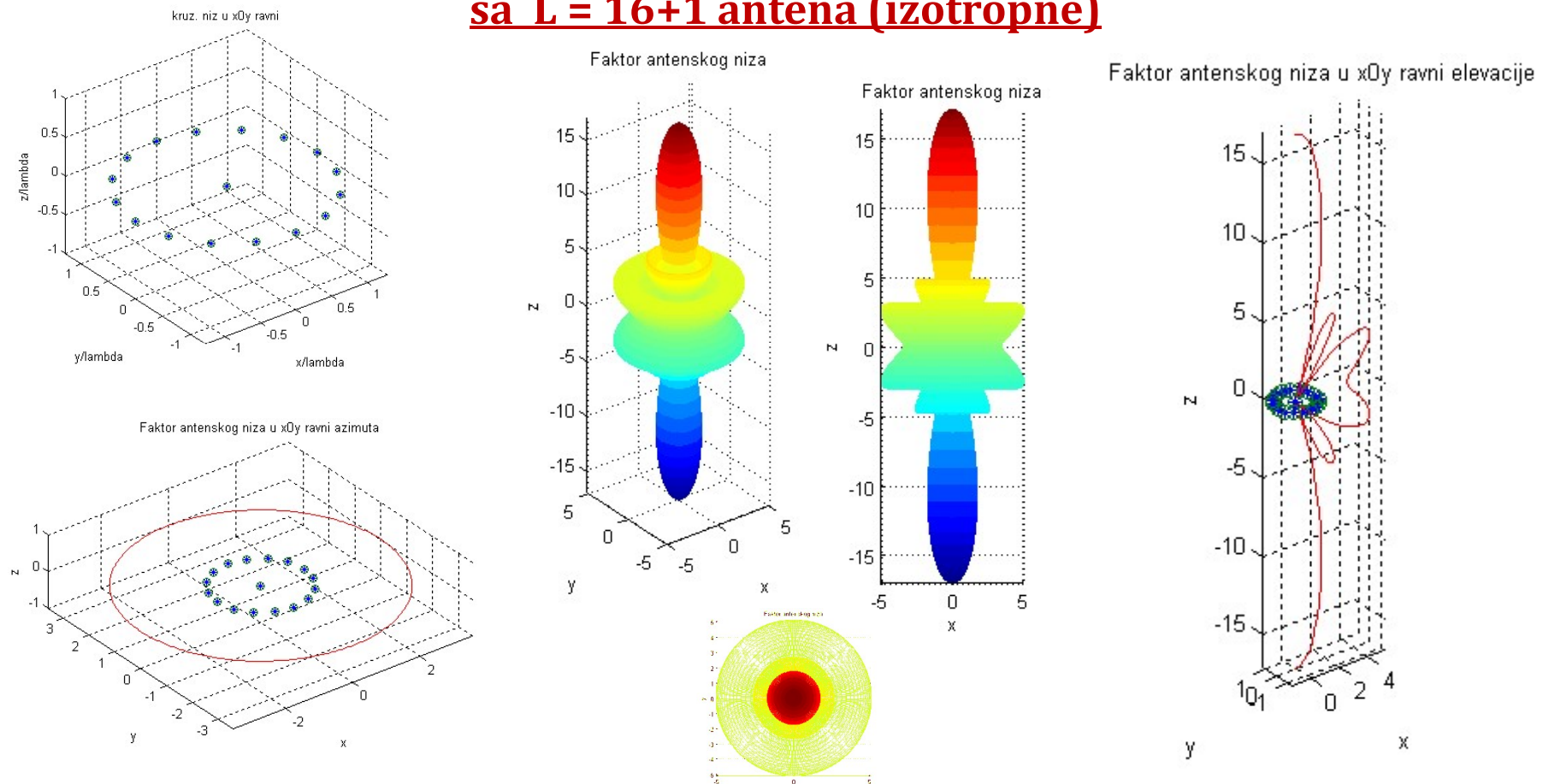
Osnove AN – Uniformni kružni (planarni) AN

**Primer: Numerički rezultati za faktor antene uniformnog kružnog
antenskog niza sa $L = 10$ antena po yoz- Hertz-ovih dipola**



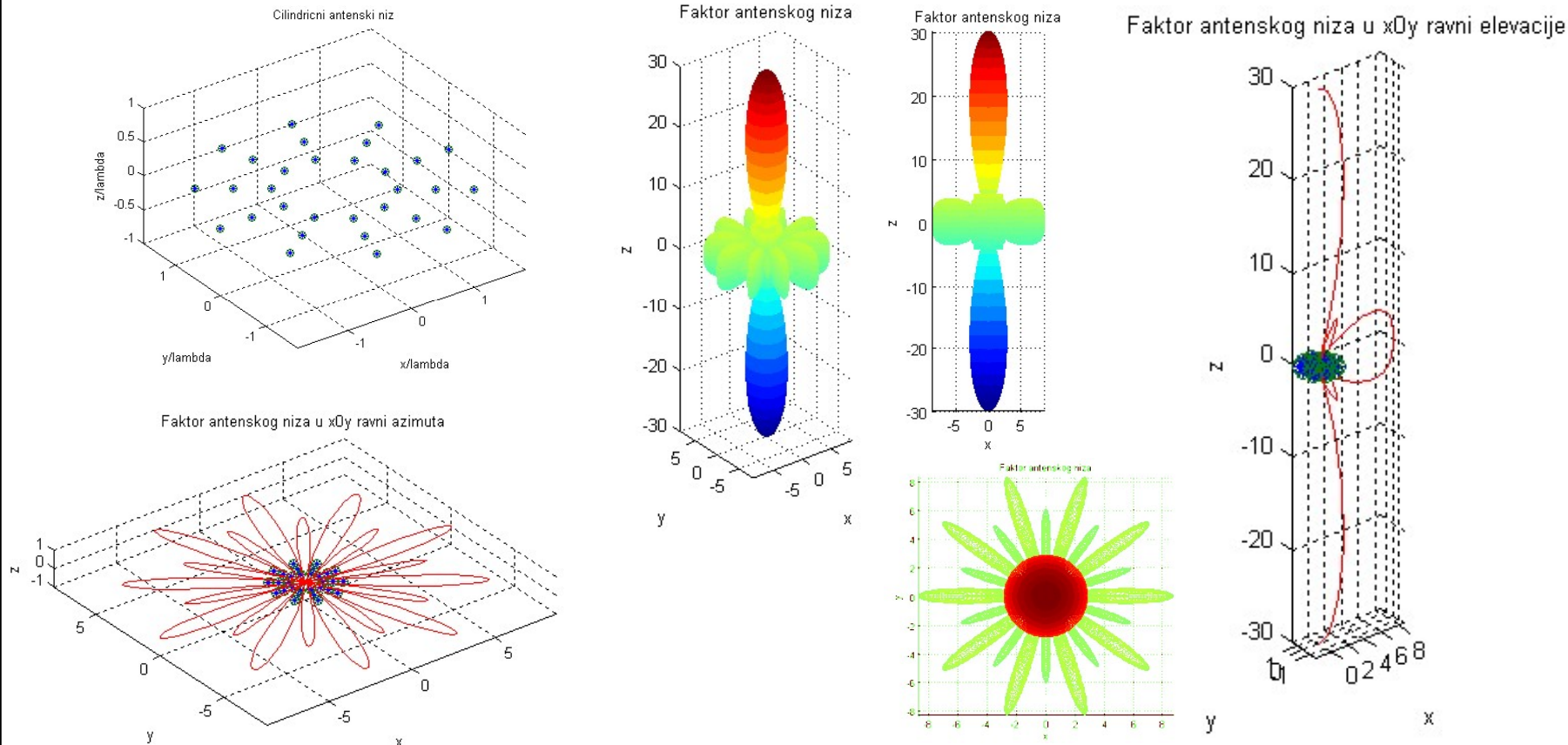
Osnove AN – Uniformni Adkok (planarni) AN

Primer: Numerički rezultati za faktor antene Adkok antenskog niza sa L = 16+1 antena (izotropne)



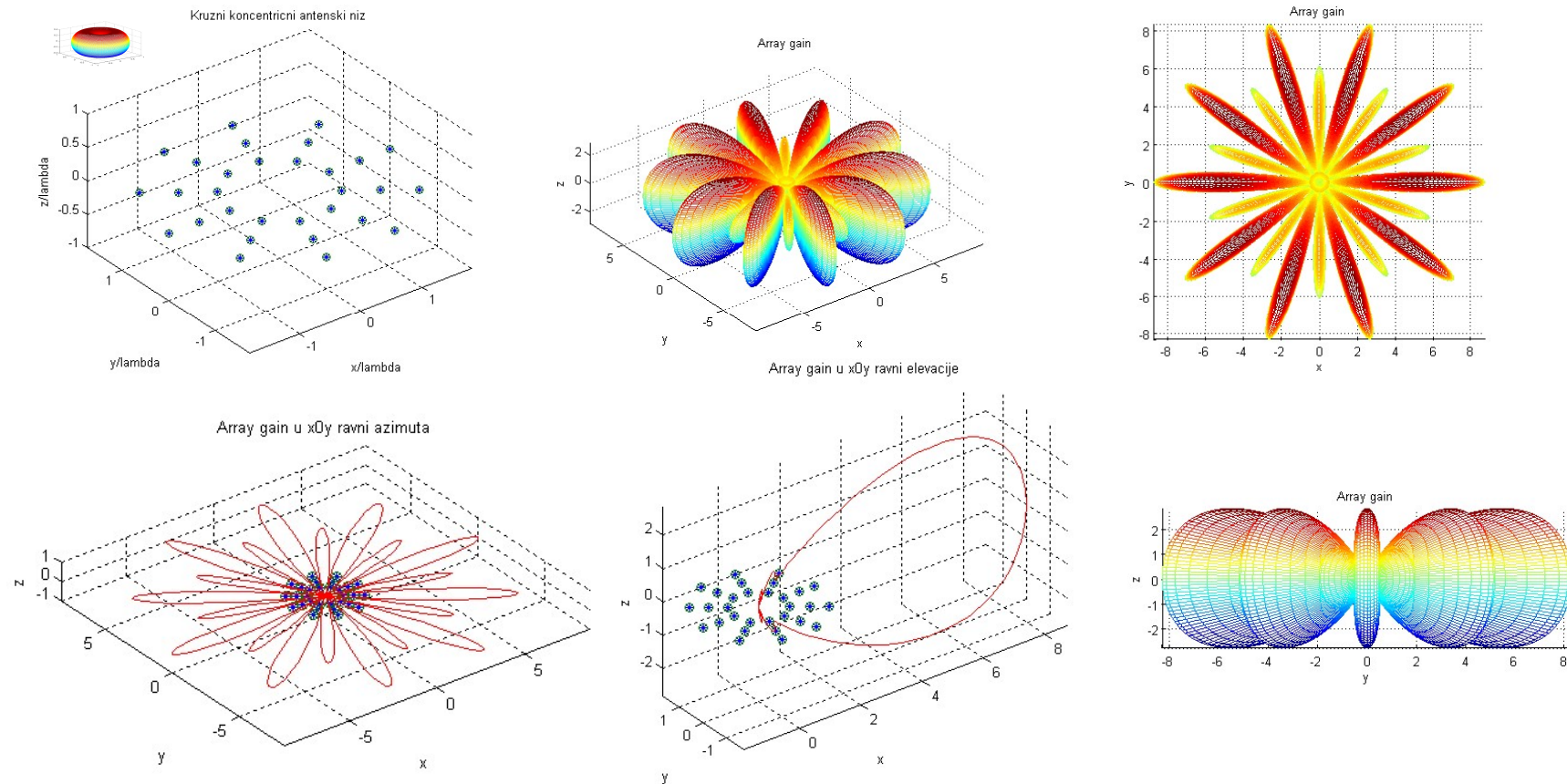
Osnove AN – Koncentrični kružni AN

Primer: Numerički rezultati za faktor koncentričnog kružnog antenskog niza sa $L = 10 \times 3$ antene (izotropne)



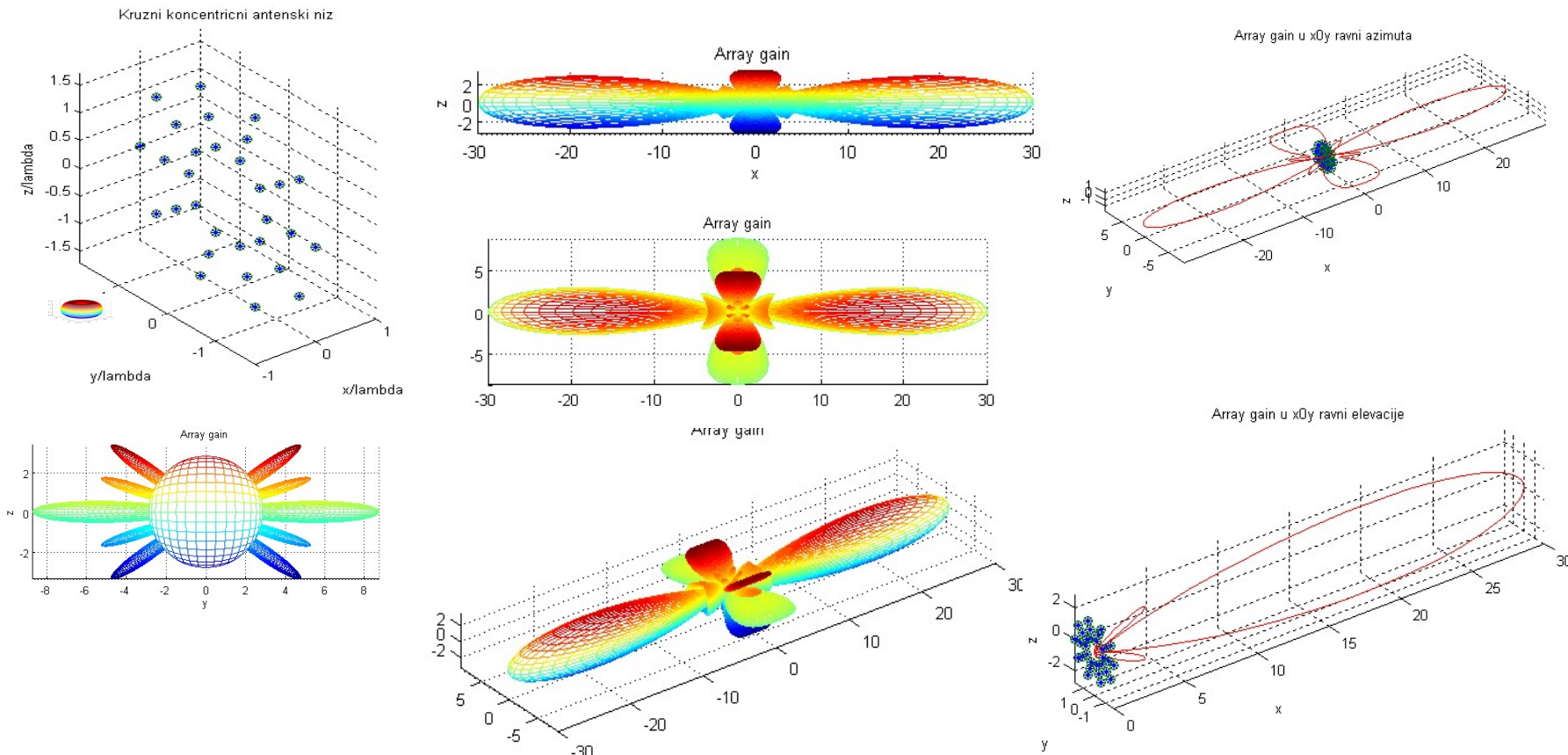
Osnove AN – Koncentrični kružni AN

Primer: Numerički rezultati za faktor koncentričnog kružnog antenskog niza sa $L = 10 \times 3$ antene – Hertz-ovih dipola



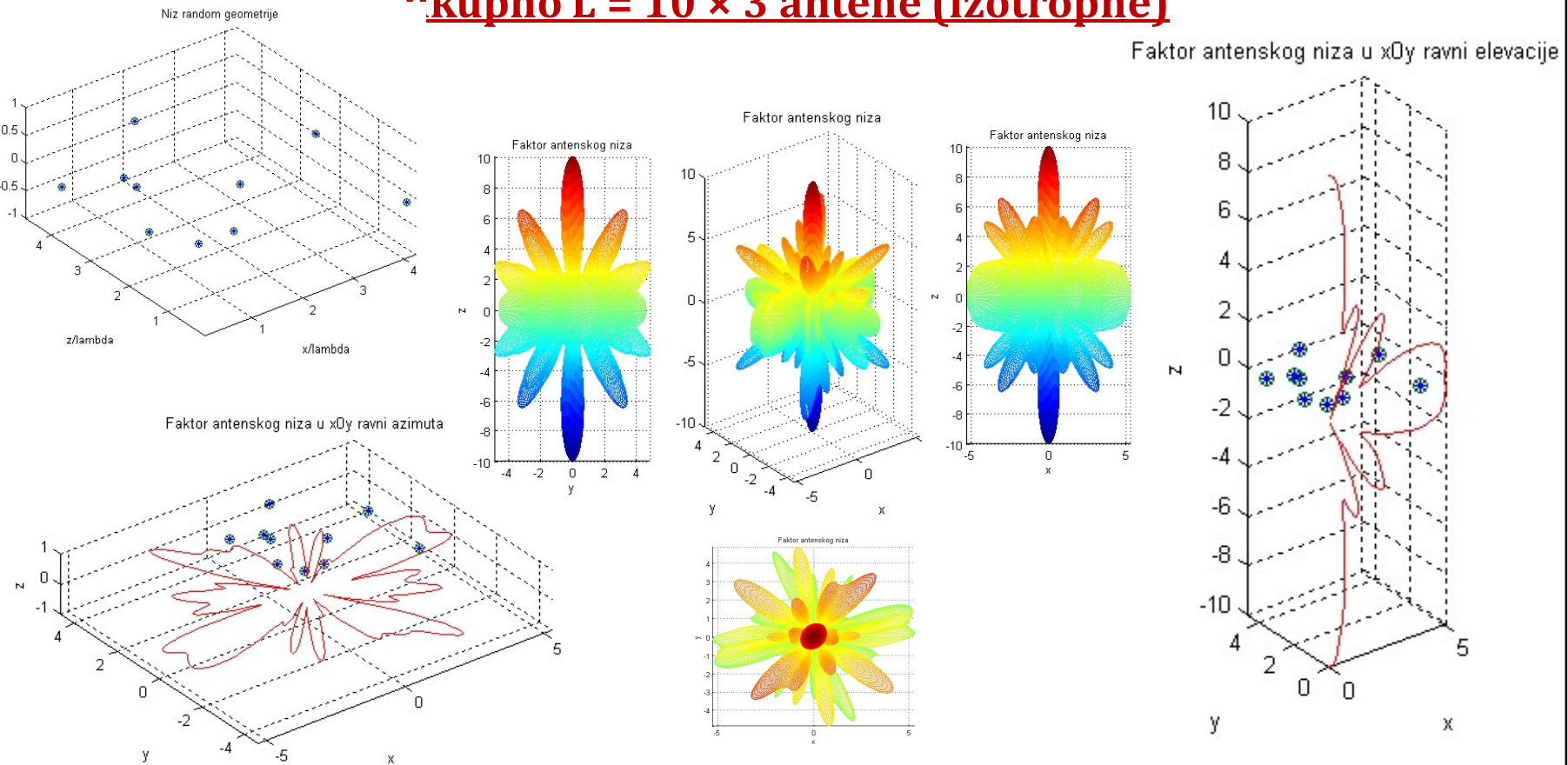
Osnove AN – Koncentrični kružni AN

Primer: Numerički rezultati za faktor koncentričnog kružnog antenskog niza sa $L = 10 \times 3$ antene – Hertz-ovih dipola



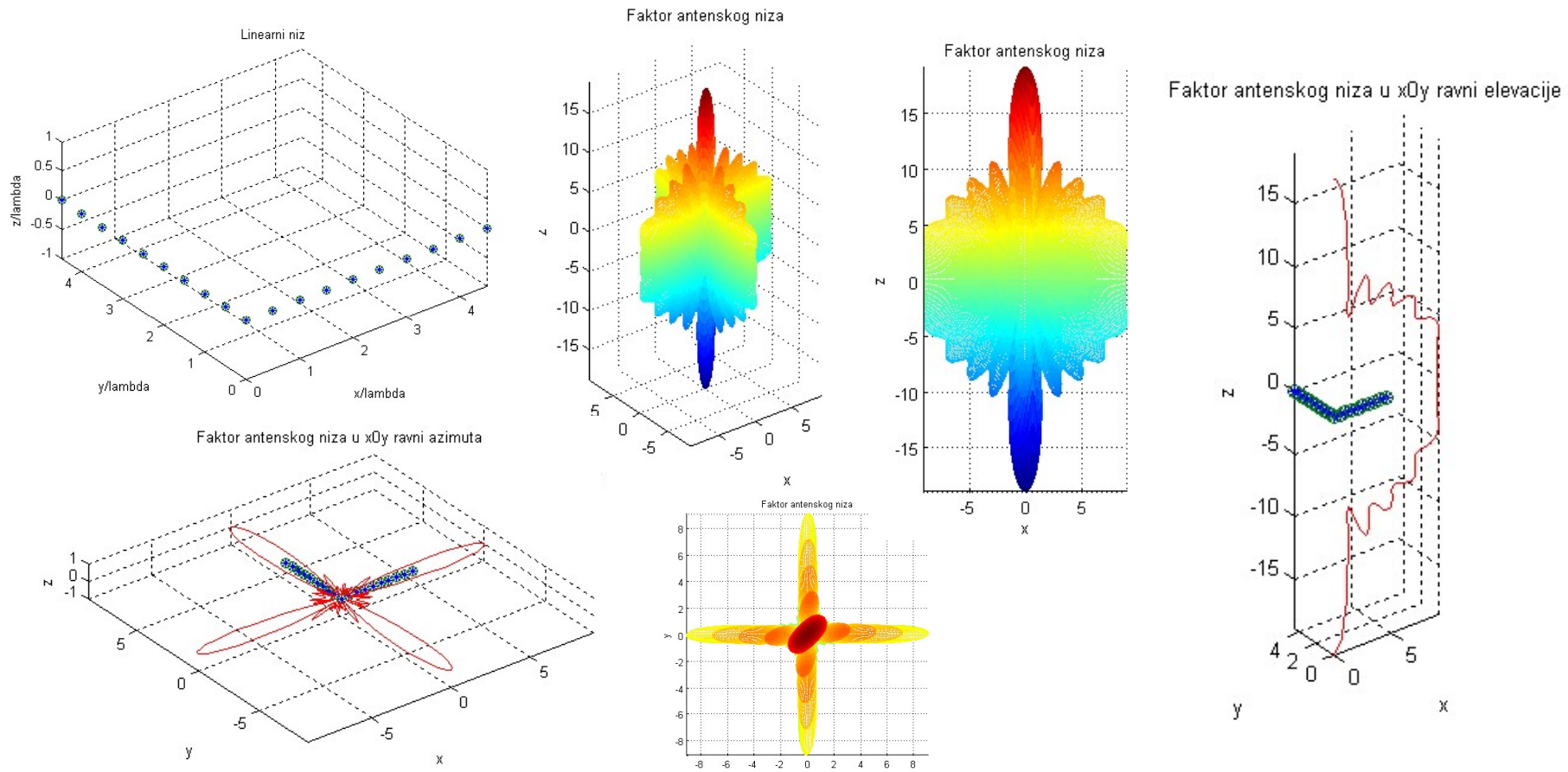
Osnove AN – Slučajni planarni AN

**Primer: Numerički rezultati za faktor slučajnog antenskog niza sa
ukupno $L = 10 \times 3$ antene (izotropne)**



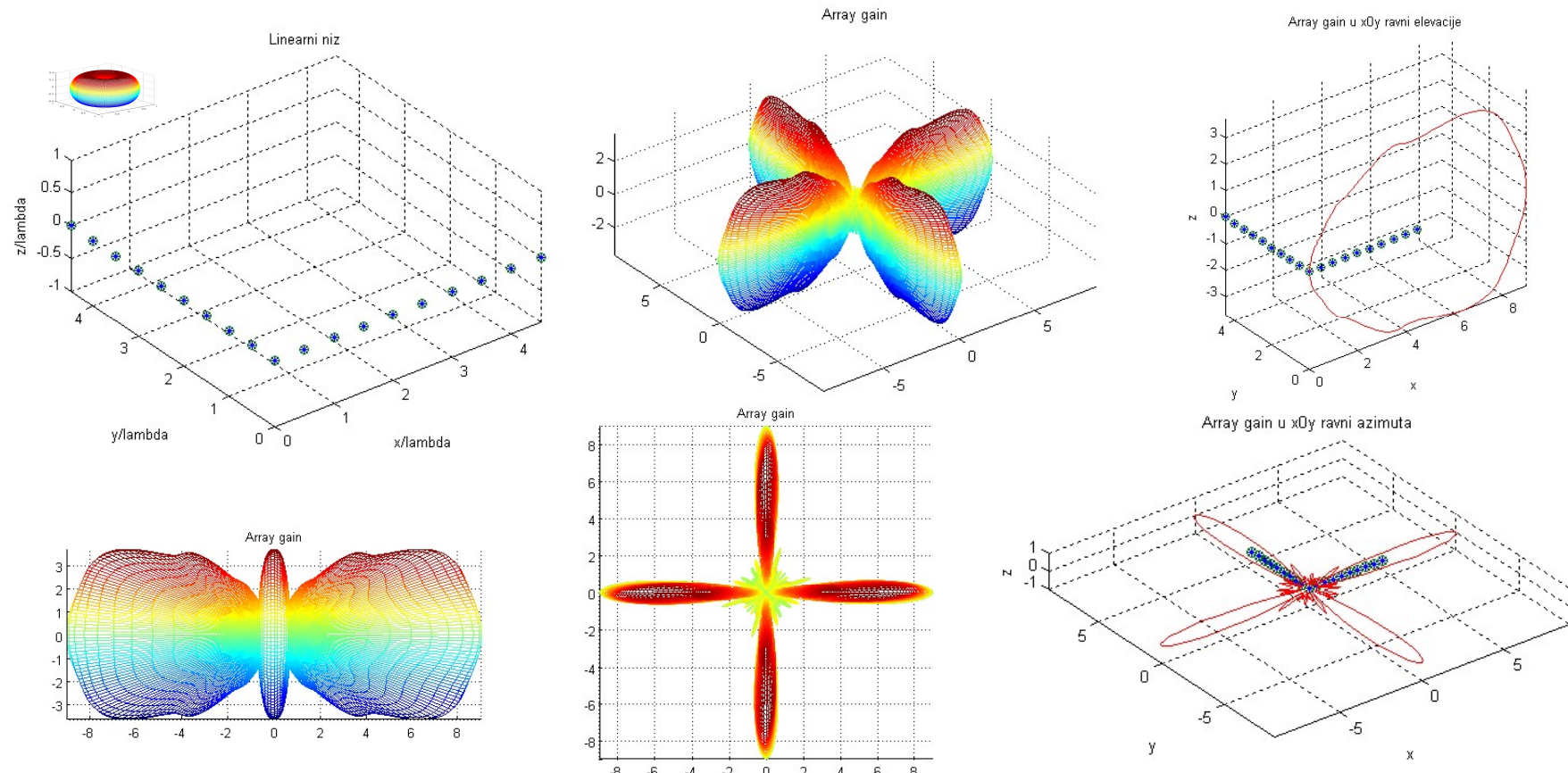
Osnove AN – V uniformni planarni AN

Primer: Numerički rezultati za faktor V uniformnog planarnog antenskog niza sa L = 19 (9 + 1 + 9) antena duž dve ose (izotropne)



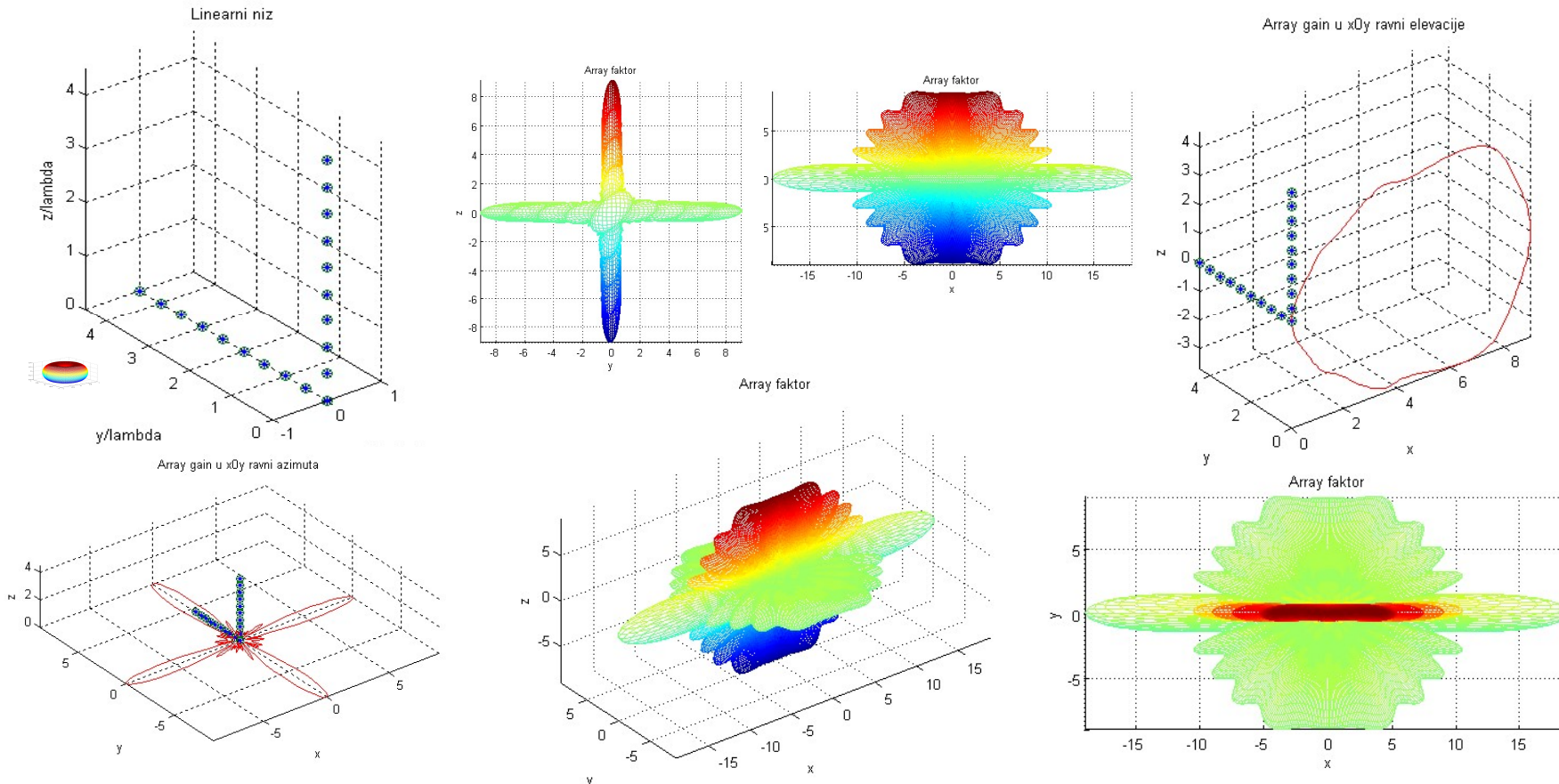
Osnove AN – V uniformni planarni AN

Primer: Numerički rezultati za faktor V uniformnog planarnog antenskog niza sa $L = 19$ ($9 + 1 + 9$) antena (x0y) - Hertz-ovih



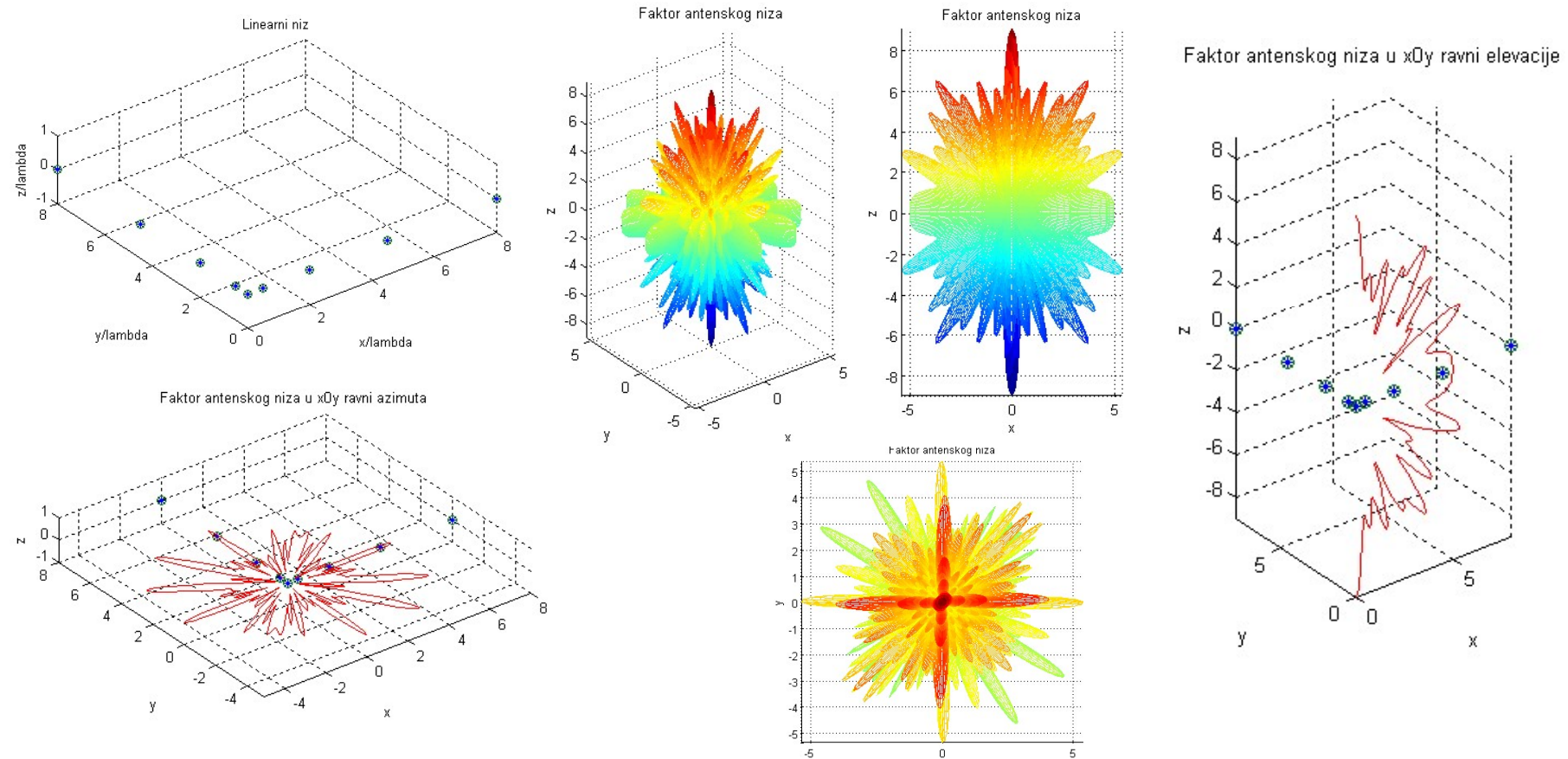
Osnove AN – V uniformni planarni AN

Primer: Numerički rezultati za faktor V uniformnog planarnog antenskog niza sa $L = 19$ (9 + 1 + 9) antena (x0z) - Hertz-ovih dipola



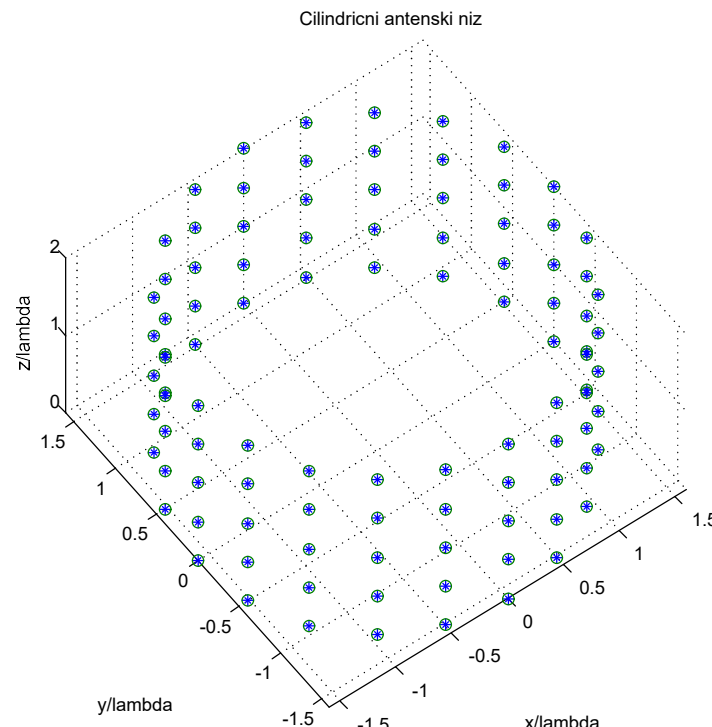
Osnove AN – V neuniformni planarni AN

Primer: Numerički rezultati za faktor V neuniformnog planarnog antenskog niza sa L = 9 antena (izotropne)

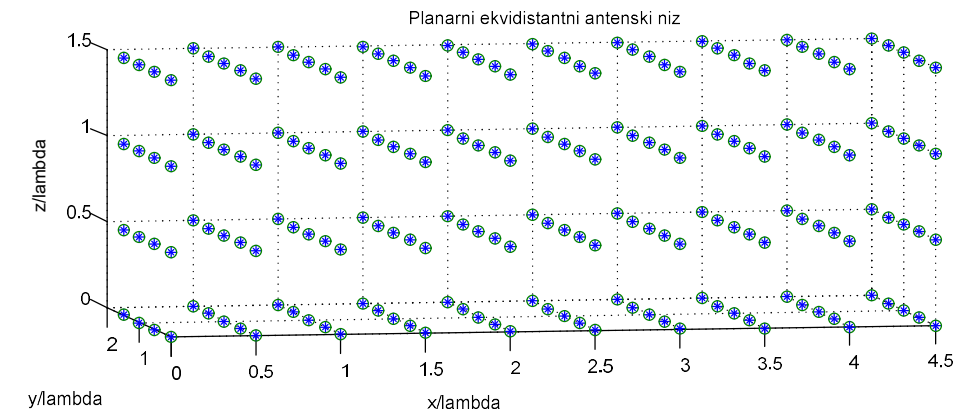


Osnove AN – Prostorni antenski nizovi

Prostorni
uniformni
cilindrični AN

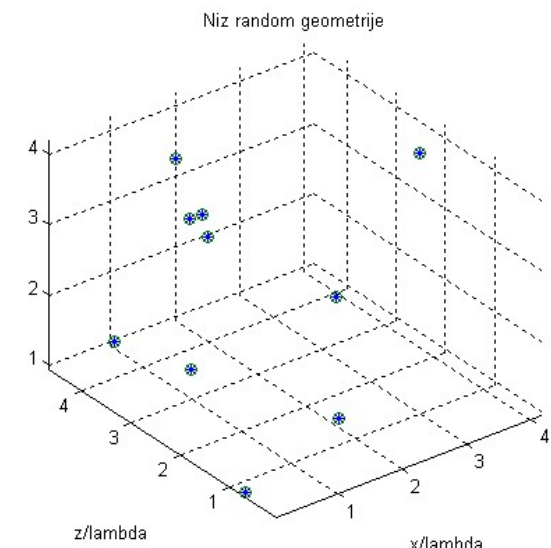


Prostorni
uniformni
kvadrični AN



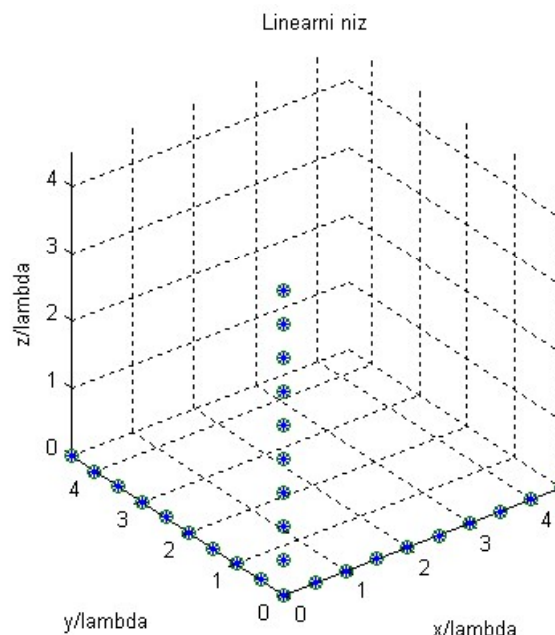
Prostorni
slučajni AN

Kolika je
maksimalna
vrednost
modula AF za
prostorne AN?

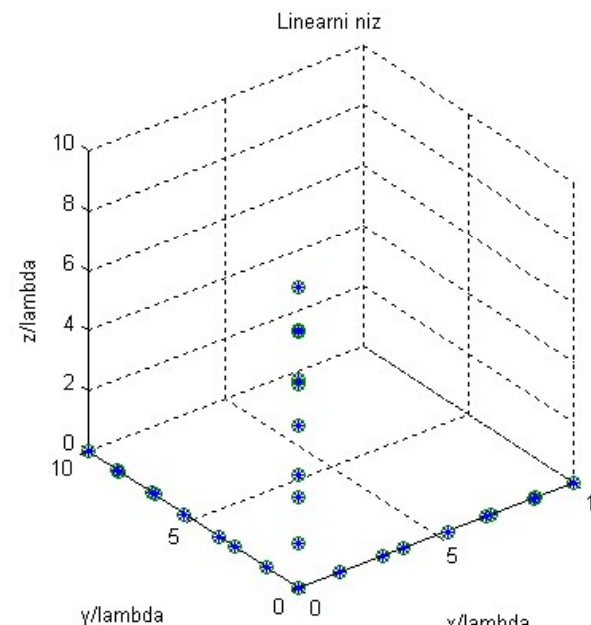


Osnove AN – Prostorni antenski nizovi

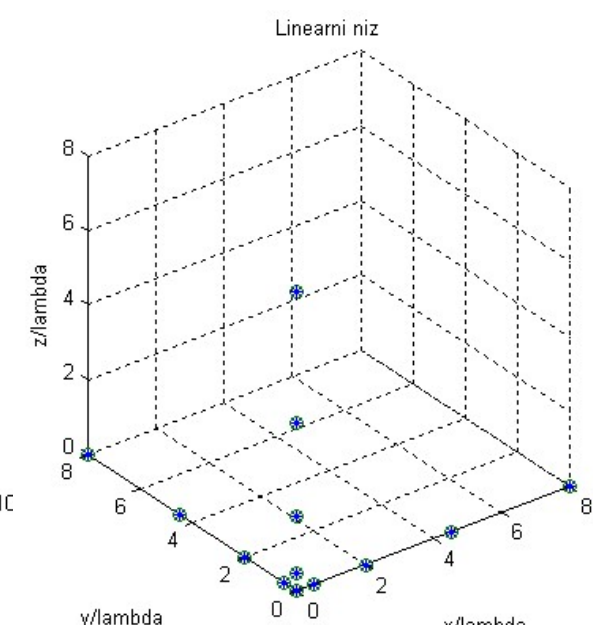
Prostorni V
uniformni AN



Prostorni V
slučajni AN

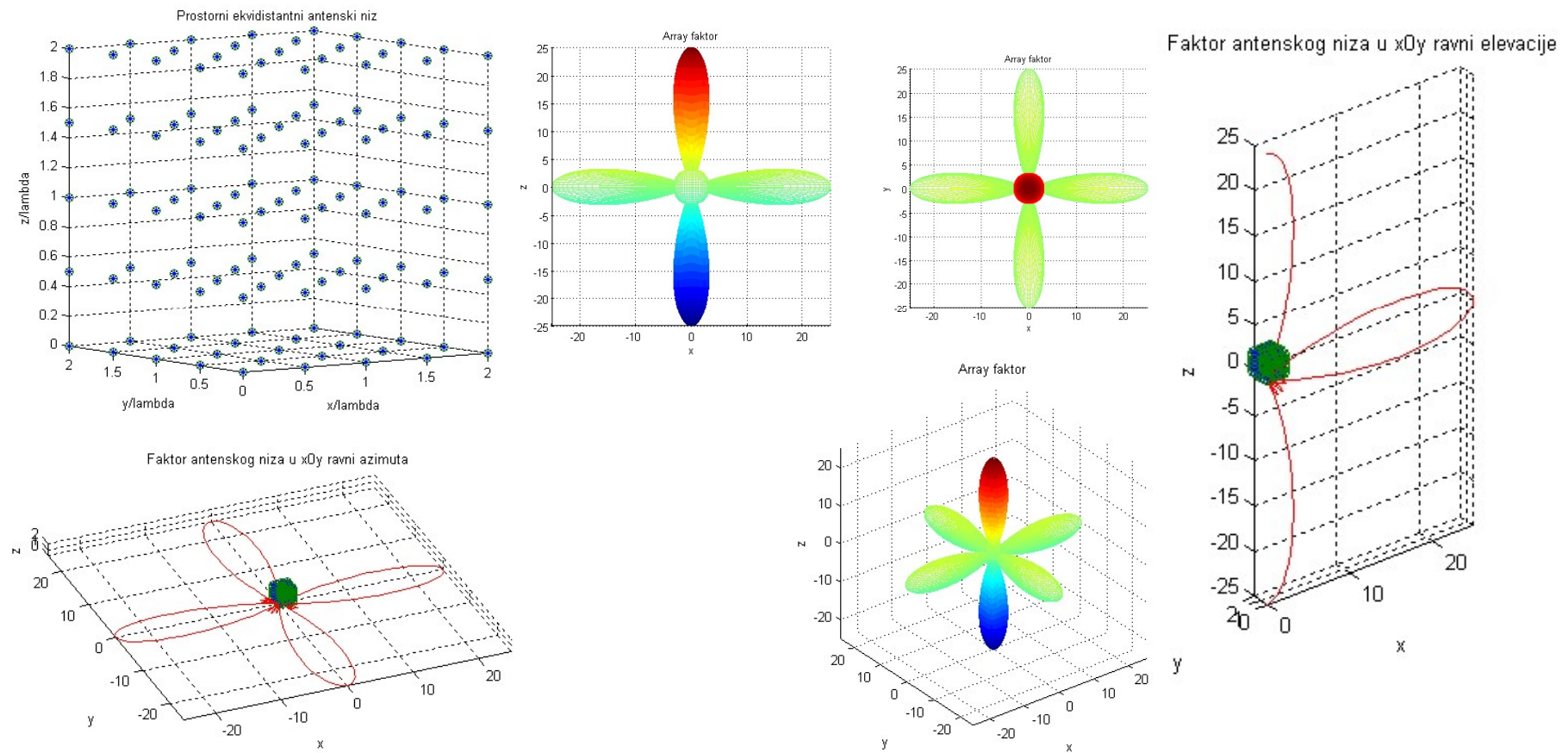


Prostorni V
neuniformni AN



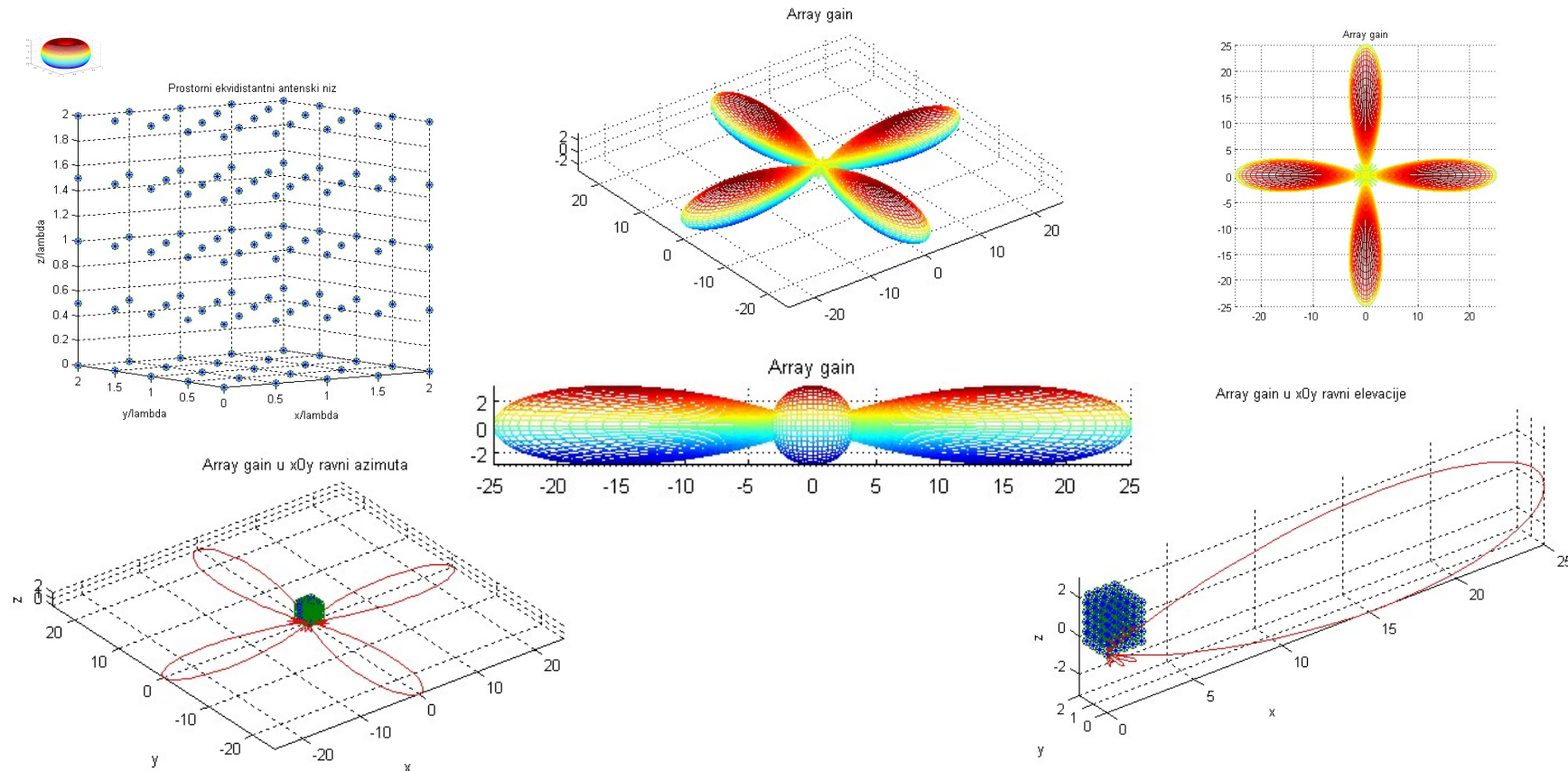
Osnove AN – Uniformni kvadrični prostorni

Primer: Numerički rezultati za faktor uniformnog kvadričnog prostornog antenskog niza sa $L = 5 \times 5 \times 5$ antena (izotropne)



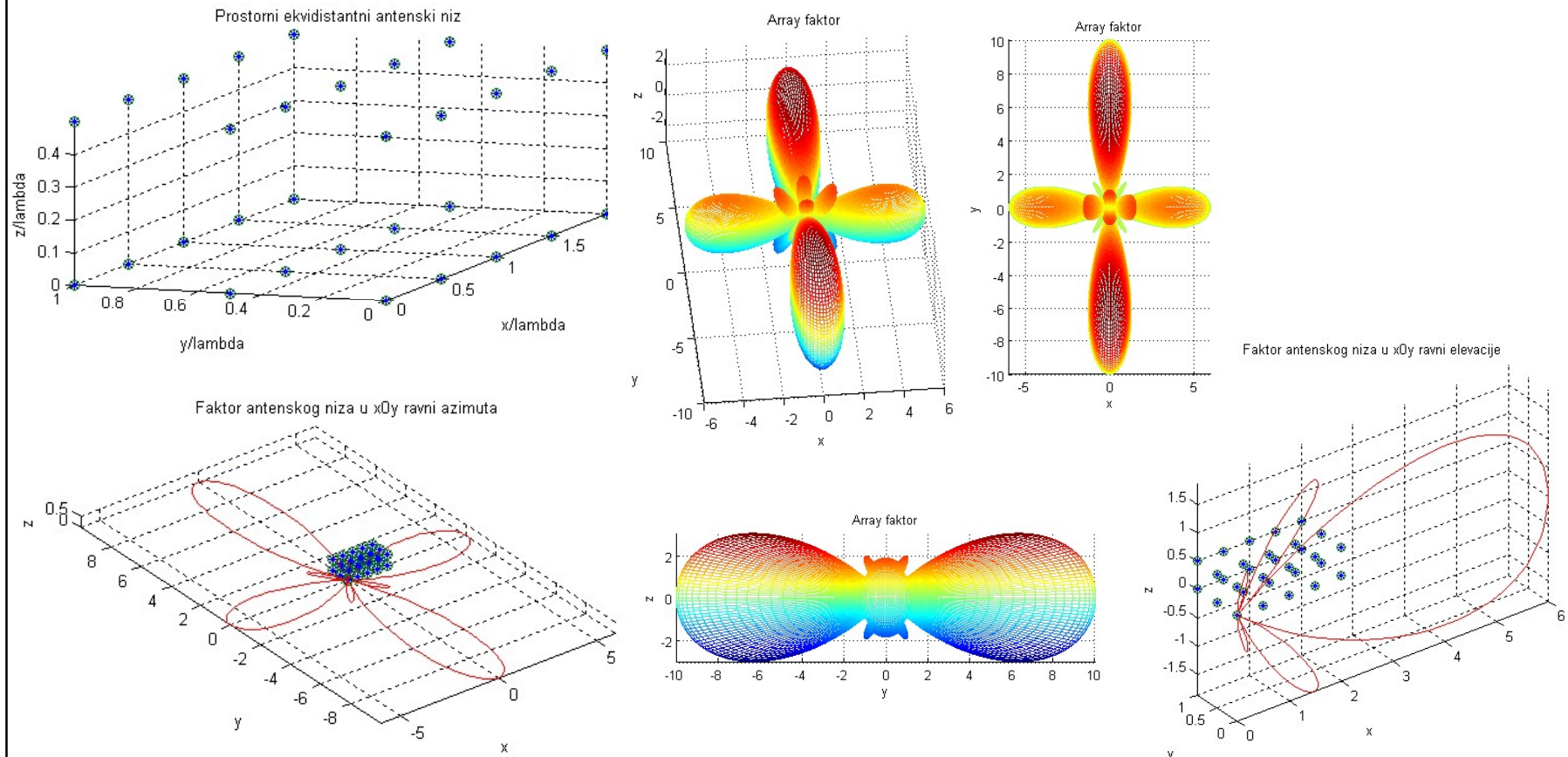
Osnove AN – Uniformni kvadrični prostorni

Primer: Numerički rezultati za faktor uniformnog kvadričnog prostornog antenskog niza sa $L = 5 \times 5 \times 5$ antena – Hertz-ovi dipoli



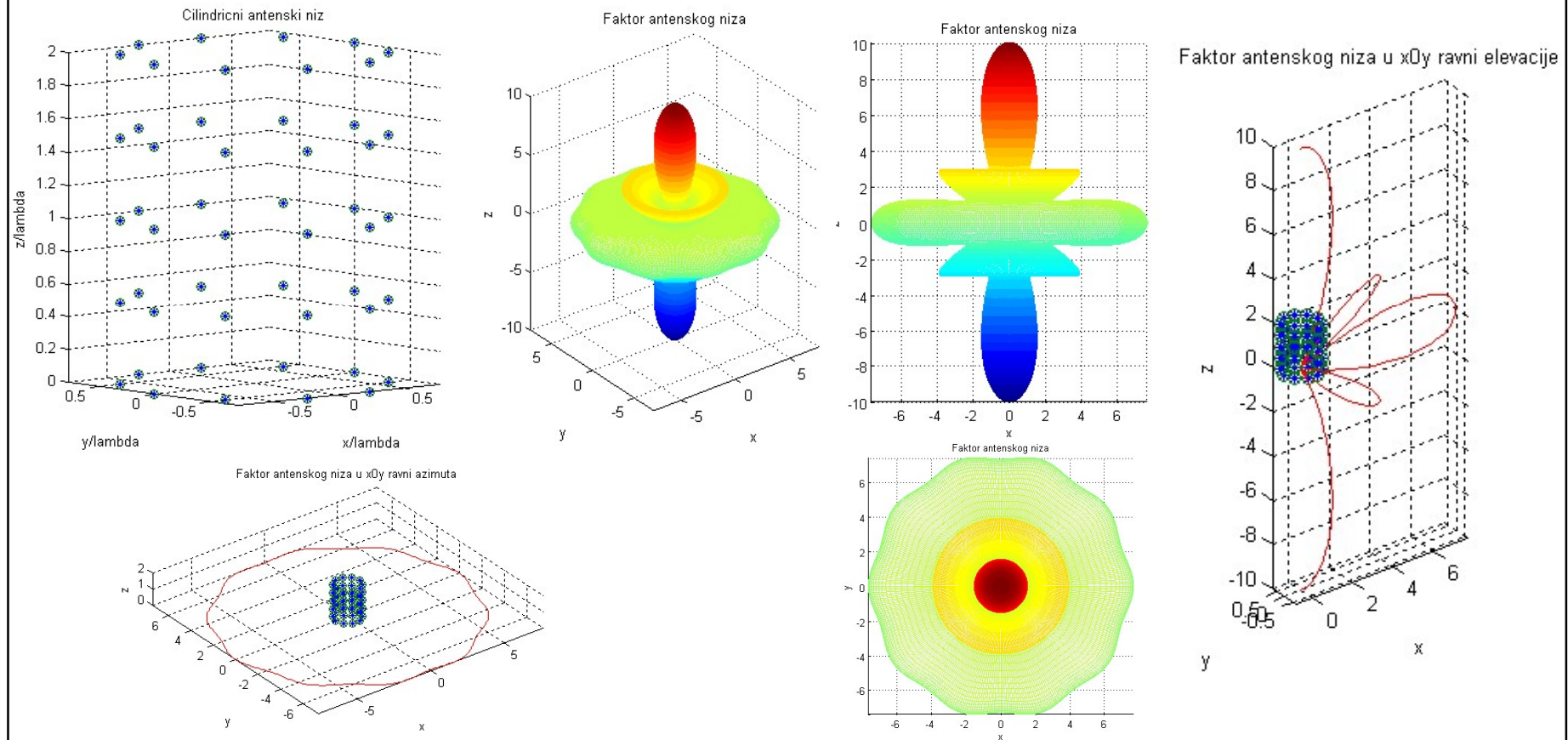
Osnove AN – Uniformni kvadrični prostorni

Primer: Numerički rezultati za faktor uniformnog kvadričnog prostornog antenskog niza sa $L = 5 \times 3 \times 2$ antena (izotropne)



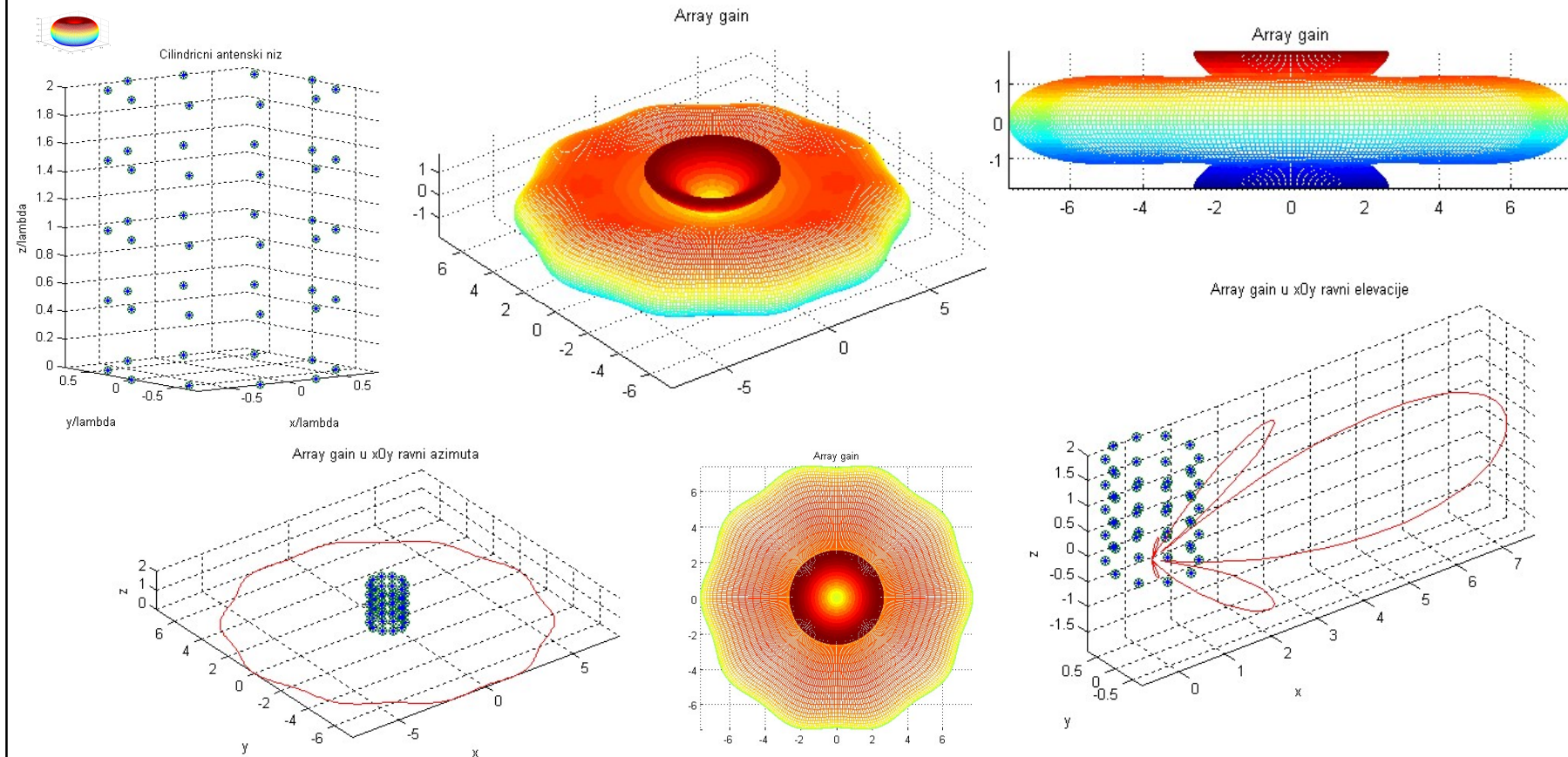
Osnove AN – Uniformni cilindrični prostorni

Primer: Numerički rezultati za faktor uniformnog cilindričnog prostornog antenskog niza sa $L = 10 \times 5$ antena (izotropne)



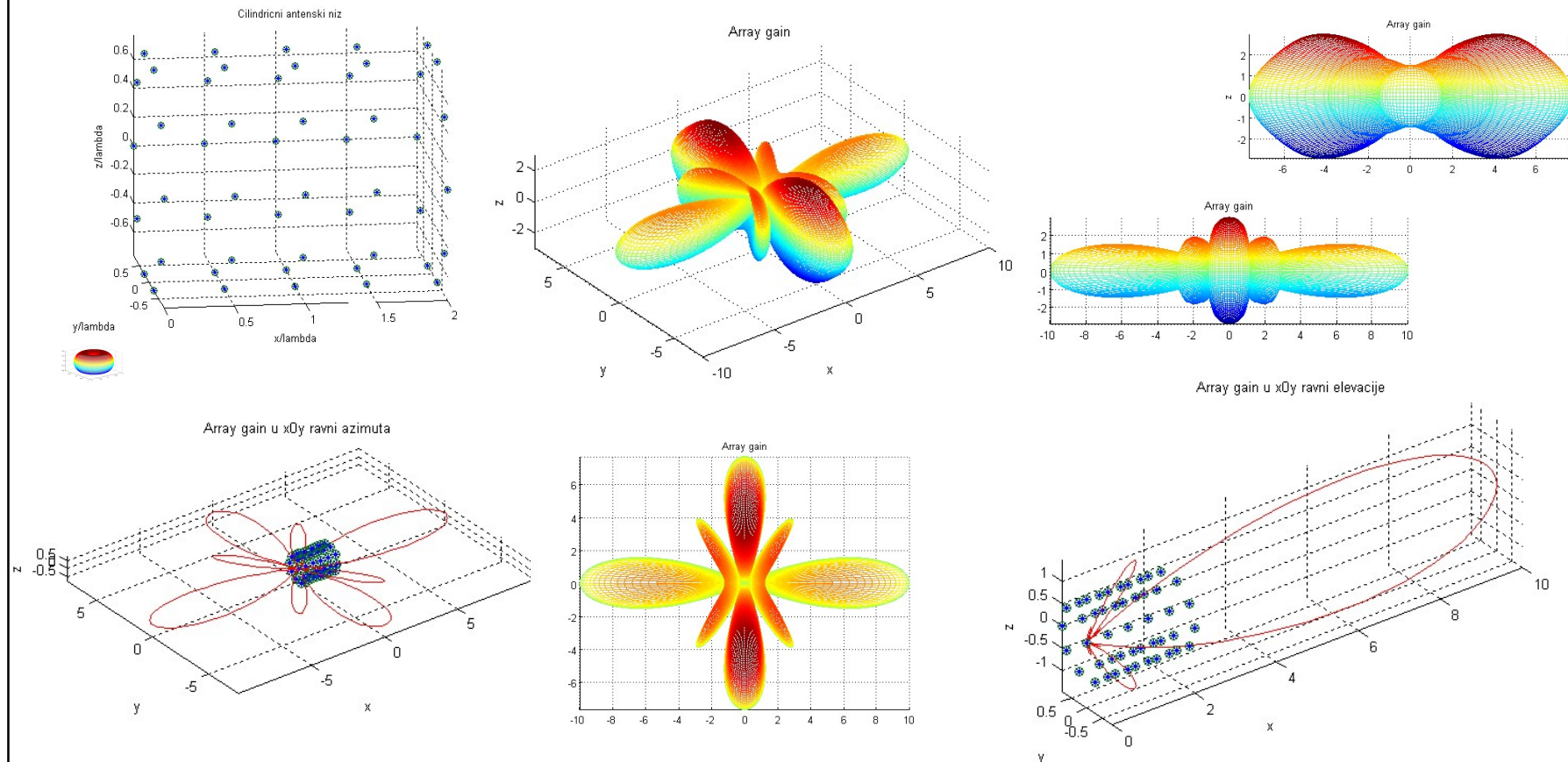
Osnove AN – Uniformni cilindrični prostorni

Primer: Numerički rezultati za faktor uniformnog cilindričnog prostornog antenskog niza sa $L = 10 \times 5$ antena – Hertz-ovi dipoli



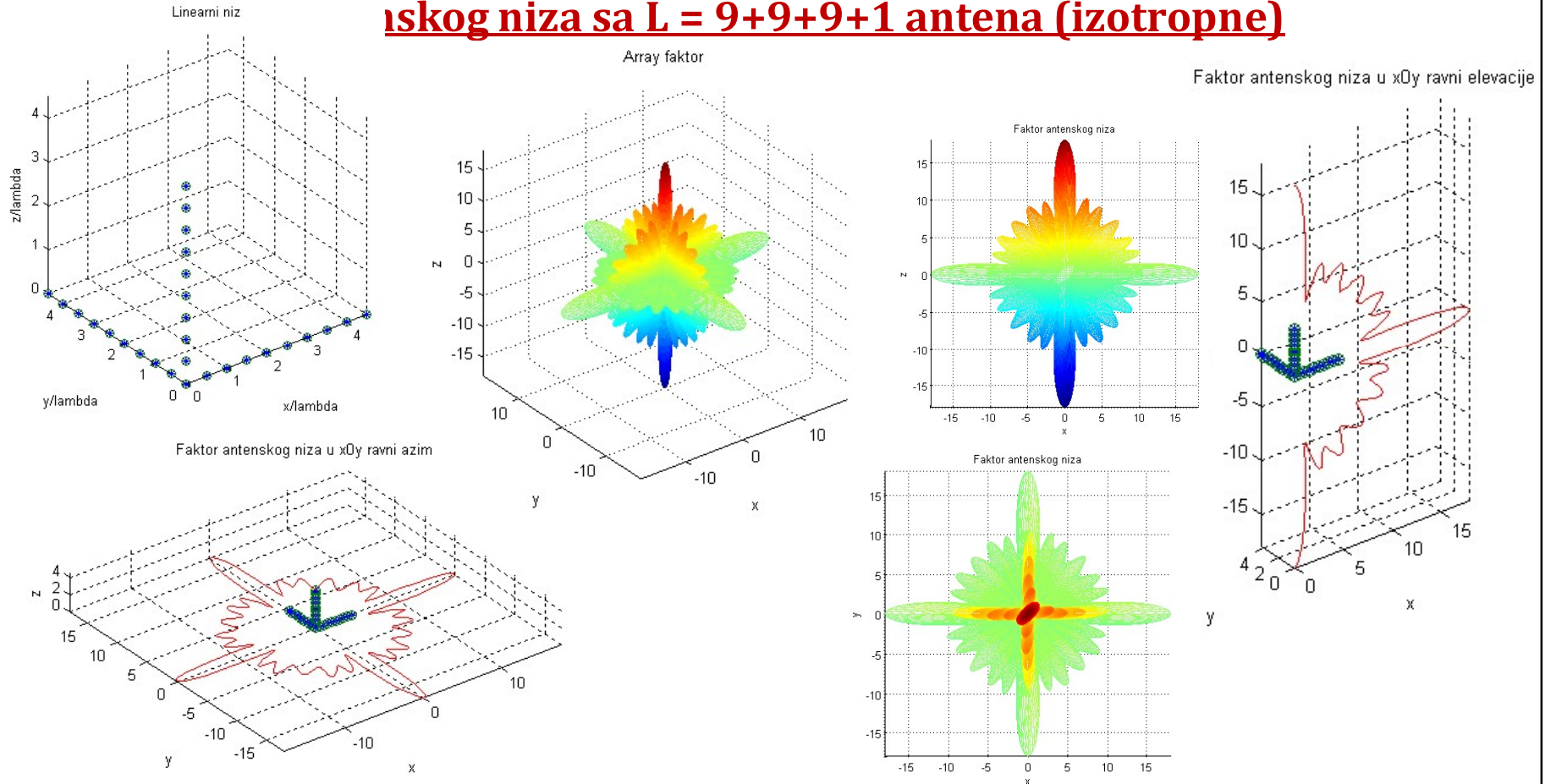
Osnove AN – Uniformni cilindrični prostorni

Primer: Numerički rezultati za faktor uniformnog cilindričnog prostornog antenskog niza sa $L = 10 \times 5$ antena – Hertz-ovi dipoli



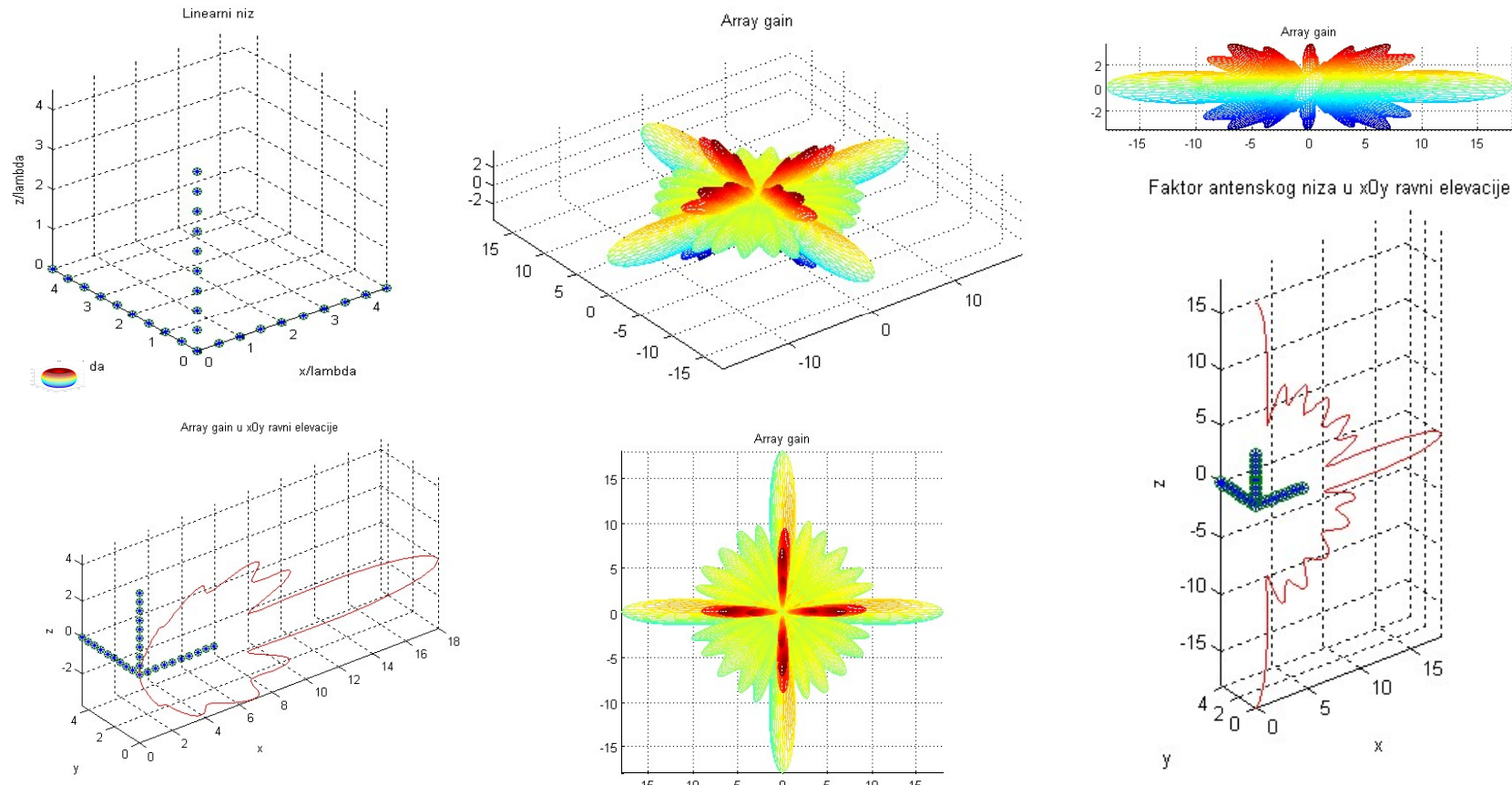
Osnove AN – Uniformni V prostorni AN

**Primer: Numerički rezultati za faktor uniformnog V prostornog
iskog niza sa $L = 9+9+9+1$ antena (izotropne)**



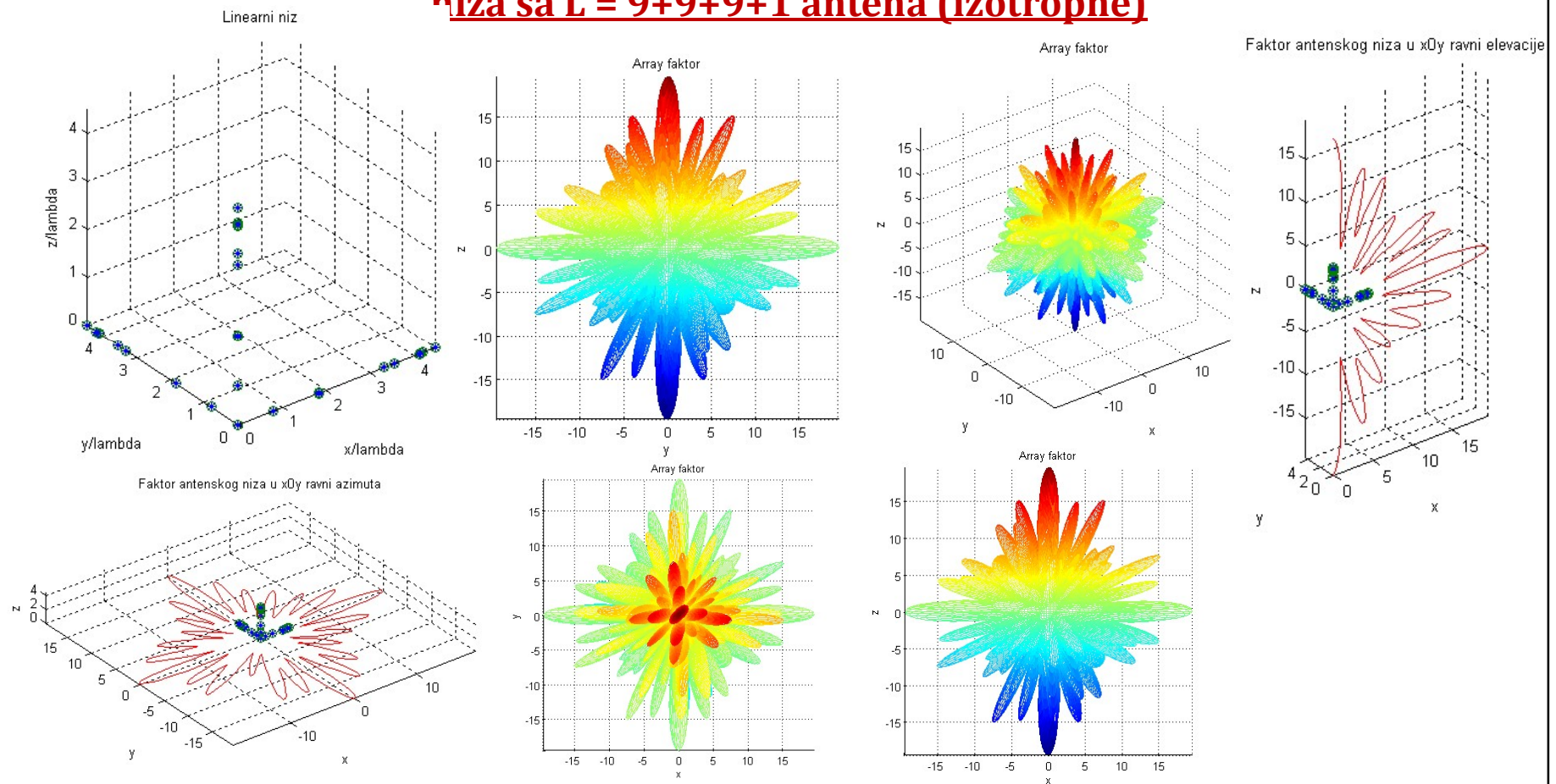
Osnove AN – Uniformni V prostorni AN

Primer: Numerički rezultati za faktor uniformnog V prostornog antenskog niza sa $L = 9+9+9+1$ antena - Hertz-ovi dipoli



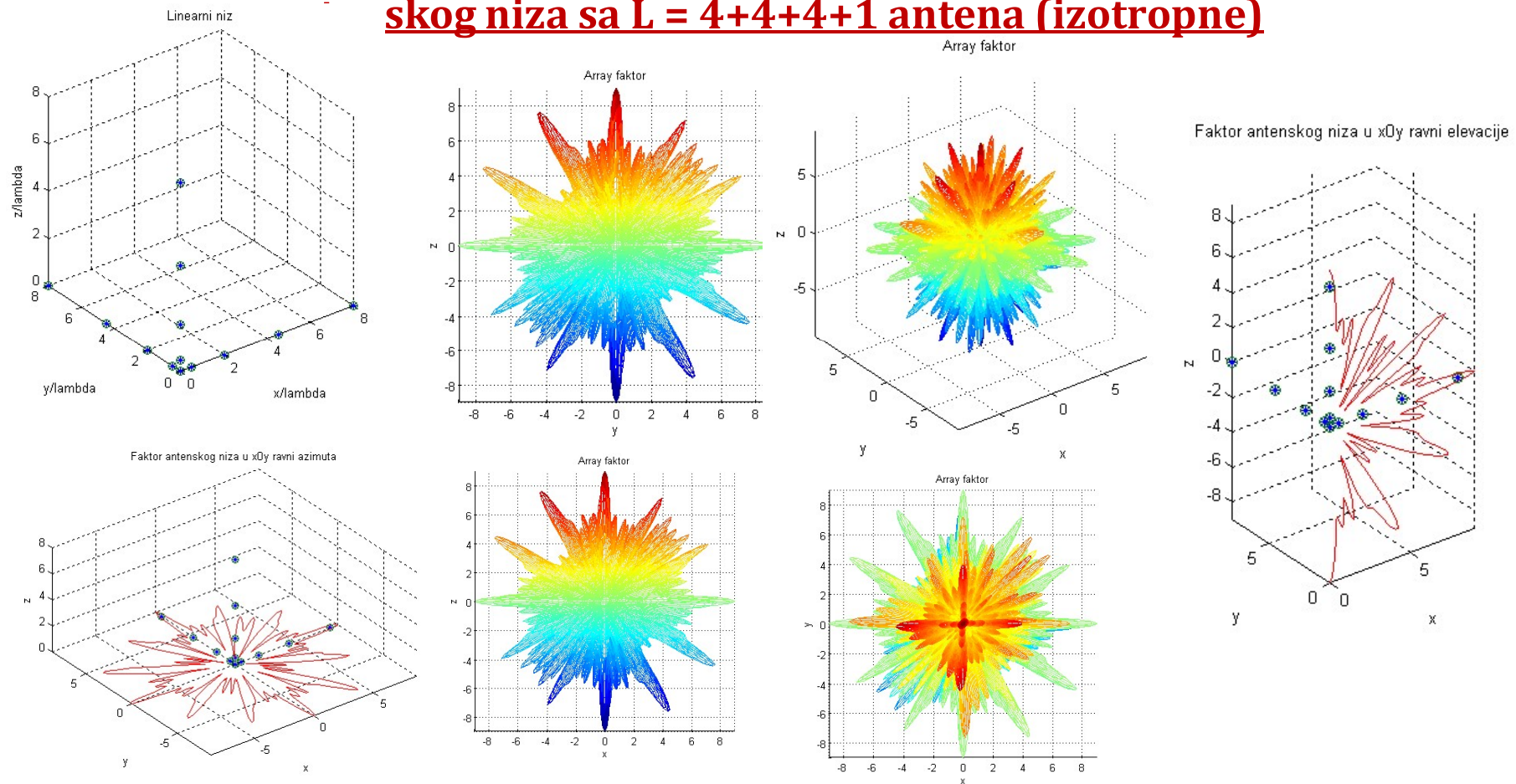
Osnove AN – Slučajni V prostorni AN

Primer: Numerički rezultati za faktor slučajnog V prostornog antenskog niza sa $L = 9+9+9+1$ antena (izotropne)



Osnove AN – Neuniformni V prostorni AN

Primer: Numerički rezultati za faktor neuniformnog V prostornog skog niza sa $L = 4+4+4+1$ antena (izotropne)



Osnove AN – Karakteristike neodređenosti AN

- ❖ Neodređenost (*ambiguity*) nejednoznačnost odziva antenskog niza
- ❖ Grating lobovi - Primer neodređenosti faktora antenskog niza
- ❖ Neodređenost – posledica geometrije antenskog niza
- ❖ Neodređenost se pojavljuje na smerovima dolaska (azimutima i elevacijama) za koje vektori prostiranja (*steering vektori*) u manifoldu antenskog niza zadate geometrije postaju kolinearni

Osnove AN – Karakteristike neodređenosti AN

- ❖ Funkcija neodređenosti AN – Definiše se kao mera kolinearnosti vektora prostiranja u *manifold*-u AN

$$\chi(\theta_i, \phi_i, \theta_j, \phi_j) = \frac{\|\mathbf{v}(\theta_i, \phi_i)^H \mathbf{v}(\theta_j, \phi_j)\|}{\|\mathbf{v}(\theta_i, \phi_i)\| \|\mathbf{v}(\theta_j, \phi_j)\|}$$

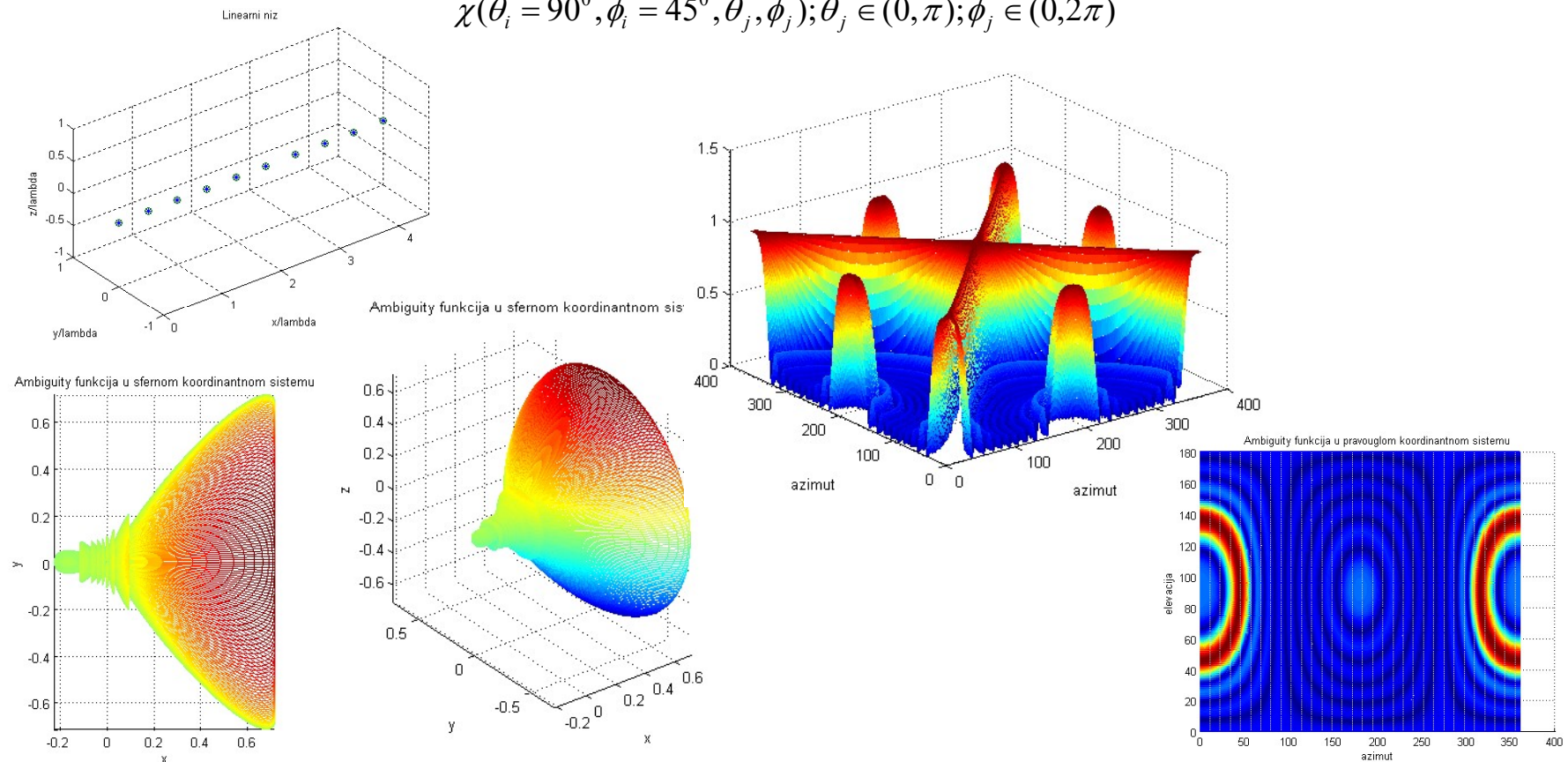
Osnove AN – Neodređenost linearnih AN

- ❖ Kada su u pitanju lineani antenski nizovi:
 - Postoji potpuna neodređenost u prostoru po azimutu i elevaciji
 - Postoji beskonačno mnogo vektora prostiranja u *array manifold*-u koji su kolinearni

Osnove AN – Linearni uniformni AN

Primer: Numerički rezultati za funkciju neodređenosti linearanog uniformnog antenskog niza sa L = 10 antena (izotropne)

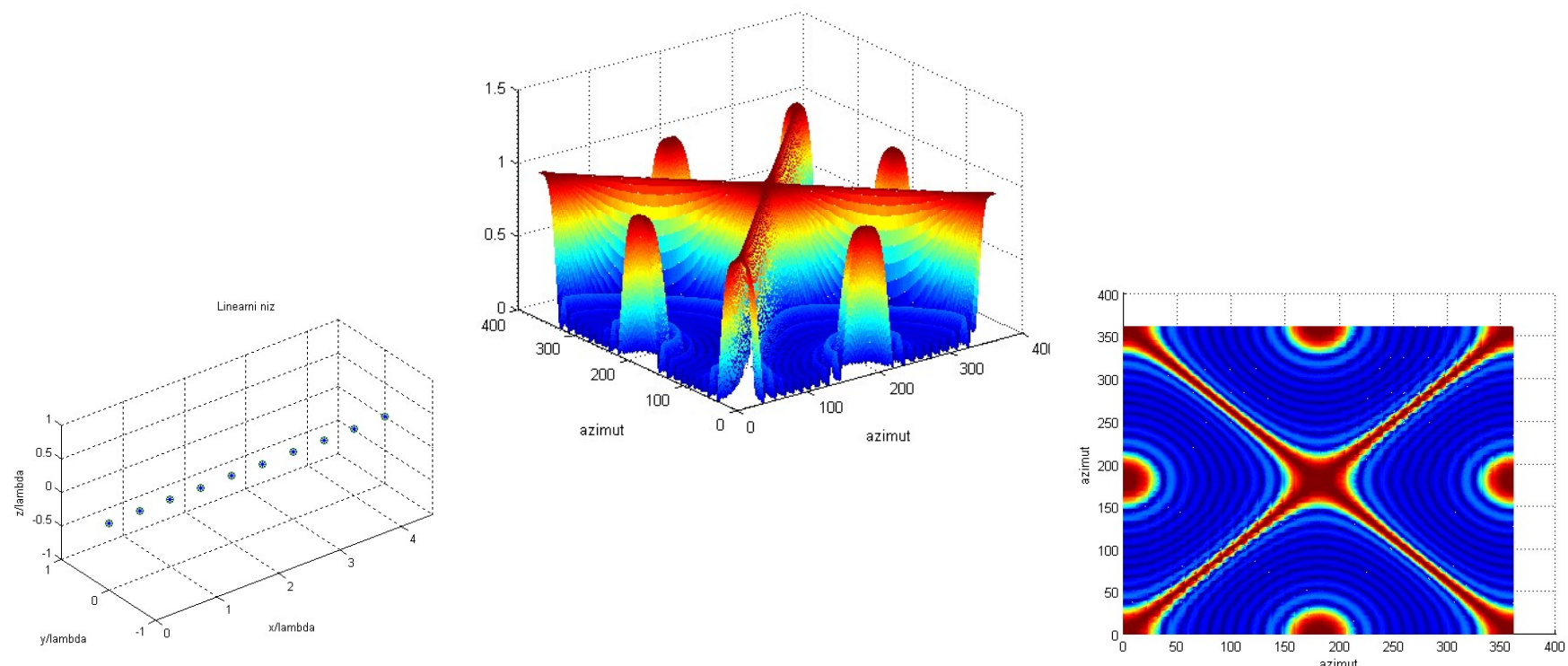
$$\chi(\theta_i = 90^\circ, \phi_i = 45^\circ, \theta_j, \phi_j); \theta_j \in (0, \pi); \phi_j \in (0, 2\pi)$$



Osnove AN – Linearni uniformni AN

Primer: Numerički rezultati za funkciju neodređenosti lineranog uniformnog antenskog niza sa $L = 10$ antena (izotropne)

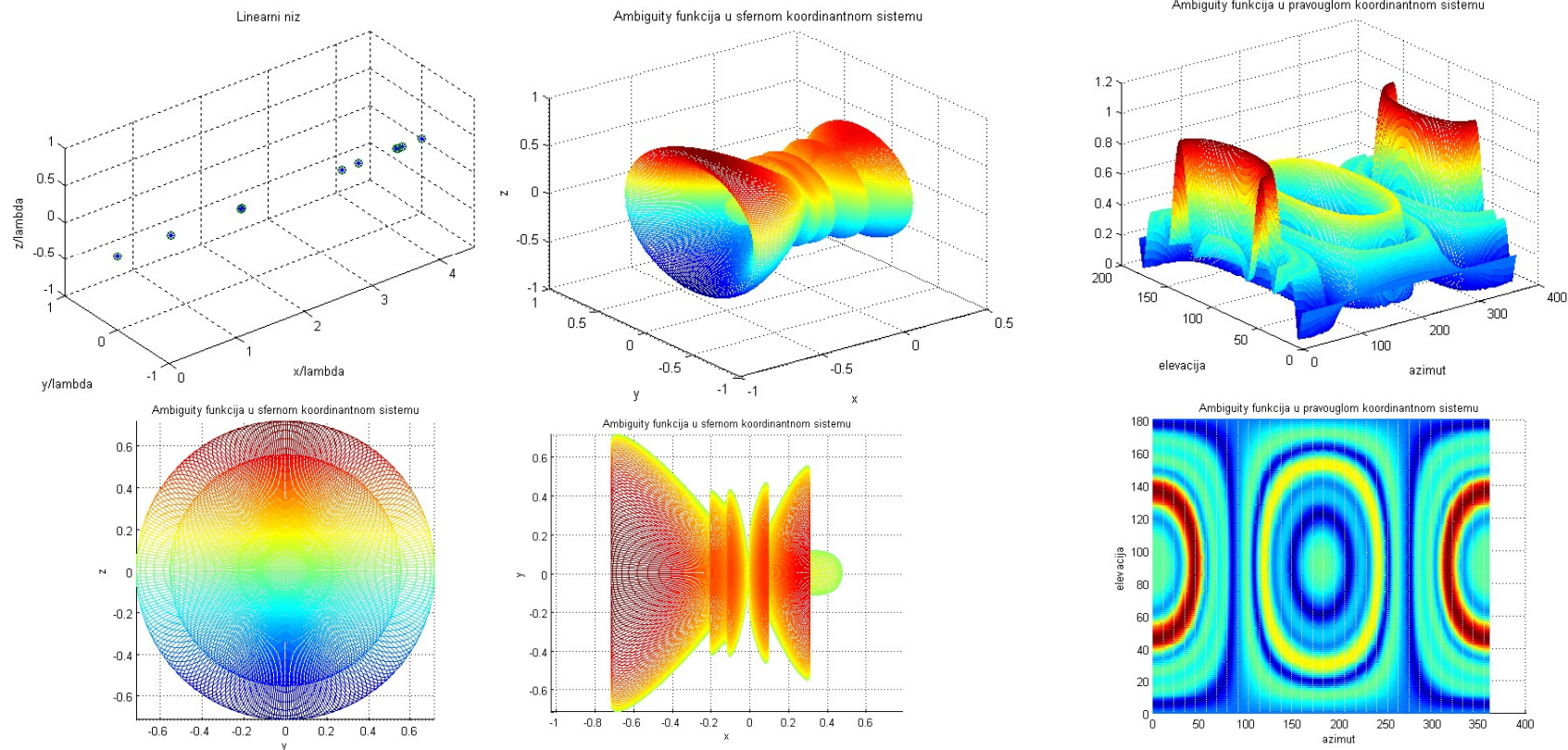
$$\chi(\theta_i = 90^\circ, \phi_i, \theta_j = 90^\circ, \phi_j); \phi_j \in (0, 2\pi)$$



Osnove AN – Linearni slučajni AN

Primer: Numerički rezultati za funkciju neodređenosti linearog slučajnog antenskog niza sa L = 8 antena (izotropne)

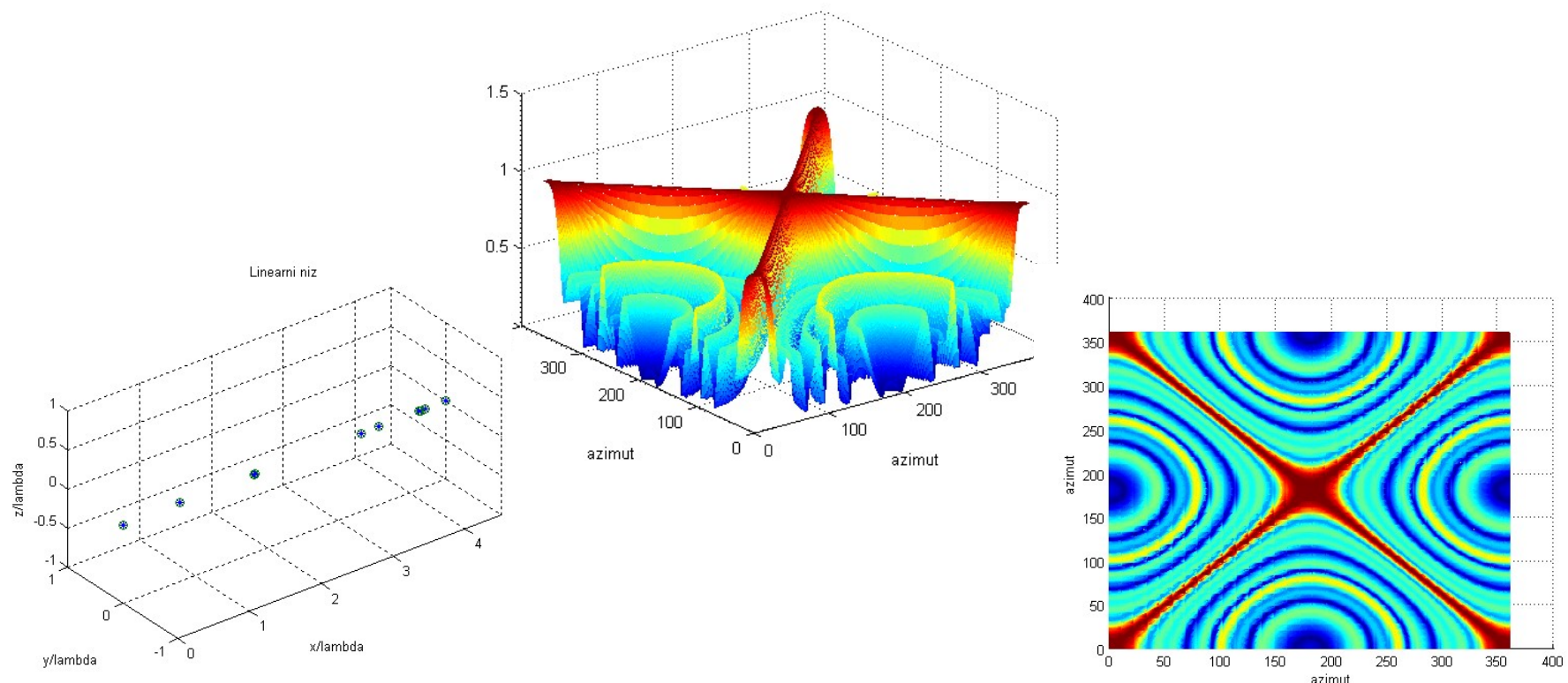
$$\chi(\theta_i = 90^0, \phi_i = 45^0, \theta_j, \phi_j); \theta_j \in (0, \pi); \phi_i \in (0, 2\pi)$$



Osnove AN – Linearni slučajni AN

Primer: Numerički rezultati za funkciju neodređenosti linearog slučajnog antenskog niza sa L = 8 antena (izotropne)

$$\chi(\theta_i = 90^\circ, \phi_i, \theta_j = 90^\circ, \phi_j); \phi_j \in (0, 2\pi)$$



Osnove AN – Neodređenost planarnih AN

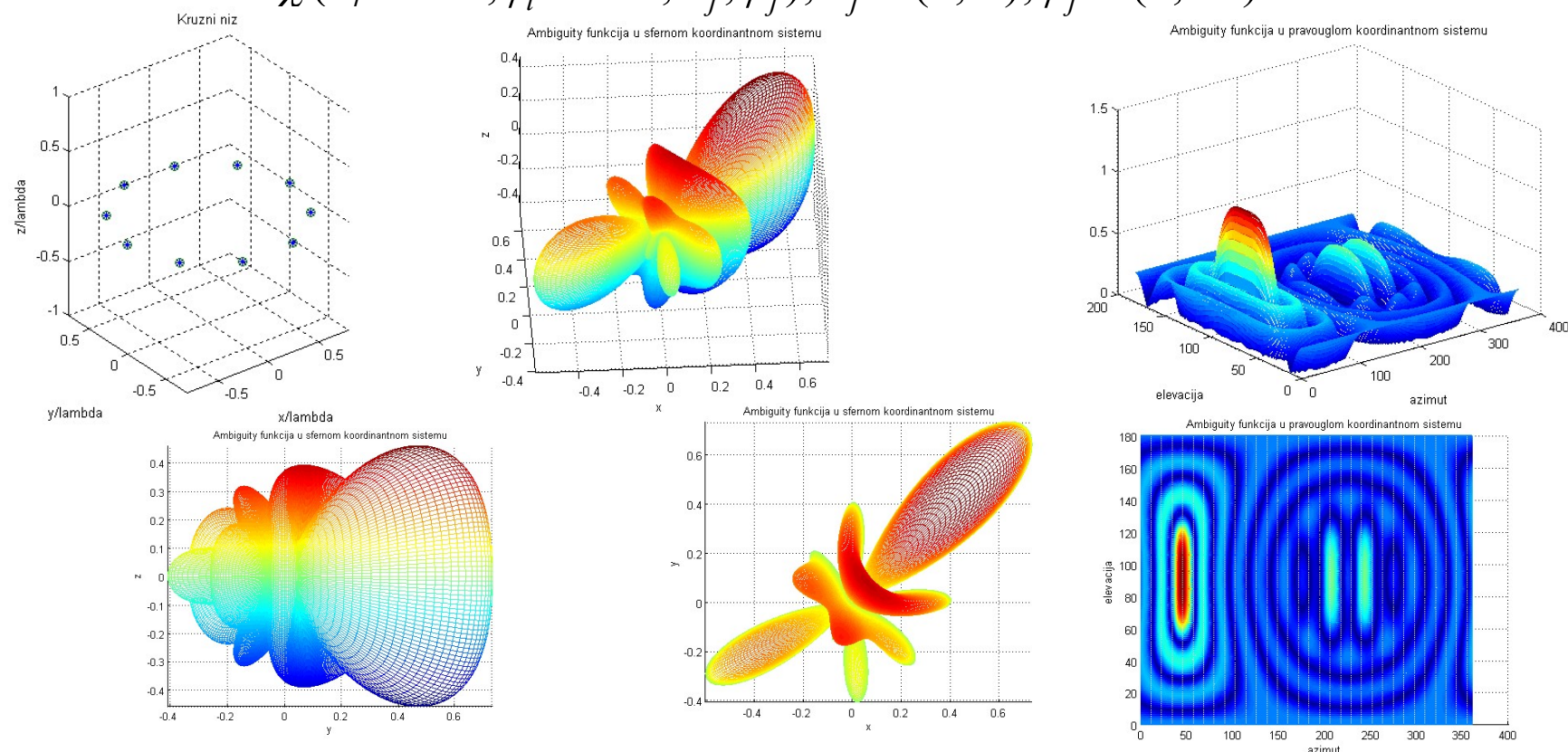
❖ Kada su u pitanju planarni antenski nizovi:

- Postoje najmanje dva smera (po azimutu i elevacije) i to jedan u jednoj, a drugi u drugoj polulopti koji su simetrični obzirom na ravan antenskog niza
- Postoji najmanje dva vektora prostiranja u *array manifold-u* koji su kolinearni
- Planarni antenski nizovi su jednoznačni u polulopti

Osnove AN – Kružni uniformni AN

Primer: Numerički rezultati za funkciju neodređenosti kružnog uniformnog antenskog niza sa L = 10 antena (izotropne)

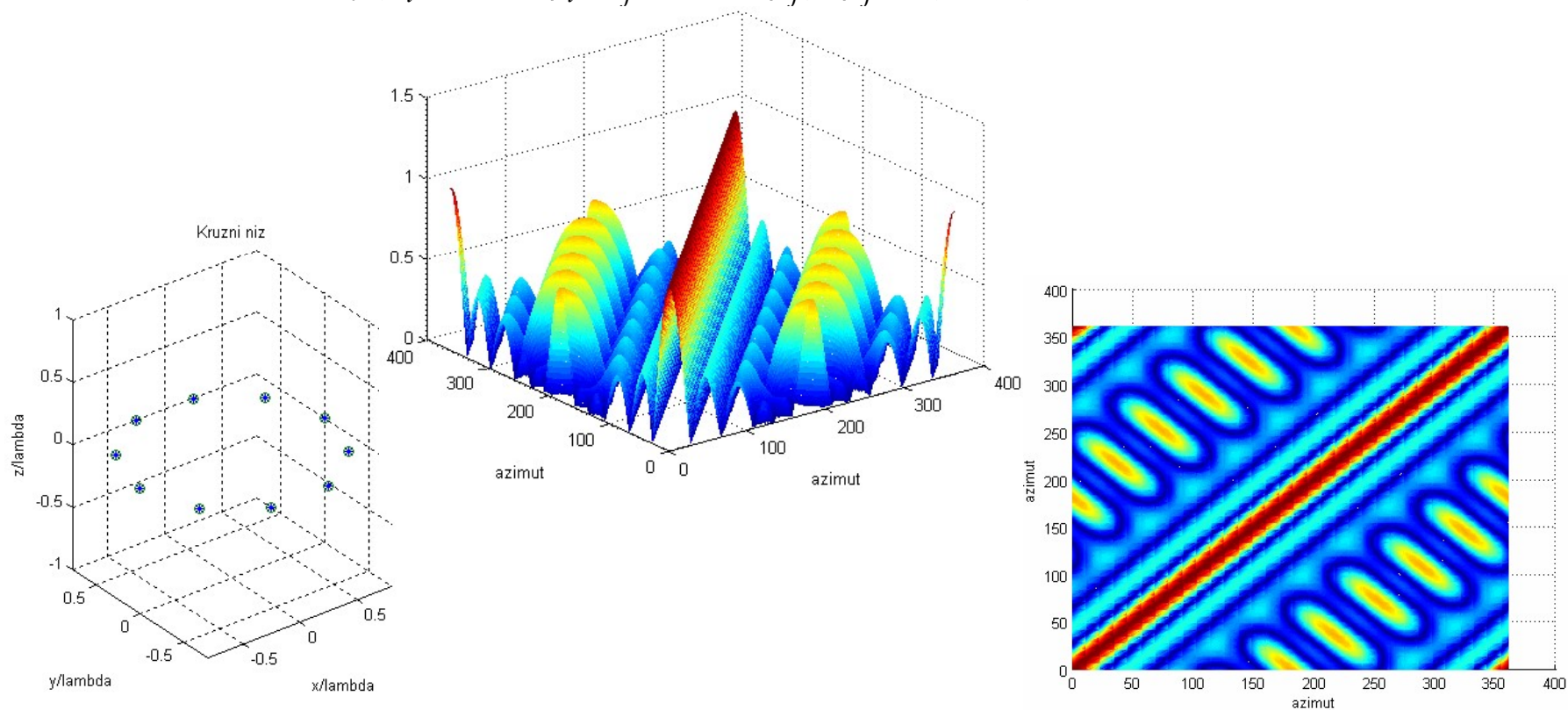
$$\chi(\theta_i = 90^0, \phi_i = 45^0, \theta_j, \phi_j); \theta_j \in (0, \pi); \phi_j \in (0, 2\pi)$$



Osnove AN – Kružni uniformni AN

Primer: Numerički rezultati za funkciju neodređenosti kružnog uniformnog antenskog niza sa L = 10 antena (izotropne)

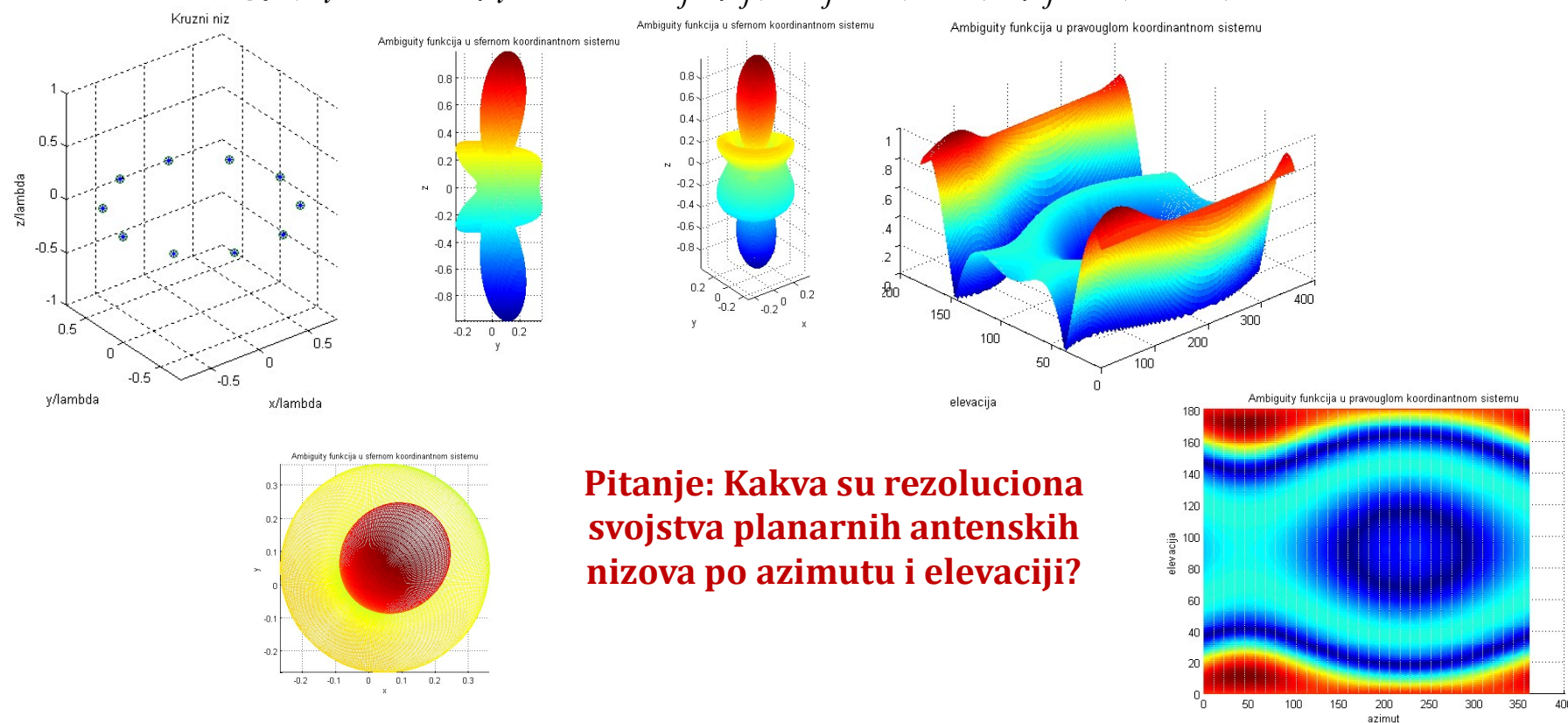
$$\chi(\theta_i = 90^0, \phi_i, \theta_j = 90^0, \phi_j); \phi_j \in (0, 2\pi)$$



Osnove AN – Kružni uniformni AN

Primer: Numerički rezultati za funkciju neodređenosti kružnog uniformnog antenskog niza sa L = 10 antena (izotropne)

$$\chi(\theta_i = 10^0, \phi_i = 45^0, \theta_j, \phi_j); \theta_j \in (0, \pi); \phi_j \in (0, 2\pi)$$

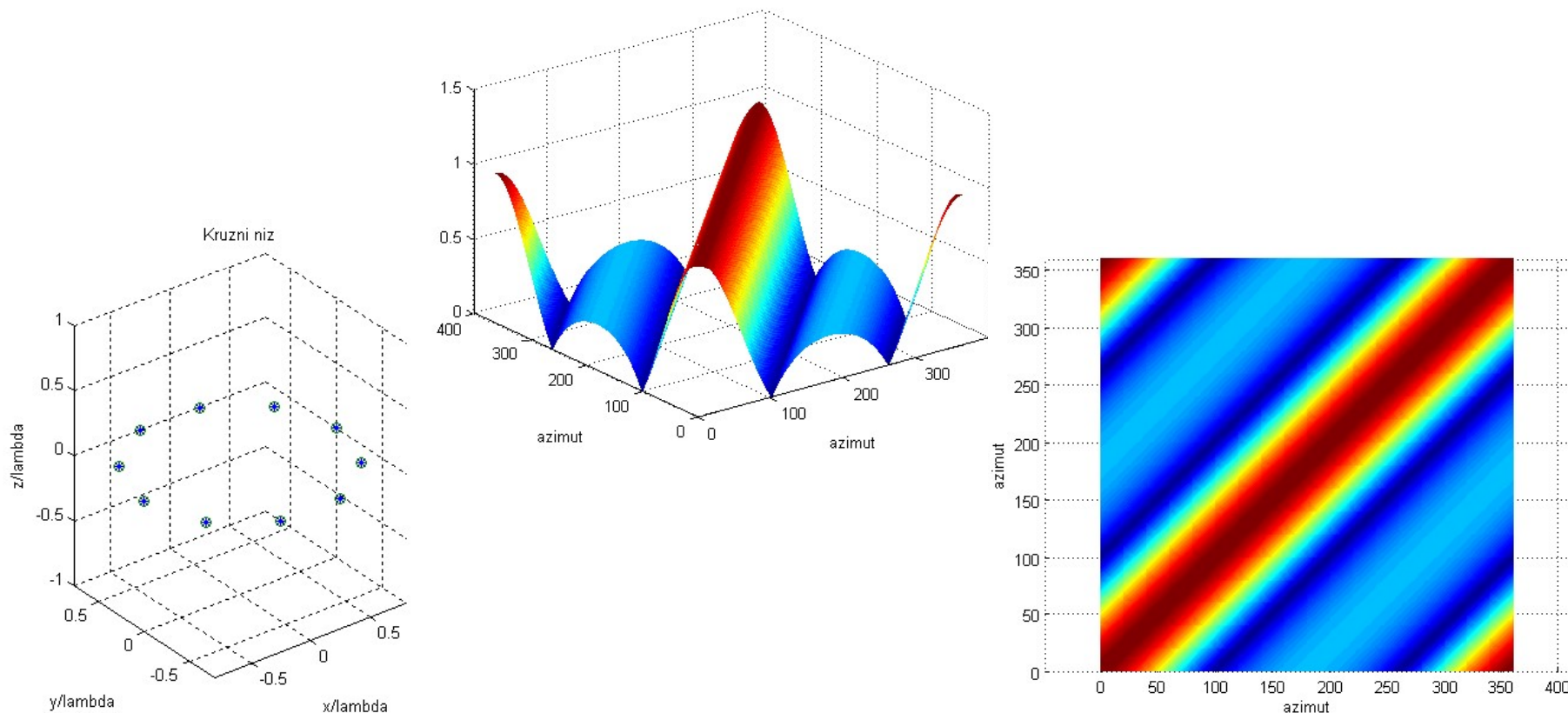


Pitanje: Kakva su rezoluciona svojstva planarnih antenskih nizova po azimutu i elevaciji?

Osnove AN – Kružni uniformni AN

Primer: Numerički rezultati za funkciju neodređenosti kružnog uniformnog antenskog niza sa L = 10 antena (izotropne)

$$\chi(\theta_i = 10^0, \phi_i, \theta_j = 10^0, \phi_j); \phi_j \in (0, 2\pi)$$



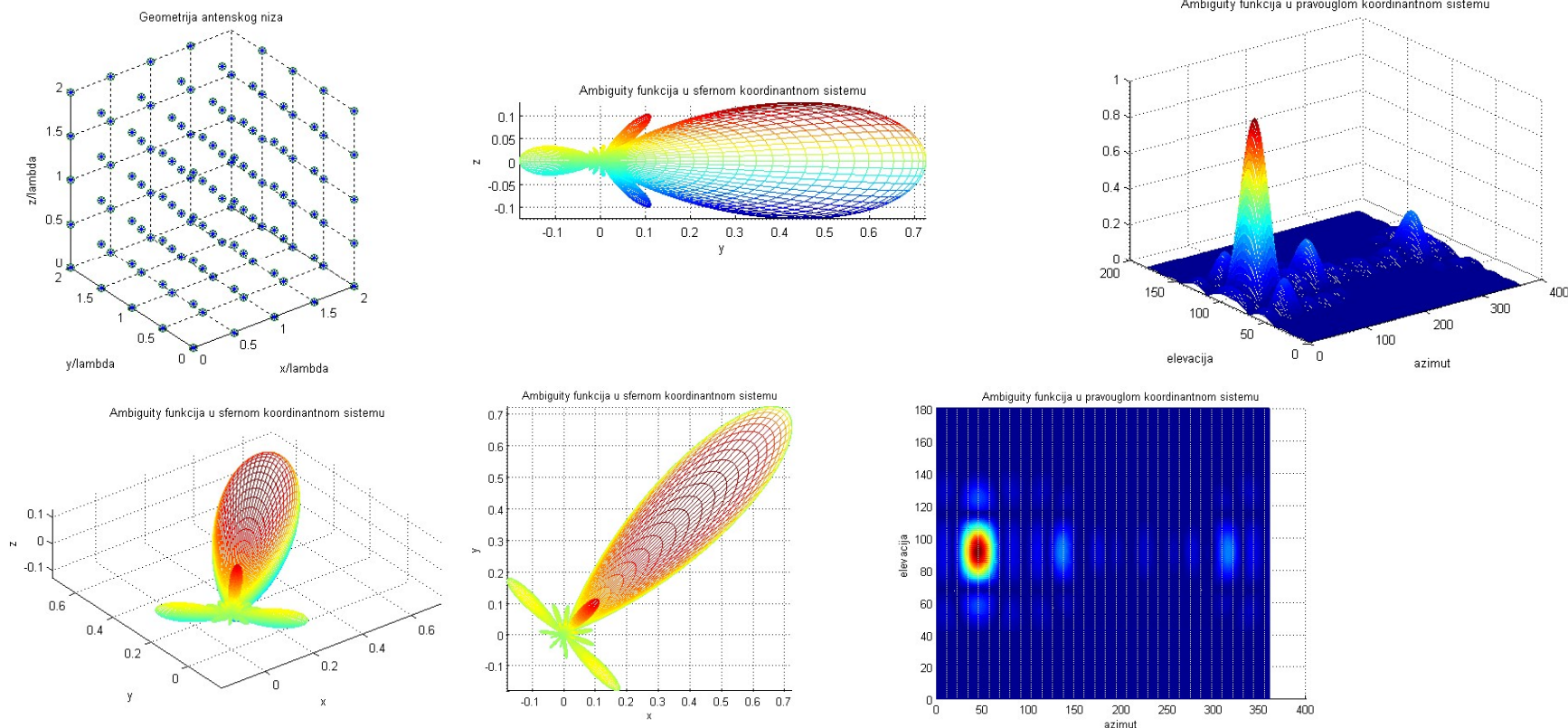
Osnove AN – Neodređenost prostornih AN

- ❖ Kada su u pitanju prostorni antenski nizovi:
 - Prostorni nizovi su (u principu) jednoznačni u 3-D prostoru
 - **Nivo bočnih lobova u funkciji neodredjenosti (mera kolinearnosti) zavisi od prostorne geometrije antenskog niza.**

Osnove AN – Uniformni prostorni AN

Primer: Numerički rezultati za funkciju neodređenosti uniformnog prostornog antenskog niza sa $L = 5 \times 5 \times 5$ antena

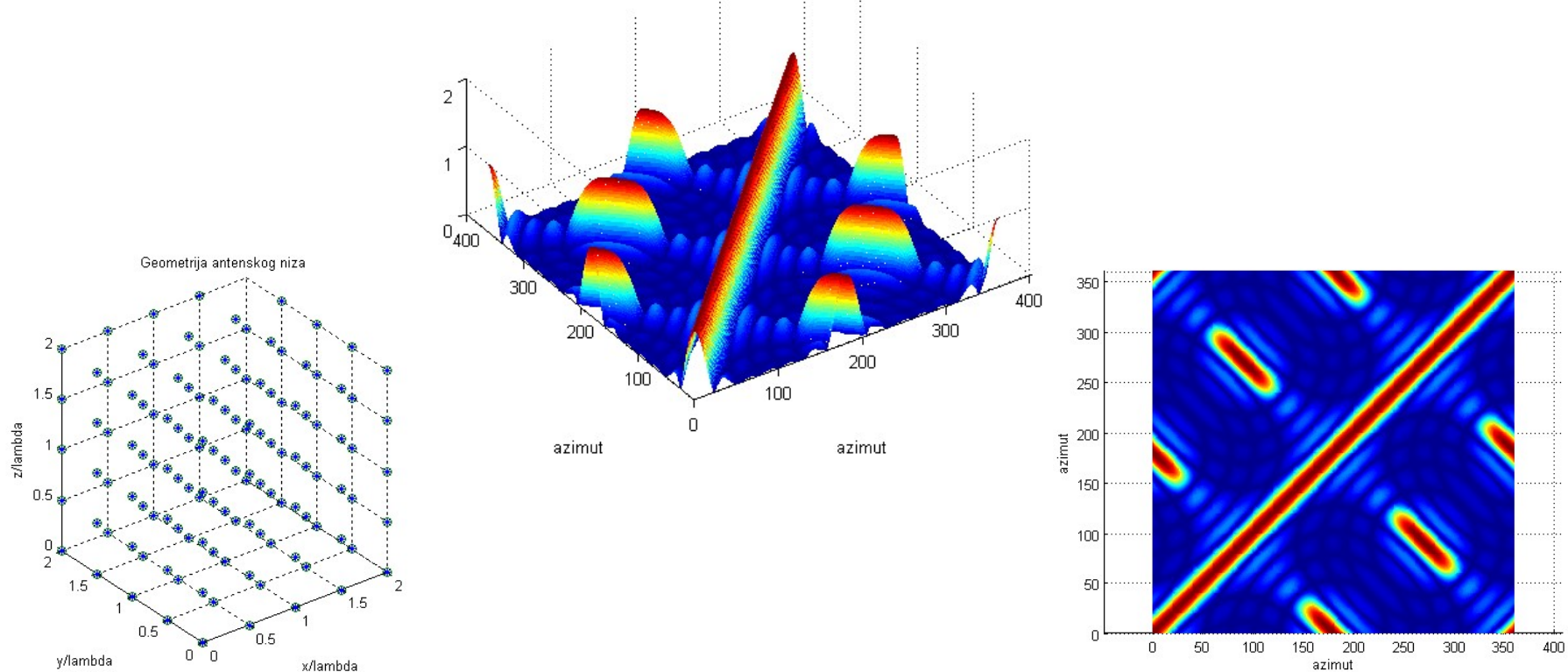
$$\chi(\theta_i = 90^\circ, \phi_i = 45^\circ, \theta_j, \phi_j); \theta_j \in (0, \pi); \phi_j \in (0, 2\pi)$$



Osnove AN – Uniformni prostorni AN

Primer: Numerički rezultati za funkciju neodređenosti uniformnog prostornog antenskog niza sa $L = 5 \times 5 \times 5$ antena (izotropne)

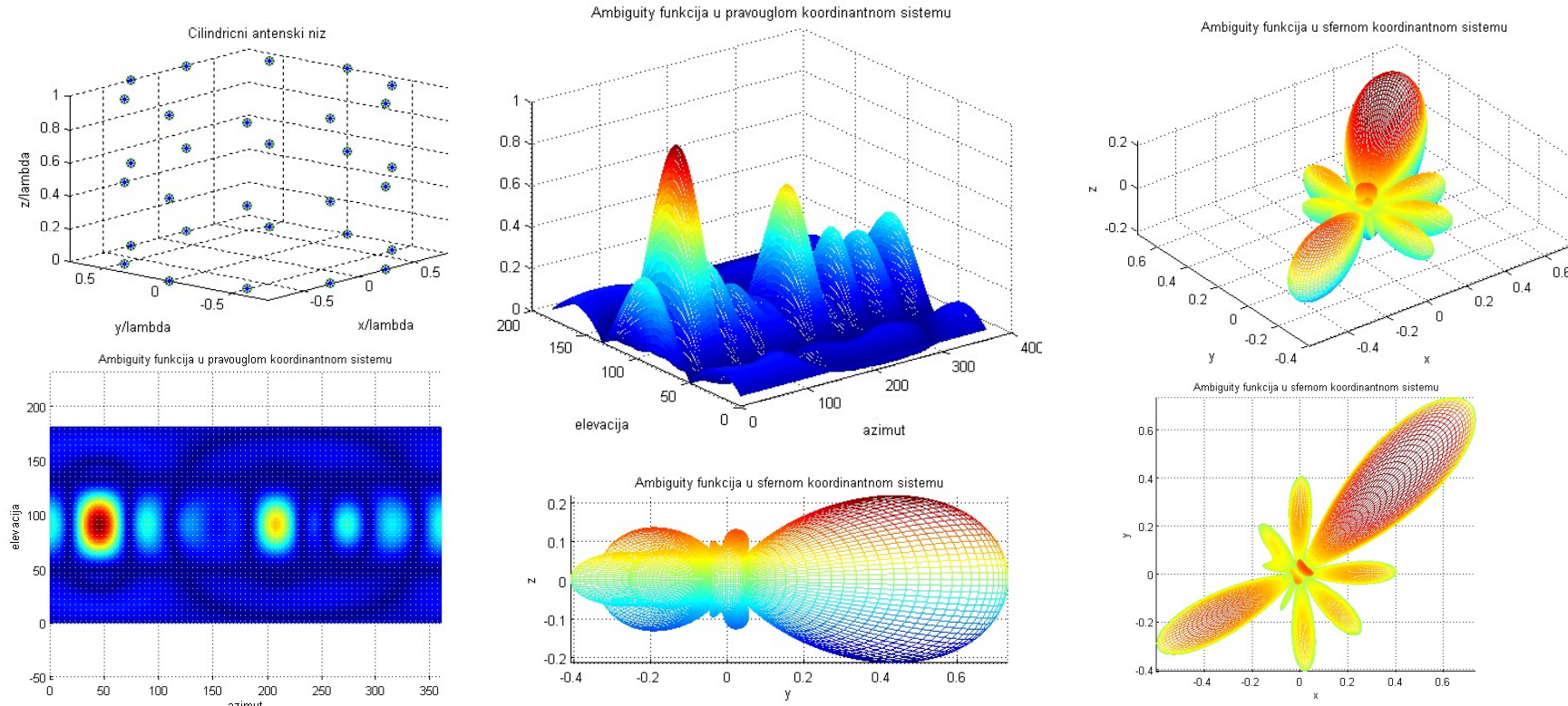
$$\chi(\theta_i = 90^0, \phi_i, \theta_j = 45^0, \phi_j); \phi_j \in (0, 2\pi)$$



Osnove AN – Uniformni cilindrični AN

Primer: Numerički rezultati za funkciju neodređenosti uniformnog cilindričnog antenskog niza sa $L = 3 \times 10$ antena (izotropne)

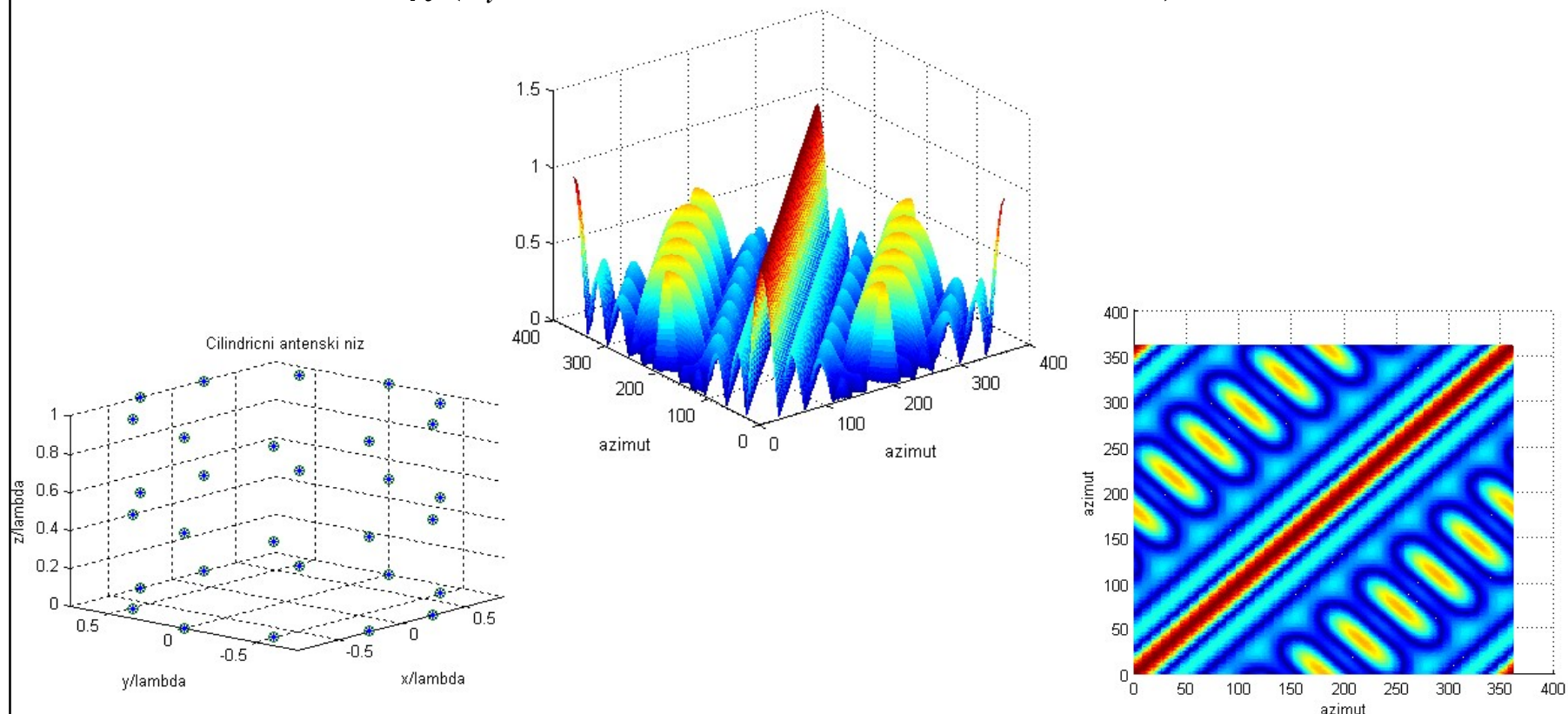
$$\chi(\theta_i = 90^\circ, \phi_i = 45^\circ, \theta_j, \phi_j); \theta_j \in (0, \pi); \phi_j \in (0, 2\pi)$$



Osnove AN – Uniformni cilindrični AN

Primer: Numerički rezultati za funkciju neodređenosti uniformnog cilindričnog antenskog niza sa $L = 3 \times 10$ antena (izotropne)

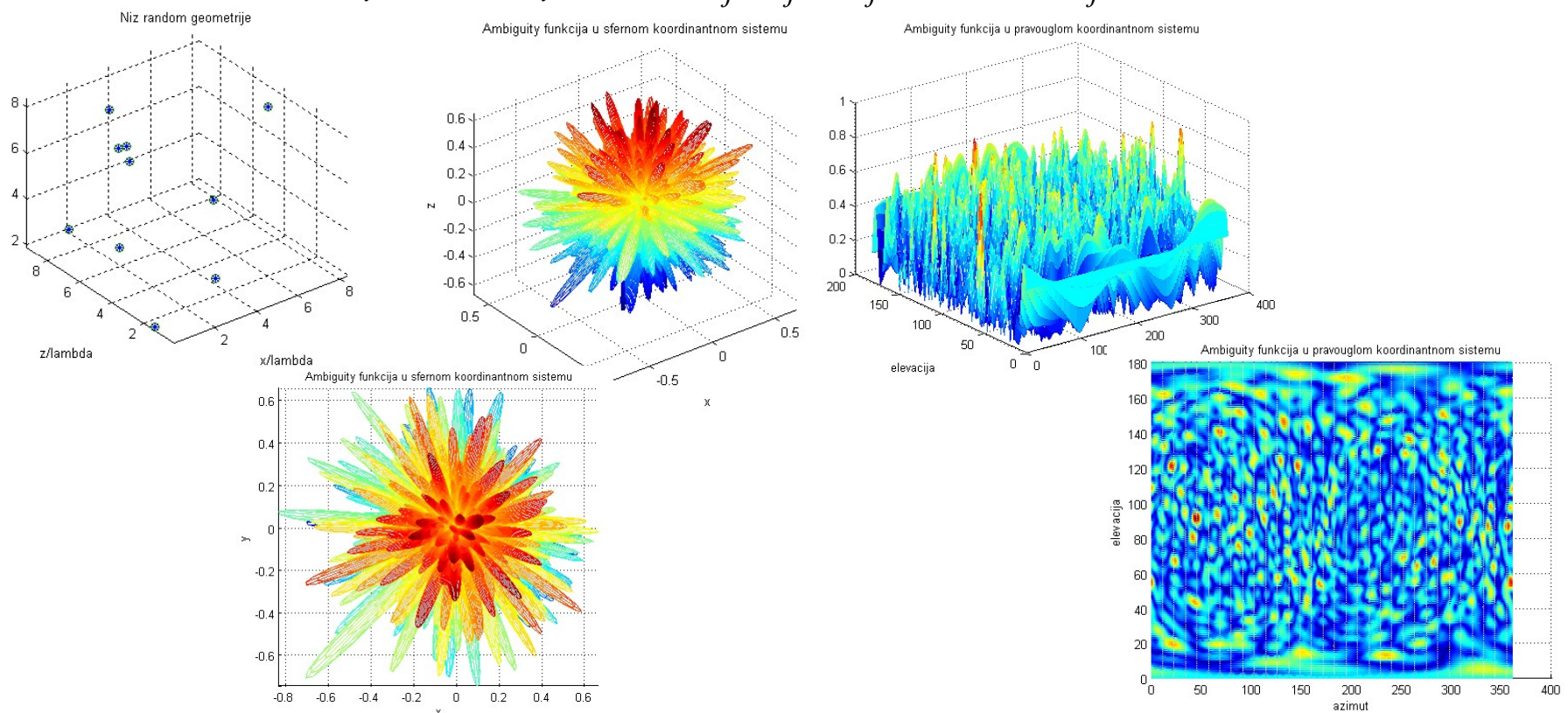
$$\chi(\theta_i = 90^\circ, \phi_i, \theta_i = 45^\circ, \phi_i); \phi_i \in (0, 2\pi)$$



Osnove AN – Slučajni prostorni AN

Primer: Numerički rezultati za funkciju neodređenosti slučajnog prostornog antenskog niza sa L = 10 antena (izotropne)

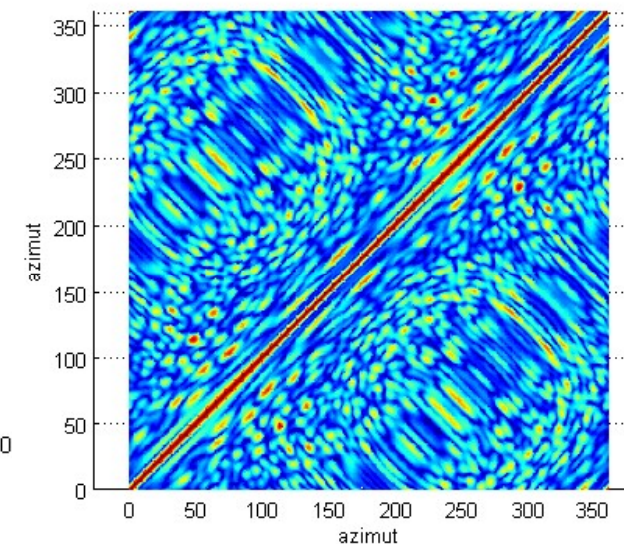
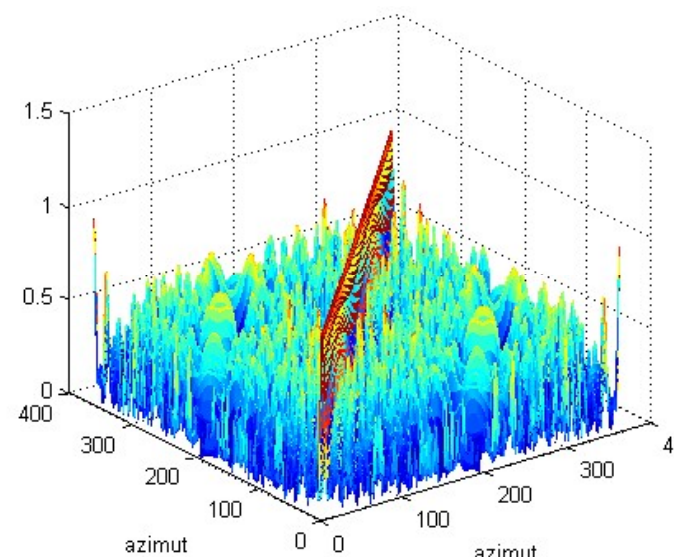
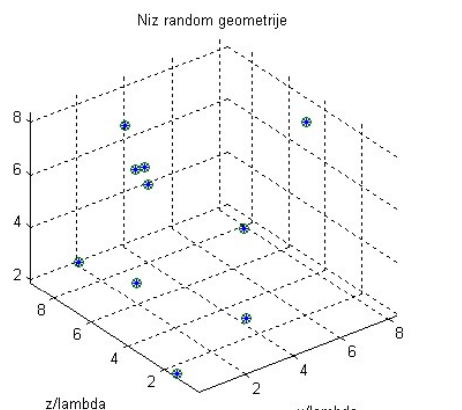
$$\chi(\theta_i = 90^0, \phi_i = 45^0, \theta_j, \phi_j); \theta_j \in (0, \pi); \phi_j \in (0, 2\pi)$$



Osnove AN – Slučajni prostorni AN

Primer: Numerički rezultati za funkciju neodređenosti slučajnog prostornog antenskog niza sa L = 10 antena (izotropne)

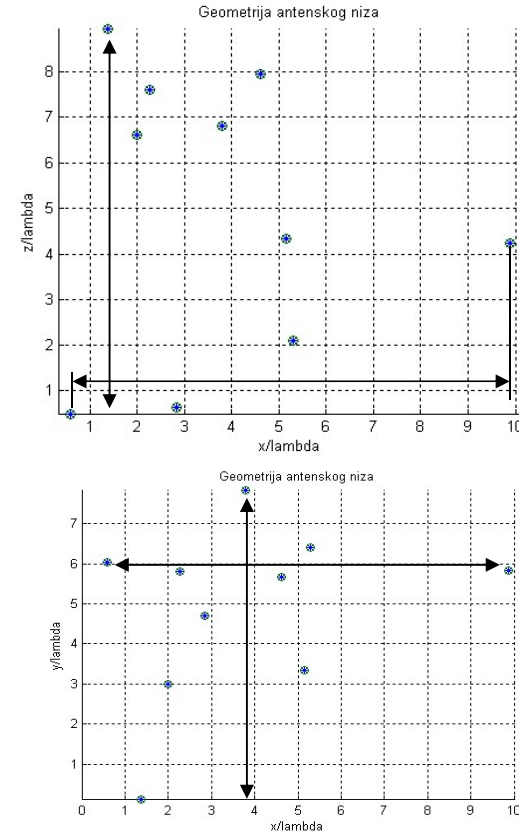
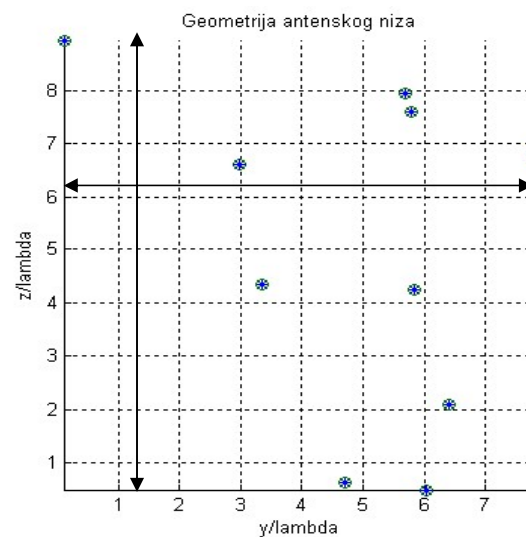
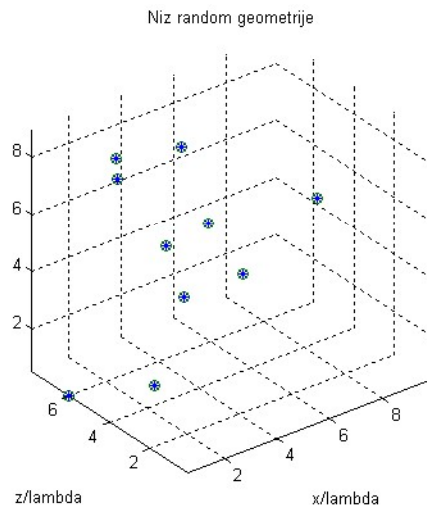
$$\chi(\theta_i = 90^0, \phi_i, \theta_j = 45^0, \phi_j); \phi_j \in (0, 2\pi)$$



Pitanje: Rezolucionna svojstva nisu ista na svim azimutima. Zašto?

Osnove AN – Otvor AN (*Array aperture*)

- ❖ Ako imamo veći otvor antenskog niza u zadatom smeru
 - Imamo bolja rezoluciona svojstva AN u tom zadatom smeru



Osnove AN – Optimizacija geometrije AN

- ❖ Problem optimizacije geometrije antenskog niza svodi se na:
 - Veći otvor antenskog niza u zadatom smeru – **onda imamo da se bolja rezolucionu svostva antenskog niza u zadatom smeru**
 - Optimizacioni problem: Kako rasporediti zadati broj antena u prostoru tako da se dobije što veći otvor antenskog niza u zadatom smeru bez *ambiguity*-a i sa što manjim nivoima bočnih lobova u funkciji neodređenosti
 - Problem nelinearne optimizacije
(geometrija AN je argument transcedentne funkcije !)

Osnove AN – Značaj neodređenosti AN

- ❖ Zašto je važno dobro poznavati karakteristike neodređenosti antenskih nizova?
 - Da bi se pri definisanju algoritama razdvojili efekti geometrije antenskog niza od algoritamski specifičnih efekata
 - Primer:
Javljuju se spurious pikovi kod nekih metoda za procenu smera